

ПОЛЕВОЙ АТЛАС

МЕЛОВОЙ ФАУНЫ
СЕВЕРО-ВОСТОКА СССР



ГОСУДАРСТВЕННЫЙ ПРОИЗВОДСТВЕННЫЙ ГЕОЛОГИЧЕСКИЙ
КОМИТЕТ РСФСР

СЕВЕРО-ВОСТОЧНОЕ ГЕОЛОГИЧЕСКОЕ
УПРАВЛЕНИЕ

В. Н. ВЕРЕЩАГИН, В. П. КИНАСОВ,
К. В. ПАРАКЕЦОВ, Г. П. ТЕРЕХОВА

ПОЛЕВОЙ АТЛАС
МЕЛОВОЙ ФАУНЫ
СЕВЕРО-ВОСТОКА СССР

МАГАДАН—1965

Настоящий атлас содержит описание и изображение стратиграфически важных и наиболее распространенных в меловых отложениях Северо-Востока СССР двустворчатых и головоногих моллюсков. В атласе перед описательной частью дана схема биостратиграфии меловых отложений Северо-Востока. Атлас предназначен для геологов-съемщиков, стратиграфов и палеонтологов.

Предисловие

Настоящий атлас составлен коллективом авторов — сотрудников Центральной комплексной тематической экспедиции Северо-Восточного геологического управления и Всесоюзного научно-исследовательского геологического института. Основное назначение этого атласа помочь геологам-полевикам по характерным комплексам фауны предварительно определить возраст вмещающих их отложений. Атлас может быть также использован при обработке коллекций меловой фауны.

Материалом для составления настоящего атласа послужили палеонтологические коллекции, собранные геологами бывшего геологоразведочного управления Дальстроя, а затем Северо-Восточного геологического управления, а также геологами Научно-исследовательского института геологии Арктики. Упомянутые коллекции хранятся в музее СВГУ и Всесоюзном научно-исследовательском геологическом институте. В значительной мере использованы геологические материалы, полученные сотрудниками ВСЕГЕИ с о. Сахалин, который имеет общую с Анадырско-Корякской областью схему стратиграфии меловых отложений.

В атласе описаны формы, имеющие важное стратиграфическое значение и наиболее широко распространенные в меловых отложениях Северо-Востока СССР. Это двустворчатые и головоногие моллюски. Среди двустворок основная роль принадлежит иноцерамам и ауцеллам; число других пелеципод — ауцеллин, тригоний, параллелодонов — незначительно. Головоногие моллюски представлены почти исключительно аммонитами и единичными формами белемнитов. Представители других групп фауны, в частности брахиопод, гастрород и ракообразных, в меловых отложениях Северо-Востока встречаются значительно реже, а стратиграфическое их значение недостаточно выяснено, поэтому в атлас они не включены. Всего описано 129 форм, из них двустворок — 69 и аммонитов — 55.

Атлас состоит из двух частей — описательной и иллюстративной. Описательной части предшествует схема биостратиграфии меловых отложений Северо-Востока СССР. Учитывая, что не все геологи достаточно хорошо знакомы с методикой описания фауны, приводится краткое описание морфологии раковин и объяснение некоторых латинских терминов. Иллюстративная часть состоит из 357 изображений, скомпонованных на 74 таблицах в стратиграфической последовательности согласно схеме биостратиграфии. В том же порядке составлена и описательная часть атласа.

Ответственный редактор В. Н. Верещагин

Работа по составлению атласа распределялась между исполнителями следующим образом: К. В. Паракецовым подобраны, обработаны и описаны ауцеллы, В. П. Кинасовым — белемниты; остальная фауна по нижнему и верхнему мелу (двустворки и аммониты) обработана и описана В. Н. Верещагиным и Г. П. Тереховой. Общее редактирование атласа выполнено В. Н. Верещагиным. Оформление атласа производилось В. В. Коховым и Г. Л. Бормосовой.

Схема биостратиграфии меловых отложений Северо-Востока СССР

Отложения меловой системы широко распространены на востоке рассматриваемой территории. Они представлены различными фациальными типами образований: морскими, вулканогенными и пресноводно-континентальными. Морские отложения развиты только в Анадырско-Корякской области, на Чукотке и в Приколымье. Это, преимущественно, полимиктовые и туфогенные песчаники, алевролиты, аргиллиты, глинистые сланцы, конгломераты. В Корякском и Пекульнейском хребтах большую роль играют кремнисто-вулканогенные образования: кремнисто-глинистые сланцы, яшмы, яшмокварциты, базальты, андезиты, спилиты, диабазы, мандельштейны, туфы, туфобрекчии.

Меловые отложения охарактеризованы богатой фауной ауцелл, иноцерамов и аммонитов, на основании изучения которых всю толщу меловых образований удается расчленить не только на отделы, но и на ярусы, а в ряде районов также и на зоны. Необходимо, однако, отметить, что выделение ярусов единой стратиграфической шкалы и точное обоснование их границ (особенно в верхнем мелу) на Северо-Востоке встречает большие затруднения. Органические остатки, как это видно из данного атласа, в большинстве своем типичны лишь для Тихоокеанской и отчасти Бореальной меловых биогеографических областей и не типичны для Средиземноморской и Европейской, материал из которых положен в основу ярусного расчленения меловой системы единой стратиграфической шкалы. Поэтому в верхнем мелу выделяются местные стратиграфические единицы — свиты (сопоставление которых дается на корреляционной таблице); для верхнемеловых же отложений принято зональное деление, предложенное В. Н. Верещагиным для севера Тихоокеанской биогеографической области.

Нижний отдел. Отложения валанжинского яруса известны в пределах Северо-Восточного Приколымья, в верхнем течении р. Омолон, на Чукотке, в бассейнах рек Анадырь, Пенжина, Таловка, в Корякском хребте. В Приколымье валанжинские отложения образованы, преимущественно, поли-

миктовыми песчаниками, алевролитами и глинистыми сланцами. В нижней части разреза породы содержат фауну, переходную от верхней юры к нижнему мелу: *Aucella fischeriana* Orb., *A. lahusei* Pavl., *A. tenuicollis* Pavl., *A. krotovi* Pavl., *A. terebratuloides* Lah. Эти виды встречаются совместно с раннемеловыми *Aucella volgensis* Lah., *A. okensis* Pavl., *A. spasskensis* Pavl., *A. jaskovi* Pavl. и *A. unshensis* Pavl. Выше «переходные» формы исчезают, а наряду с *Aucella volgensis* Lah., *A. okensis* Pavl. и другими появляются *Aucella elliptica* Pavl., *A. keyserlingi* Lah., *A. sibirica* Sok., *A. visingensis* Sok. Совместно с ними на р. Рауча найдены остатки аммонита *Tollia* sp., характерного для верхней зоны нижнего валанжинского подъяруса (берриаса). В более высокой части разреза, соответствующей примерно среднему подъярису валанжина, *Aucella volgensis* Lah., *A. okensis* Pavl., *A. spasskensis* Pavl. и *A. jaskovi* Pavl. исчезают. Широкое распространение получают *Aucella keyserlingi* Lah., *A. sibirica* Sok., *A. visingensis* Sok., а также появляются *Aucella bulloides* Lah., *A. inflata* Toul. Верхи разреза валанжинского яруса, которые условно могут быть сопоставлены с верхним подъярусом, содержат многочисленные остатки *Aucella inflata* Toul., *A. crassa* Pavl., *A. crassicollis* Keys., *A. uncitoides* Pavl. и *A. sublaevis* Keys. Мощность валанжина в Приколымье равна 700—1 500 м.

На Чукотке, в бассейне р. Анадырь и в Корякском хребте валанжин представлен песчаниками, алевролитами и глинистыми сланцами с подчиненными им туфами и туфобрекчиями. В Корякском, Пекульнейском и Золотом хребтах кроме терригенных осадков, туфов и туфобрекчий в валанжине присутствуют кремнистые породы с остатками радиолярий. В разрезах валанжинского яруса на рассматриваемой территории наблюдается примерно такая же последовательность смены одних видов ауцелл другими, как и в Приколымье. Мощность валанжинских осадков 1 000—1 800 м.

В большинстве районов валанжинские отложения несогласно перекрывают юрские и более древние образования.

Отложения и фауна готеривского яруса изучены еще недостаточно. В бассейне р. Малый Аной готеривский возраст имеют песчаные аргиллиты, туфогенные песчаники, туффиты и кристаллолитокластические туфы с фауной *Simbirskites speetonensis* Young et Bird, *S. cf. umbonatus* Lah., *Cylindroteuthis* (Arctoteuthis) cf. *subporrecta* Bodyl., *Inoceramus* sp. indet. Мощность их 100 м. В бассейне р. Умкувеем к готеривскому ярусу относятся туфогенные песчаники, алевролиты и аргиллиты с фауной *Rhynchonella* sp., *Inoceramus paraketzovi* Efim., I. sp. (I. ex gr. *aucella* Trautsch.), *Lima* sp. indet., *Simbirskites* sp., *Cylindroteuthis* sp. Они имеют мощность 200—230 м.

и согласно перекрывают валанжинские отложения. Готеривский возраст имеют туфогенные песчаники, туфы и туфобрекчии в бассейне р. Гребенка, на северо-восточном побережье Пенжинской губы, на правом берегу р. Пенжина, в Пекульнейском и Корякском хребтах (бассейн р. Койвэрэлан и район оз. Пекульнейского). Они охарактеризованы фауной: *Rhynchonella* sp., *Lima* sp., *Oxytoma* sp., *Inoceramus* cf. *paraketzovi* Efim., I. cf. *aucella* Trautsch., *Simbirskites* sp., *Lagonibelus* (*Lagonibelus*) *subrectangulata* Blüthgen. В большинстве районов эти отложения согласно залегают на валанжинских образованиях и имеют мощность порядка нескольких сотен метров.

Отложения барремского яруса известны в хребте Пекульней, где они представлены разнообразными песчаниками, алевролитами и аргиллитами с фауной: *Aucellina rekuinejensis* Ver. sp. nov. и *Aspinoceras kajgorodzevi* Ver. sp. nov. Барремский возраст имеют аргиллиты, алевролиты и туфогенные песчаники в бассейне р. Умкувеем; они согласно перекрывают готеривские слои, имеют мощность 240—270 м и охарактеризованы фауной: *Aucellina penjiensis* Ver. sp. nov., *A. aptiensis* Orb., *Nuculana* sp., *Entolium utokokense* Imlay, *Pleuromya* sp., *Tancredia* sp. В остальных районах барремские образования обычно неотделимы от вышележащих слоев аптского и альбского ярусов. Эти отложения известны на северо-восточном побережье Пенжинской губы, в Пенжинском кряже, в бассейнах рек Майн и Великая, в Пекульнейском и Рарыткинском хребтах. Они представлены полимиктовыми и туфогенными песчаниками, алевролитами и аргиллитами с прослоями конгломератов. На северо-восточном побережье Пенжинской губы в составе этих образований значительную роль играют туфы и туфобрекчии. Мощность их в различных районах оценивается от 500 м до 4 500 м. Баррем-альбские отложения содержат характерную фауну ауцеллин: *Aucellina caucasica* Buch, *A. aptiensis* Orb., *A. polevoi* Ver. sp. nov., *A. anadyrensis* Ver. sp. nov., *A. rekulnejensis* Ver. sp. nov., *A. kryshfovitschi* Ver. sp. nov., *A. ucturiensis* Ver. sp. nov. Стратиграфически наиболее высокая часть этих отложений содержит альбскую фауну: *Inoceramus anglicus* Woods, I. *concentricus* Park., *Gaudryceras penjiensis* Ver. sp. nov., *Cleoniceras* sp., *Beudanticeras* sp., *Sonneratia* sp. Помимо руководящей фауны ауцеллин, иноцерамов и аммонитов, для баррем-альбских образований характерен комплекс следующих пелелипод: *Nuculana mariae* (Orb.), *Entolium utokokense* Imlay, *Tancredia kurupana* Imlay, *Thracia* sp., *Pleuromya* sp., *Pinna* sp.

Верхний отдел. Верхнемеловые отложения Северо-Востока (как и соседних территорий Дальнего Востока СССР) принято делить на отложения гилацкой и ороченской серий. Гиляц-

кая серия соответствует примерно сеноманскому и туронскому ярусам, а ороченская — сеноманскому надъярису и датскому ярису.

Отложения гилацкой серии довольно широко распространены на северо-восточном побережье Пенжинской губы (мамечинская свита), в бассейне р. Майн, в хребтах Пекульней и Рарыткин, в бассейне р. Великая и в северо-восточной части Корякского хребта (гинтеровская свита). Они представлены преимущественно полимиктовыми и туфогенными песчаниками, алевролитами и аргиллитами. Почти повсюду в основании гилацкой серии залегают конгломераты, несогласно перекрывающие баррем-альбские и более древние образования. Мощность отложений гилацкой серии в различных районах оценивается от 700—800 м до 1500—1700 м. На о. Сахалин отложения гилацкой серии выделены в найбинскую свиту. В основании гилацкой серии найдена фауна, свидетельствующая о том, что образование осадков серии началось с верхов альба — зона *Neogastroplices americanus* (Reeside et Weymouth). К этой зоне, вероятно, относятся слои с *Holcodiscoides papillatus* Stol. Более высокие слои гилацкой серии охарактеризованы фауной: *Inoceramus yabei* Nagao et Mat., *Turrilites costatus* Lam., *Turrilites* sp., *Puzosia* aff. *planulata* Sow., *Mortoniceras* sp. Эти слои, вероятно, составляют нижнюю часть зоны *Inoceramus nipponicus* (сеноман — низы турона) с характерным зональным видом *Inoceramus nipponicus* Nagao et Mat. и сопровождающей фауной: *Inoceramus tenuistriatus* Nagao et Mat., *I. korjakensis* Ter., *Parajaubertella kawakitana* Mat., *Acanthoceras* ex gr. *rotomagense* Defrans, *Mikasaites matsumotoi* Ver. sp. nov. Слои, более высокие, чем зона *Inoceramus nipponicus*, изучены плохо. Вероятно, в этих отложениях сделаны находки *Inoceramus* cf. *labiatus* (Schloth.), свидетельствующие в какой-то мере о раннетуронском возрасте этих осадков. Стратиграфически выше залегают слои, относящиеся к зоне *Jimboiceras planulatiforme*. Типичные для этой зоны *Inoceramus hobetsensis* Nagao et Mat. и *I. iburiensis* Nagao et Mat. встречаются в верхах гинтеровской свиты; в других районах (северо-восточное побережье Пенжинской губы, бассейн р. Анадырь) они характеризуют основание ороченской серии.

Отложения ороченской серии имеют широкое развитие на северо-восточном побережье Пенжинской губы, в бассейнах рек Пенжина и Анадырь, в Корякском хребте. Это, в основном, морские образования, сложенные преимущественно полимиктовыми и туфогенными песчаниками, алевролитами и аргиллитами с подчиненным количеством конгломератов. В центральной части Корякского хребта наряду с терригенными отложениями большую роль играют кремнисто-вул-

каногенные образования. Отложения ороченской серии с размывом (в ряде случаев и с угловым несогласием), а иногда согласно перекрывают более древние образования; мощность их в различных районах оценивается от 2500 м до 5000 м. В наиболее хорошо изученных разрезах отложения ороченской серии расчленяются на свиты, соответствующие примерно нижнему сенону и верхнему сенону (или верхнему сенону — датскому ярису). Это соответственно быстринская и пиллалваямская свиты на северо-восточном побережье Пенжинской губы, барыковская и корякская свиты в северо-восточной части Корякского хребта, быковская и красноярковская свиты на о. Сахалин.

Как уже говорилось выше, основание ороченской серии (в частности, основание быстринской и быковской свит) определяется зоной *Jimboiceras planulatiforme* Jimbo. Вместе с зональным аммонитом присутствуют многочисленными представителями иноцерамов и аммонитов: *Inoceramus nipponicus* Nagao et Mat. var. *costatus* Nagao et Mat., *I. nipponicus* Nagao et Mat. aff. var. *costatus* Nagao et Mat., *I. arcticus* Ver. sp. nov., *I. hobetsensis* Nagao et Mat., *I. iburiensis* Nagao et Mat., *I. lamarcki* Park., *Scaphites planus* Yabe, *S. aff. planus* Yabe, *S. puerqulus* Jimbo, *S. perrini* Anderson, *S. cf. pseudoaequalis* Yabe, *S. aff. gracilis* Yabe, *Scalarites scalaris* Jimbo, *S. venustum* Yabe, *Hypantoceras* cf. *reussianum* (Schlüter), *Nipponites mirabilis* Yabe. Зона *Jimboiceras planulatiforme* соответствует, по-видимому, верхнему турону. Стратиграфически выше лежат слои, выделяемые в зону *Inoceramus uwajimensis*. Эта зона характеризует основание барыковской свиты и верблюжегорскую свиту о. Сахалин (соответствующую примерно средней части быковской свиты). Вместе с зональным видом *Inoceramus uwajimensis* Yehara присутствуют: *Glycymeris veatchii* Gabb, *Apitrigonia minor* (Yabe et Nagao), *Hypophylloceas ramosum* Meek, *Scaphites puerqulus* Jimbo, *S. perrini* Anderson, *Scaphites* sp. По возрасту зона *Inoceramus uwajimensis* соответствует коньякскому ярису или какой-то его части. Следующая, стратиграфически более высокая зона *Inoceramus mihoensis* Mat. выделяется только на Сахалине. Возможно, что в быстринской и барыковской свитах этой зоне соответствуют слои с фауной: *Epigoniceras glabrum* Jimbo, *Gaudryceras denseplicatum* Jimbo, *G. tenuiliratum* Yabe var. *ornata* Yabe, *G. tenuiliratum* Yabe var. *infraquens* Yabe, *G. aff. varagurense* Kossmat, *G. kamtschatkensis* Ver. sp. nov., *Neopuzosia ishikawai* (Jimbo), *Mezopuzosia indopacifica* Kossmat. Эти слои соответствуют примерно позднему коньяку и какой-то части сантона. Верхние части быстринской, барыковской и быковской свит определяются зоной *Aparachydiscus paumanni* Yok. Зональный аммонит сопровождается характерны-

ми иноцерамами: *Inoceramus paumanni* Yok., *I. yokoyamai* Nagao et Mat., *I. pagaoi* Зопова. Здесь же присутствуют аммониты *Polyptychoceras pseudogaultinum* (Yok), *Subptychoceras* sp., *Eurachydiscus haradai* Jimbo. По возрасту эта зона сопоставляется, по-видимому, с верхней частью сантона и нижней (а также, вероятно, и средней) частью кампана.

Стратиграфически выше зоны *Aparachydiscus paumanni* залегает зона *Inoceramus schmidti* Mich., характеризующая основание корякской и красноярковской свит. *Inoceramus schmidti* обычно сопровождается комплексом, состоящим из *Inoceramus sachalinensis* Sok., *I. orientalis* Sok., *I. elegans* Sok., *Canadoceras compressum* Mat. Возраст зоны соответствует верхней части кампана. Лежащая выше зона *Canadoceras sachalinensis* Ver. характеризует примерно верхнюю часть корякской, пиллалваямской и красноярковской свит и кроме зонального аммонита содержит фауну: *Inoceramus* aff. *balticus* Boehm, *I. kusiroensis* Nagao et Mat., *Phylloparachydiscus ezoense* Yok., *Neancyloceras* aff. *pseudoarmatum* Schlüter, *Pseudoxybeloceras* sp. По возрасту эта зона соответствует примерно верхам кампана и низам маастрихта. Стратиграфически наиболее высокой зоной ороченской серии является зона *Pachydiscus* ex gr. *neubergicus* — *goilevillensis*. Кроме зональных аммонитов эти слои содержат *Pachydiscus* (*Neodesmoceras*) *japonicus* Mat., *P. subcompressum* Mat. Возраст рассматриваемой зоны по единой шкале — маастрихтский.

Несколько слов следует особо сказать о фауне так называемой тихляваямской серии, отложения которой развиты на левобережье р. Пенжины. Здесь собран характерный комплекс аммонитов: *Kosmaticeras kamtschaticus* Ver. sp. nov., *Natalites penjiensis* Ver. sp. nov., *Propiacenticeras?* sp., *Brahmatites brahma* Forbes. Этот комплекс чрезвычайно напоминает фауну из сенонских свит Тричинополи и Ариялур Южной Индии, поэтому отложения тихляваямской серии и были отнесены к сенону. В настоящее время появились данные, говорящие о том, что, по крайней мере, часть этих отложений может быть более древней, а именно сеноман-туронской. Поэтому в данном атласе мы описываем перечисленные выше аммониты (и встречающиеся с ними двустворки: *Lopatinia kamtschatica* Liw., *Apiotrigonia subjimboi* Mir., *A. amitgiensis* Ver., *Quadratortrigonia* (*Yeharella*) aff. *kimurai* (Tokun. et Shim.), *Mytilus lanceolatus* Schmidt) просто как верхнемеловые и помещаем таблицы с этой фауной в конце атласа.

Конец мелового периода ознаменовался обширной регрессией моря. В этот период в ряде мест (хребты Пекульней и Рарыткин, бассейн р. Великая) образуются континентальные отложения с флорой. В отдельных районах (бассейн р. Майн,

бухта Угольная, некоторые районы о. Сахалин) продолжают существовать прибрежно-морские условия и накапливаться песчаники и алевролиты с фауной ацил, аномий, параллелононов, тригоний, ринхонелл и других пелеципод и брахиопод. Эти слои примерно сопоставимы с датским ярусом, а также, возможно, с самыми верхами маастрихтского яруса или низами палеоцена. В большинстве же районов палеогеновые отложения несогласно перекрывают более древние, чем маастрихт, отложения.

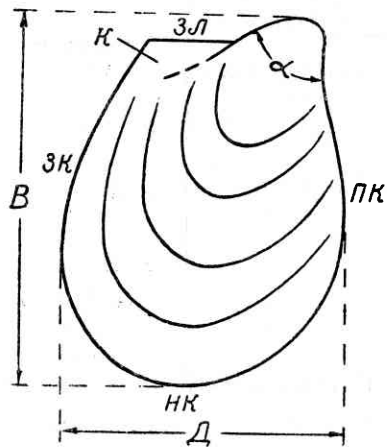
Ярус	Серия	Бухта Угольная	Северо-восточное побережье Пенжинской губы	о. Сахалин
Датский	Ороченская	Корякская свита	Пиллалваямская свита	Красноярковская свита
Маастрихт				
Кампан		Барыковская свита	Быстринская свита	Быковская свита
Сантон				
Коньяк	Иляцкая	Гинтеровская свита	Маметчинская свита	Найбинская свита
Турон				
Сеноман				
Альб				

Табл. I. Схема сопоставления верхнемеловых свит, упоминающихся в атласе.

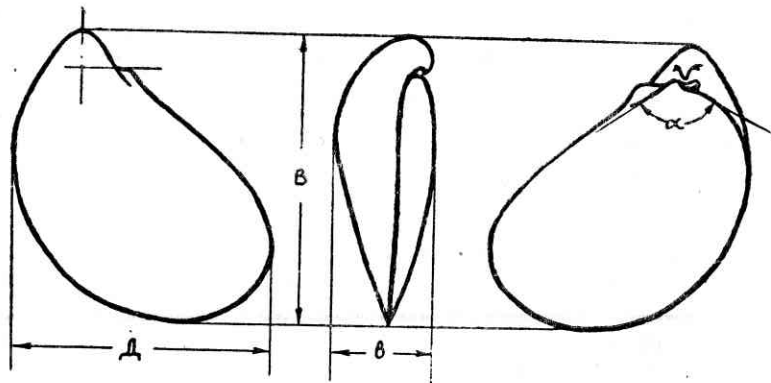
Описание фауны

КРАТКАЯ ХАРАКТЕРИСТИКА МОРФОЛОГИИ РАКОВИН

1. ДВУСТВОРЧАТЫЕ МОЛЛЮСКИ

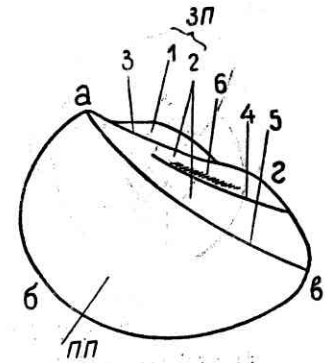


Фиг. 1. Раковина *Ipoceras*: лк — передний край, нк — нижний (брюшной) край, эк — задний край, зл — замочная линия, к — крыло, В — высота, Д — длина, α — апикальный угол.

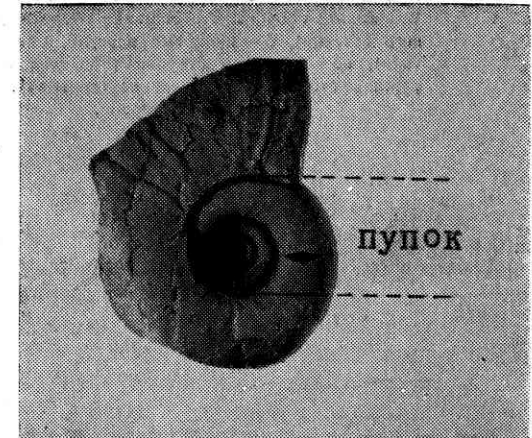


Фиг. 2. Раковина *Aucella*: В — высота, Д — длина, в — выпуклость, α — примакушечный угол правой створки.

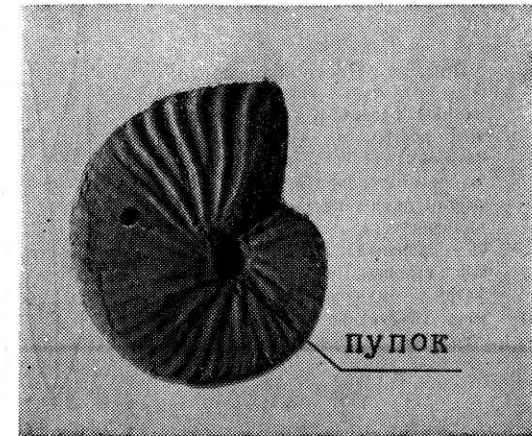
Фиг. 3. Раковина *Trigonia*: аб — передний край, аг — верхний край, гв — сифональный край, бв — нижний край, пл — переднее поле, зп — заднее поле (состоящее из щитка 1 и арки 2), 3 — внутренний киль, 4 — срединный киль, 5 — наружный киль, 6 — срединная бороздка.



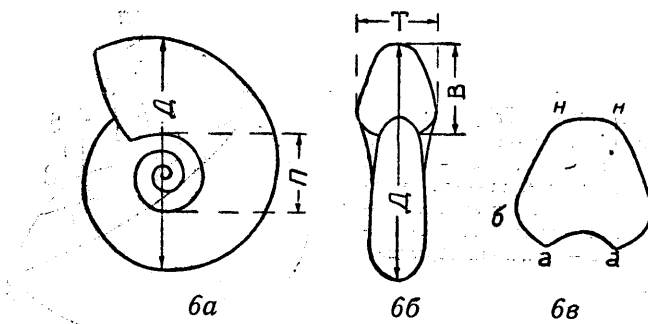
2. АММОНИТЫ



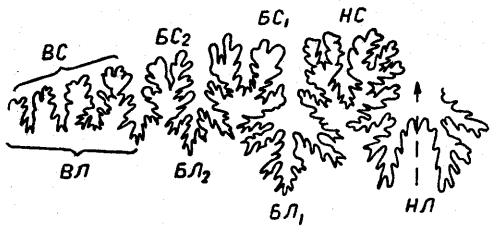
Фиг. 4. Эволютная раковина.



Фиг. 5. Инволютная раковина.



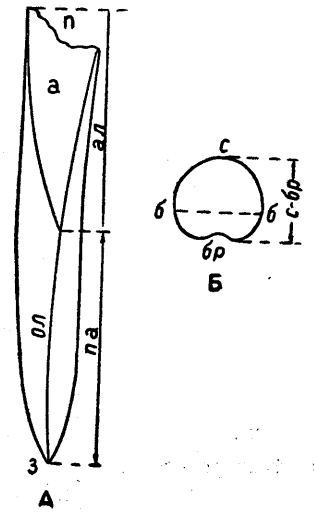
Фиг. 6. Раковина аммонита:
 6а — вид сбоку, 6б — вид со стороны устья, 6в — поперечное сечение оборота; Д — диаметр раковины, П — ширина пупка, В — высота оборота, Т — толщина оборота (ширина поперечного сечения), б — пупковый перегиб, нн — боковая сторона (бок), аб — пупковая сторона (пупковая стенка), нн — наружная сторона (брюшная, вентральная), аа — внутренняя сторона.



Фиг. 7. Перегородочная линия аммонита:
 нл — наружная лопасть, бл₁ — первая боковая лопасть, бл₂ — вторая боковая лопасть, вл — вспомогательные лопасти, нс — наружное седло, бс₁ — первое боковое седло, бс₂ — второе боковое седло, вс — вспомогательные седла.

3. БЕЛЕМНИТЫ

Фиг. 8. Ростр белемнита:
 А — продольный разрез, В — поперечный разрез, п — передний конец ростра, з — задний конец (вершина ростра), а — альвеола, ал — альвеолярная часть, ол — осевая линия, па — постальвеолярная часть, с — спинная сторона, бр — брюшная сторона, б — боковые стороны, бб — боковой диаметр, с-бр — спинно-брюшной диаметр (измерение диаметров производится у вершины альвеолы).



ОБЪЯСНЕНИЕ НЕКОТОРЫХ ЛАТИНСКИХ ТЕРМИНОВ

- 1. cf. (conformis) — подобный; указывает на вероятную принадлежность к данному виду.
- 2. aff. (affinis) — близкий; определяемый вид имеет некоторые видовые отличия от известного близкого вида, т. е. родственен ему.
- 3. ex gr. (ex grege) — из стада; указывает на принадлежность только к определенной группе видов.
- 4. sp. (species) — вид; означает, что это, вероятно, новый вид, не выделенный лишь из-за недостатка материала для его полной характеристики.
- 5. sp. indet. (species indeterminata) — форма неопределима до вида из-за плохой сохранности.
- 6. sp. nov. (species nova) — новый вид.
- 7. var. (varietas) — вариант какого-либо вида.

ОПИСАНИЕ ВИДОВ

Aucella fischeriana (Orbigny)

Табл. 1, фиг. 1 а—в

Раковина неравносторчатая, косо-овальная, слабо выпуклая, украшена равномерно расположенными концентрическими ребрами. Левая створка значительно выпуклее правой и имеет тонкую изящную макушку. Наибольшая выпуклость приурочена к верхней части раковины. Правая створка обладает прямолинейным задним и овально-округлым передним краем; макушка маленькая, почти не выступающая. У обеих створок иногда сохраняется ушко треугольного очертания.

Размеры в мм:

длина	21
высота	24 (1,14)
выпуклость	11 (0,52)
примакушечный угол правой створки	95°

Широко распространена в верхней части нижневолжских и в верхневолжских слоях, часто встречается в нижнем валанжине. В последнем известна в Северо-Восточном Приколымье, на Чукотке, в бассейне р. Анадырь и Корякском хребте.

Aucella russiensis Pavlow

Табл. 1, фиг. 2 а—в, 3 а—в

Раковина неравносторчатая, слабо выпуклая, треугольно-овального очертания, с четкими концентрическими ребрами. Они размещены относительно равномерно, местами ступенчатые.

щаются. Левая створка выпуклее правой (выпуклость в верхней трети раковины), расширяется в нижней части и имеет изящную макушку. Правая створка овальная, задний край прямой, очертание переднего и нижнего краев округлое. Макушка маленькая и острая.

По сравнению с *Aucella fischeriana* (Orb.) скошенность раковины меньше, а высота больше.

Размеры в мм:

	Фиг. 2	Фиг. 3
длина	20	23
высота	27 (1,35)	34 (1,48)
выпуклость	10,5 (0,52)	11 (0,48)
примакушечный угол правой створки	87°	75°

Появляется в нижневолжском ярусе, распространена в верхневолжском ярусе и встречается в нижнем валанжине. Распространена в Северо-Восточном Приколымье, бассейне р. Анадырь и Корякском хребте.

Aucella jasikovi Pavlov

Табл. 1, фиг. 4 а—в

Раковина неравностворчатая, косо-удлиненная, умеренно выпуклая, с концентрическими ребрами. Последние иногда равномерные, часто группируются по 2—3. Левая створка лишь немного выпуклее правой; наибольшая выпуклость в верхней (примакушечной) части раковины. Макушка довольно тонкая, закручена несколько вперед. Правая створка имеет овально-треугольную форму с более выпуклой и острой верхней частью; нижний край овально-округлый.

Размеры в мм:

длина	17,5
высота	26 (1,48)
выпуклость	13 (0,74)
примакушечный угол правой створки	73°

Распространена в верхневолжском ярусе и нижнем валанжине Северо-Восточного Приколымья, бассейна р. Анадырь и Корякского хребта.

Aucella krotovi Pavlov

Табл. 1, фиг. 5 а—б

Раковина неравностворчатая, овально-удлиненная, умеренно выпуклая, покрыта четкими, довольно равномерными концентрическими ребрами. Иногда наблюдается слабо заметная

тонкая радиальная ребристость. Выпуклость приближена к верхней части раковины. Макушка левой створки маленькая, смещена к заднему краю. Раковина имеет маленькое ушко.

Размеры в мм:

длина	22,5
высота	35 (1,55)
выпуклость	17 (0,76)
примакушечный угол правой створки	76°

Распространена в верхневолжских и нижневаланжинских отложениях Северо-Восточного Приколымья, бассейна р. Анадырь, Корякского хребта.

Aucella stantoni Pavlov

Табл. 1, фиг. 6 а—б

Раковина неравностворчатая, косо-удлиненная, слабо выпуклая с резкими равномерными концентрическими ребрами. Левая створка имеет удлиненную скошенную форму, тонкую макушку; выпуклость приближена к верхней части. Правая створка по сравнению с левой менее выпуклая, форма ее в верхней (примакушечной) части заостренная, в передней и нижней — округло-овальная; задний край прямой.

Размеры в мм:

длина	20
высота	27 (1,35)
выпуклость	10 (0,50)
примакушечный угол правой створки	72°

Встречается в верхневолжских и нижневаланжинских отложениях Северо-Восточного Приколымья, бассейна р. Анадырь и Корякского хребта.

Aucella lahuseni Pavlov

Табл. 2, фиг. 1 а—б

Раковина неравностворчатая, удлиненно-овальная, слабо выпуклая, украшена четкими довольно равномерными концентрическими ребрами. Левая створка выпуклее правой (выпуклость приближена к верхней части раковины), слабо скошена и имеет тонкую удлиненную макушку, нависающую над правой створкой. Правая створка представляет собой плавно очерченный овал, заостряющийся в верхней части, где он заканчивается очень маленькой макушкой. Иногда у створок сохраняется небольшое ушко треугольной формы.

Размеры в мм:	
длина	29
высота	45 (1,55)
выпуклость	15 (0,52)
примакушечный угол правой створки	66°

Появляется в нижневолжских отложениях, широко распространена в верхневолжском ярусе и нижнем валанжине. Известна в Северо-Восточном Приколымье, бассейне р. Анадырь и Корякском хребте.

Aucella tenuicollis Pavlow

Табл. 2, фиг. 2 а—в, 3 а—в, 4

Раковина неравностворчатая, сильно удлинённая, слегка скошенная, слабо выпуклая, покрыта концентрическими ребрами. Левая створка выпуклее правой, наибольшая выпуклость в верхней трети раковины. Макушка левой створки толкая, длинная, нависающая. Правая створка имеет форму удлинённого овала с заостренной верхней частью, где располагается маленькая макушечка. Верхняя часть заднего края часто спрямлена. Иногда сохраняется небольшое заднее ушко.

От *Aucella lahuseni* Pavl. отличается большей удлинённостью и более острым примакушечным углом правой створки.

	Размеры в мм:		
	Фиг. 2	Фиг. 3	Фиг. 4
длина	17	12	17
высота	30 (1,76)	19 (1,58)	28 (1,65)
выпуклость	9 (0,53)	7 (0,58)	—
примакушечный угол правой створки	56°	59°	—

Распространена в верхней части нижневолжского и в верхневолжском ярусе. Встречается также в нижнем валанжине Северо-Восточного Приколымья, бассейна р. Анадырь и Корякского хребта.

Aucella aff. robusta Pavlow

Табл. 2, фиг. 5 а—в

Раковина неравностворчатая, удлинённо-овальная, сильно выпуклая, с концентрическими ребрами. Левая створка немного выпуклее правой, максимальная выпуклость в средней части раковины. Левая створка несколько скошена и имеет относительно тонкую удлинённую макушку. Правая створка сильно выпуклая, овально-яйцевидной формы. Макушка маленькая, биссусная складочка довольно большая. Помимо

концентрических ребер на левой и правой створках намечаются складки-пережимы.

Размеры в мм:	
длина	31
высота	43 (1,42)
выпуклость	24 (0,77)
примакушечный угол правой створки	82°

Встречается в нижнем и среднем валанжине бассейна р. Анадырь.

Aucella volgensis Lahusen

Табл. 3, фиг. 1 а—в

Раковина неравностворчатая, неравносторонняя, умеренно выпуклая, с четкими довольно равномерными концентрическими ребрами. Левая створка скошенная, выпуклее правой, максимальная выпуклость в средней части створки; макушка небольшая, довольно тонкая. Правая створка равномерно выпуклая с прямолинейным задним и округло-овальным передним и нижним краем. Часто встречаются крупные экземпляры.

Размеры в мм:	
длина	40
высота	56 (1,40)
выпуклость	27 (0,67)
примакушечный угол правой створки	83°

Распространена в нижнем и среднем валанжине Северо-Восточного Приколымья, Чукотки, бассейна р. Анадырь и Корякского хребта.

Aucella okensis Pavlow

Табл. 3, фиг. 2 а—в

Раковина неравностворчатая, неравносторонняя, широкая, умеренно выпуклая, украшена концентрическими ребрами, иногда (у крупных экземпляров) довольно редкими. Левая створка треугольно-овальная с небольшой массивной макушкой и максимальной выпуклостью в средней части.

Правая створка овально-трапециевидная с относительно прямолинейным задним краем и округлым передним и нижним краем. Макушка правой створки маленькая, слегка загнутая.

От *Aucella volgensis* Lah. отличается большей длиной створок и большим примакушечным углом правой створки.

Размеры в мм:

длина	42
высота	56 (1,33)
выпуклость	26 (0,62)
примакушечный угол правой створки	87°

Распространена в нижнем и среднем валанжине Северо-Восточного Приколымья, бассейна р. Анадырь и Корякского хребта.

Aucella aff. okensis Pavlov

Табл. 4, фиг. 1 а—в

Отличается от типичной *Aucella okensis* Pavl. большей величиной скошенности раковины, ее длины и иногда примакушечного угла правой створки.

Размеры в мм:

длина	23
высота	25 (1,09)
выпуклость	10 (0,43)
примакушечный угол правой створки	105°

Встречается в верхневолжском ярусе и нижнем валанжине Северо-Восточного Приколымья и бассейна р. Анадырь.

Aucella elliptica Pavlov

Табл. 4, фиг. 5 а—б

Отличается от *Aucella okensis* Pavl. меньшей длиной раковины, более прямолинейным краем правой створки и большим примакушечным углом последней.

Размеры в мм:

длина	31
высота	45 (1,45)
примакушечный угол правой створки	98°

Встречается в нижнем и среднем валанжине Северо-Восточного Приколымья, бассейна р. Анадырь и Корякского хребта.

Auceila circola Paraketzov sp. nov.

Табл. 4, фиг. 2 а—в

Раковина неравностворчатая, неравносторонняя, слабо выпуклая, почти округлой формы, покрыта тонкими равномерными концентрическими ребрами. Левая створка выпуклее правой, наибольшая выпуклость в верхней трети раковины. Макушка левой створки относительно небольшая и тон-

кая. Нижний и передний края округлые, скошенность незначительная. Правая створка почти плоская, выпуклая лишь примакушечная часть. Иногда из-за присутствия концентрических складок отдельные участки створки становятся вогнутыми. Макушка и биссусная складочка под ней маленькие. Форма правой створки почти круглая, несколько выступает лишь примакушечная часть.

Отличается от *Auceila orbicularis* Hyatt более слабой скошенностью раковины, меньшей выпуклостью левой створки и меньшим примакушечным углом правой створки.

Размеры в мм:

длина	22
высота	26 (1,18)
выпуклость	10 (0,45)
примакушечный угол правой створки	90°

Распространена в нижневолжских и верхневолжских отложениях Северо-Востока СССР. Встречается в нижнем валанжине Северо-Восточного Приколымья, Чукотки и бассейна р. Анадырь.

Aucella cf. terebratuloides Lahusen

Табл. 4, фиг. 3 а—б

Раковина неравностворчатая, несколько неравносторонняя, умеренно выпуклая с четкими равномерными концентрическими ребрами. Левая створка выпуклее правой, наибольшая выпуклость в средней части раковины. Скошена она незначительно, имеет треугольную форму и округлый нижний край. Правая створка почти округлая, равномерно выпуклая, с маленькой макушкой.

Размеры в мм:

длина	29
высота	35 (1,21)

На Северо-Востоке СССР распространена от нижневолжского яруса до среднего валанжина. Встречается в нижнем и среднем валанжине Северо-Восточного Приколымья, бассейна р. Анадырь и Корякского хребта.

Auceila unschensis Pavlov

Табл. 4, фиг. 4 а—в

Раковина неравностворчатая, неравносторонняя, умеренно выпуклая, округло-овальной формы, украшена четкими равномерными концентрическими ребрами. Левая створка выпуклее правой, максимальная выпуклость в средней части раковины. Макушка маленькая, к нижнему краю створка быстро-

расширяется. Правая створка выпуклая, с округлым нижним и прямолинейным передним краем.

Размеры в мм:

длина	19
высота	24 (1,26)
выпуклость	14 (0,74)
примакушечный угол правой створки	90°.

Встречается в нижнем и среднем валанжине Северо-Восточного Приколымья и бассейна р. Анадырь.

Auceila bulloides L a h u s e n

Табл. 5, фиг. 1 а—в

Раковина неравносторчатая, близка к равносторонней, округлая, умеренно выпуклая с концентрическими ребрами. Левая створка немного выпуклее правой, максимальная выпуклость в средней части. Макушка маленькая, тонкая. Правая створка имеет очертание почти правильного круга, лишь с небольшим заострением в примакушечной части.

Размеры в мм:

длина	13
высота	16 (1,23)
выпуклость	9 (0,63)

Встречается в среднем валанжине Северо-Восточного Приколымья, бассейна р. Анадырь и Корякского хребта.

Auceila keyserlingi L a h u s e n

Табл. 5, фиг. 2 а—в

Раковина неравносторчатая, треугольно-овальная, несколько скошенная, умеренно выпуклая, покрыта концентрическими ребрами. Левая створка выпуклее правой, наибольшая выпуклость в средней части, нижний край округлый. Макушка довольно массивная. Правая створка имеет трапециевидную форму. Задний край прямолинейный, нижний — округлый, передний — вогнутый. Макушка среднего размера, биссусная складочка большая. Часто встречаются крупные экземпляры.

От *Auceila volgensis* Lah. отличается большей длиной и выпуклостью, а также формой правой створки.

Размеры в мм:

длина	31
высота	37 (1,19)
выпуклость	18 (0,58)*

* Изображенный на фиг. 2 а—в (табл. 5) экземпляр несколько сплюснут, поэтому приведенная цифра относительной выпуклости (0,58) меньше обычной.

Широко распространена в среднем валанжине Северо-Восточного Приколымья, бассейна р. Анадырь, северо-восточного побережья Пенжинской губы и Корякского хребта.

Auceila visingensis S o k o l o v

Табл. 5, фиг. 3 а—в

Раковина неравносторчатая, несколько неравносторонняя, треугольной формы, умеренно выпуклая, со сравнительно тонкими концентрическими ребрами. Левая створка выпуклее правой (максимальная выпуклость в средней части раковины), с массивной макушкой и округлым нижним краем. Правая створка округлая в нижней части, имеет прямолинейный задний и вогнутый передний край. Макушка среднего размера, биссусная складочка крупная.

От *Auceila keyserlingi* Lah. отличается большей расширенностью в нижней части створок и меньшей скошенностью раковины.

Размеры в мм:

длина	52
высота	57 (1,10)
выпуклость	31 (0,60)*

Часто встречается в отложениях среднего валанжина Северо-Восточного Приколымья, бассейна р. Анадырь и Корякского хребта.

Auceila cf. inflata T o u l a

Табл. 6, фиг. 1 а—в

Неравносторчатость и неравносторонность раковины незначительны. Форма округленно-треугольная. Раковина вздутая и покрыта нерезкими концентрическими ребрами. Обе створки выпуклы почти в одинаковой степени, макушка левой створки лишь немногим больше макушки правой створки. Передний край створок слегка вогнут.

Размеры в мм:

длина	21
высота	24 (1,14)
выпуклость	18 (0,86)

Встречается в среднем и верхнем валанжине Северо-Восточного Приколымья, бассейна р. Анадырь, Корякского хребта и северо-восточного побережья Пенжинской губы.

* Описываемый экземпляр немного сдавлен.

Aucella crassa Pavlow

Табл. 6, фиг. 2 а—в

Раковина почти равностворчатая и равносторонняя, округлой формы, сильно вздутая, с равномерными концентрическими ребрами. У крупных экземпляров обычно наблюдаются пережимы.

Максимальная выпуклость в средней части раковины, обе створки вздуты почти в одинаковой степени. Макушки маленькие, биссусная складочка большая.

Размеры в мм:

длина	27
высота	35 (1,30)
выпуклость	26 (0,96)

Распространена в среднем и верхнем валанжине Северо-Восточного Приколмыя, Чукотки, бассейна р. Анадырь, северо-восточного побережья Пенжинской губы и Корякского хребта.

Aucella uncitoides Pavlow

Табл. 6, фиг. 3 а—в

Раковина неравностворчатая, неравносторонняя, удлинено-овальной формы, умеренно выпуклая, украшена тонкими неявно выраженными концентрическими ребрами. Намечаются небольшие концентрические складки. Левая створка выпуклее правой и несколько скошена; контур нижнего края овальный, макушка среднего размера. Правая створка равномерно выпуклая с небольшой макушкой, удлинено-овальным нижним краем и вогнутым передним краем.

Размеры в мм:

длина	23
высота	34 (1,48)
выпуклость	16 (0,70)

Известна из среднего и верхнего валанжина Северо-Восточного Приколмыя, бассейна р. Анадырь и Корякского хребта.

Aucella crassicollis Keyserling

Табл. 7, фиг. 1 а—б, 2, 3, 4

Раковина неравностворчатая, почти равносторонняя, сильно выпуклая, с концентрическими ребрами. Тонкие ребра неравномерно чередуются с более грубыми складками. Левая створка очень удлиненная с округлым нижним краем, вытянутой и вздутой макушкой, иногда как бы отделенной пережимом от нижней части раковины. Правая створка слабо

выпуклая с округлым задним и нижним краем и длинным вогнутым передним краем, что создает впечатление скошенности створки вперед.

Распространена в верхнем валанжине и готериве (?) Северо-Восточного Приколмыя, бассейна р. Анадырь и Корякского хребта.

Aucella sublaevis Keyserling

Табл. 7, фиг. 5 а—в

Раковина близка к равностворчатой и равносторонней, сильно выпуклая, округло-треугольной формы со слабо заметными концентрическими ребрами. Внутренние ядра гладкие. Макушки обеих створок маленькие, биссусный вырез большой. Обе створки почти одинаково выпуклы, максимальная выпуклость в средней части раковины.

Размеры в мм:

длина	19
высота	22 (1,16)
выпуклость	16 (0,84)

Встречается в верхнем валанжине и готериве (?) Северо-Восточного Приколмыя и бассейна р. Анадырь.

Tollia sp.

Табл. 7, фиг. 6

Раковина средней величины, сжатая с боков, с умеренно узким лупком. Бока слабо выпуклые, почти плоские; вентральная сторона узко-дугобразная; высота поперечного сечения оборота намного превышает ширину. Скульптура состоит из слабо изогнутых тонких ребер, разделяющихся в средней части боков на три ветви и пересекающих вентральную сторону с явным изгибом вперед.

Верхи нижнего — средний валанжин бассейна р. Рауцуа.

Spanioteuthis sp. I.

Табл. 8, фиг. 1а—в

Ростр средних размеров, массивный, субцилиндрический. Поперечное сечение овальное, сжатое в спинно-брюшном направлении. Спинная сторона округлее брюшной. Острие ростра несимметрично, приближено к брюшной стороне. Альвеола занимает половину длины ростра. Ее вершина приближена к спинной стороне.

Валанжин северо-восточной части Корякского хребта (район оз. Пекульнейского).

Acroteuthis cf. lateralis (Philips)

Табл. 9, фиг. 1 а—в

Сохранилась постальвеолярная часть ростра. Ростр субцилиндрический, в задней части постепенно суживающийся и оканчивающийся коротким, тупым, несколько приближенным к брюшной стороне острием. Брюшная сторона уплощенная, боковые стороны округлы, на каждой из них проходит широкая плоская бороздка, заметная на хорошо сохранившихся экземплярах. Поперечный разрез вдоль всего ростра имеет овальную форму с уплощенной брюшной стороной. Альвеола эксцентрична, приближена к брюшной стороне и занимает более половины длины ростра.

Известен из среднего и верхнего валанжина северо-восточной части Корякского хребта (район оз. Пекульнейского).

Spanioteuthis sp. II.

Табл. 9, фиг. 2 а—в

Ростр средних размеров, субцилиндрический. Брюшная сторона в отличие от спинной плоская. Боковые стороны уплощены, на них заметны широкие вдавленности. Поперечное сечение овально-трапециевидное, сжатое в спинно-брюшном направлении. Альвеола занимает более половины длины ростра, вершина ее центральна. Осевая линия прямая, слабо наклонная к брюшной стороне.

Валаншин северо-восточной части Корякского хребта (район оз. Пекульнейского).

Inoceramus paraketzovi Efimova

Табл. 10, фиг. 1

Раковина большая, угловато-овального очертания; длина и высота примерно одинаковые. Наибольшая выпуклость приурочена к верхней половине раковины. Макушка довольно массивная. Слабо выпуклый передний край плавно переходит в более узко-округлый нижний край; задний край почти прямой. Скульптура состоит из частых, резких, округлых концентрических ребер, часто расщепляющихся. На нижней половине раковины ребра более грубые и плоские.

Готерив бассейна р. Еропол (приток р. Анадырь), правобережья р. Пенжины и северо-восточной части Корякского хребта (район оз. Пекульнейского).

Simbirskites cf. umbonatus La Huse n

Табл. 10, фиг. 2

Раковина умеренной величины, с широким пупком и уплощенными или слабо выпуклыми боками. Резкие пупковые ребра немного ниже середины бока заканчиваются продолговатым бугорком, из которого выходит пучок из трех-четырёх тонких ребер. Четвертое ребро иногда является вставным. Перегородочная линия умеренно расчлененная; первая боковая лопасть короче сифональной.

Готерив бассейна р. Малый Анюй.

Simbirskites speetonensis Young et Bird

Табл. 10, фиг. 3

Раковина небольшая, дисковидная, с нешироким пупком. Бока слабо выпуклые, вентральная сторона узко округлая, поперечное сечение оборота узкое и высокое. Резко выраженные пупковые ребра немного ниже середины бока заканчиваются бугорком, из которого выходит пучок из четырех-пяти тонких ребрышек, пересекающих вентральную сторону с легким изгибом вперед. Перегородочная линия умеренно расчлененная, с длинной сифональной лопастью, с двумя боковыми лопастями и одной или двумя вспомогательными.

Готерив бассейна р. Малый Анюй. Широко известен в готериве Сибири.

Lagonibelus (Lagonibelus) subrectangulata Blüthgen

Табл. 11, фиг. 1 а—в

Ростр средних размеров субцилиндрического очертания, поперечное сечение округло-прямоугольное. Альвеола небольшая, до одной четверти длины ростра. Задний конец эксцентричен и приближен к спинной стороне.

Готерив северо-восточной части Корякского хребта (район оз. Пекульнейского).

Cylindroteuthis (Arctoteuthis) cf. subporrecta Bodylevsky

Табл. 11, фиг. 2 а—б

Ростр вытянутый, слабо веретеновидный; наиболее расширенное место его находится в одной трети длины постальвеолярной части от заднего конца. Отсюда ростр постепенно суживается по направлению вверх и в двух третях расстояния от нижнего конца приобретает цилиндрическое очертание.

В наиболее расширенном месте ростр слабо сжат в спинно-брюшном направлении. Заострение заднего конца ростра постепенное, острие смещено к спинной стороне. Альвеола занимает одну четвертую часть ростра. Осевая линия центральная.

Готерив бассейна р. Малый Анюй.

Aspinoceras kajgorodzevi Vereshagin sp. nov.

Табл. 12, фиг. 1, 2 и 3

Раковина крупная, с несколькими правильными несоприкасающимися оборотами, короткой прямой частью и округлым крючком. Поперечное сечение оборота овально-округлое с высотой, незначительно превышающей ширину. На юной стадии поверхность раковины покрыта частыми тонкими, иногда раздваивающимися кольцевыми ребрами, которые с возрастом быстро грубеют, оставаясь все-таки довольно частыми. Ребра слегка наклонены вперед. Лопастная линия сильно рассеченная с лепестковидными окончаниями седел. Боковые лопасти трехраздельные, с копьевидными окончаниями; первая боковая лопасть значительно длиннее сифональной. Боковые седла глубокими вторичными лопастями разделены на две ветви, каждая из которых, в свою очередь, двураздельна. Основания седел очень узкие.

Баррем хребта Пекульней.

Tetragonites duvalianus Orbigny

Табл. 13, фиг. 4 а—б

Раковина средних размеров, с относительно широким ($\frac{П}{Д} = 0,37$) пупком ступенчатой формы. Боковые стороны плоские; вентральная сторона, округленная на ранней стадии, с возрастом уплощается. Форма поперечного сечения от сжато-округленного у молодых до почти прямоугольного у взрослых форм. Поверхность раковины покрыта линиями нарастания и многочисленными пережимами. Перегородочная линия имеет несимметрично двураздельные лопасти и седла. Наружная и первая боковая лопасти примерно одинаковой длины.

Баррем? — апт бассейна р. Амур. Верхний апт Европы.

Aucellina pekulnejensis Vereshagin sp. nov.

Табл. 13, фиг. 1 а—в

Раковина довольно крупная, косо-овальная, неравностворчатая. Левая створка умеренно выпуклая, с относительно

большой макушкой, загнутой внутрь и вперед. Правая створка меньше, почти плоская, с острой маленькой макушкой, расположенной вдали от переднего края. Скульптура состоит из тонких концентрических и изогнутых радиальных ребрышек, а также неотчетливых концентрических складок.

Баррем — нижний альб хребта Пекульней, бассейна р. Майн, северо-восточного побережья Пенжинской губы.

Aucellina ucturiensis Vereshagin sp. nov.

Табл. 13, фиг. 2 а—в; табл. 14, фиг. 1 и 2

Раковина небольшая, неравностворчатая, очень узкая, сильно вытянутая вдоль линии высоты. Левая створка слегка скошенная, умеренно выпуклая, с большой макушкой, загнутой внутрь и вперед. Правая створка вытянуто-овальная, с маленькой острой макушкой и округло-треугольным задним ушком. Скульптура состоит из пересекающихся концентрических и радиальных ребрышек.

Баррем — апт северо-восточного побережья Пенжинской губы, хребтов Пекульней и Сихотэ-Алинь.

Aucellina kryshstofovitschi Vereshagin sp. nov.

Табл. 13, фиг. 3 а—б; табл. 14, фиг. 3 а—в

Раковина от маленьких до крупных размеров, косо-овального очертания, неравностворчатая, вытянутая в высоту. Левая створка большая, скошенная, выпуклая, с узкой вытянутой макушкой, нависающей над замочным краем и загнутой внутрь и вперед. Правая створка почти плоская с маленькой макушкой. Скульптура состоит из концентрических линий и пологих складок; на маленьких экземплярах заметны тонкие радиальные ребрышки.

Баррем — нижний альб бассейна р. Майн.

Aucellina anadyrensis Vereshagin sp. nov.

Табл. 14, фиг. 4 и 5

Раковина средних размеров, овальная, неравностворчатая, вытянутая в высоту. Левая створка очень выпуклая, с острой высокой макушкой, слегка загнутой внутрь и вперед. Правая створка слабо выпуклая, с маленькой, острой, смещенной назад макушкой и хорошо образованным задним треугольным ушком. Скульптура состоит из тонких пересекающихся концентрических и радиальных ребрышек.

Баррем — нижний альб северо-восточного побережья Пенжинской губы и бассейнов рек Майн и Большой Анюй.

Aucellina polevoi Vereshagin sp. nov.

Табл. 14, фиг. 7

Раковина маленькая или средних размеров, неправильных округлых очертаний; высота равна длине или даже несколько меньше ее. Левая створка довольно сильно выпуклая, с небольшой макушкой, с сильно развитыми ушками — передним и задним. Скульптура состоит из тонких концентрических и радиальных ребрышек и грубых концентрических складок вблизи вентрального края.

Баррем — нижний альб хребта Пекульней, северо-восточного побережья Пенжинской губы и бассейна р. Большой Анюй.

Aucellina aptiensis Orbigny

Табл. 14, фиг. 6, 8 и 9

Раковина маленькая, овально-угловатого очертания, неравносторчатая. Левая створка довольно сильно и равномерно выпуклая, с небольшой симметричной макушкой, загнутой внутрь. Правая створка плоская, почти круглая, с маленькой, смещенной назад макушкой и глубоким биссусным вырезом. Скульптура раковины тонкая, сетчатая, образованная пересечением концентрических и радиальных ребрышек.

Баррем — нижний альб северо-восточного побережья Пенжинской губы, бассейнов рек Большой Анюй, Еропол, Майн и хребта Пекульней.

Aucellina cf. *caucasica* Buch

Табл. 15, фиг. 1 и 2

Раковина средних размеров, косо-овального очертания, неравносторчатая, вытянутая в высоту. Левая створка выпуклая в макушечной и передней части и уплощенная вблизи вентрального края. Макушка высокая, суженная, нависающая над правой створкой. Правая створка плоская или слабо выпуклая, с маленькой макушкой, удаленной от переднего края. Переднее ушко сильно удлиненное, тупо округленное, заднее — короткое, треугольное. Скульптура состоит из тонких радиальных ребрышек и грубых широких концентрических морщин.

Баррем — нижний альб северо-восточного побережья Пенжинской губы, бассейнов рек Большой Анюй, Майн и хребта Пекульней.

Nuculana mariae (Orbigny)

Табл. 15, фиг. 4

Раковина маленькая, удлиненная, равносторчатая, неравносторонняя, умеренно выпуклая. Передне-спинной край поч-

ти прямой, вентральный — длинный и равномерно изогнутый; задне-спинной — слегка вогнутый. Передний конец тупой и округлый, задний — заостренный. Макушки небольшие, острые. Поверхность раковины покрыта концентрическими ребрышками.

Баррем — альб северо-восточного побережья Пенжинской губы и хребта Пекульней; альб Понтонейских гор. Вне СССР характерна для апта и альба Западной Европы.

Pleuromya sp.

Табл. 15, фиг. 3 а—в

Раковина средней величины, округло-треугольного очертания, равносторчатая, неравносторонняя, умеренно выпуклая. Передне-спинной и задне-спинной края наклонные; передний край короткий, усеченный, задний — оттянутый, узко выпуклый, нижний — широко дуговидный. Макушки довольно большие, выступающие над замочным краем и загнутые внутрь. От макушки к передне-нижнему краю проходит округлый килевой перегиб. Поверхность раковины покрыта концентрическими морщинами.

Баррем — альб северо-восточного побережья Пенжинской губы и хребта Пекульней.

Tancredia kurupana Imlay

Табл. 15, фиг. 5 и 6

Раковина маленькая или средней величины, удлиненно-треугольная, умеренно выпуклая. Передне-спинной край слегка вогнутый, нижний — длинный, широко дугобразный, задний — несколько выпуклый. Макушки небольшие, слегка выдающиеся и повернутые вперед. От макушки к ниже-заднему краю проходит неотчетливый киль. Поверхность раковины покрыта тонкими концентрическими линиями.

Баррем — альб северо-восточного побережья Пенжинской губы, хребта Пекульней и бассейна р. Большой Анюй. Вне СССР характерна для альба С. Аляски.

Entolium utokokense Imlay

Табл. 16, фиг. 1 и 2

Раковина умеренной величины, округло-овального очертания. Левая створка относительно сильно выпуклая, правая — почти плоская. Ушки почти равны по величине; они слегка возвышаются над макушкой на правой створке и немного ниже ее на левой створке. Поверхность раковины покрыта очень тонкими концентрическими линиями и периодическими бороздками.

Баррем бассейна р. Большой Анюй. Весьма близкие энтолиумы часто встречаются в баррем-альбских отложениях на северо-восточном побережье Пенжинской губы и в хребте Пекульней.

Inoceramus anglicus Woods

Табл. 16, фиг. 3

Раковина обычно средней величины, овального очертания, равностворчатая; высота несколько превышает длину. Передняя часть раковины выпуклая — задняя уплощенная, переходящая в крыловидный выступ. Макушки небольшие, смещенные к переднему краю; апикальный угол несколько меньше прямого. Передний и задний края слабо выпуклые; они плавно соединяются с выпуклым нижним краем. Прямой замочный край равен примерно одной трети высоты раковины. Скульптура состоит из резких правильных концентрических ребер, ослабевающих на крыле.

Средний и верхний альб северо-восточного побережья Пенжинской губы, хребтов Пекульней и Рарыткин, северо-восточной части Корякского хребта. Средний и верхний альб Европы и Америки.

Inoceramus concentricus Parkinson

Табл. 16, фиг. 4 а—б; табл. 17, фиг. 1 а—в

Раковина умеренной величины, грушевидного очертания, неравностворчатая. Левая створка сильно выпуклая в передней части и более уплощенная (с небольшим крыловидным выступом) в задней части. Макушка высокая, узкая, нависающая над правой створкой, загнута внутрь и вперед. Передний и задний края слабо выпуклые; они плавно соединяются с сильно выпуклым нижним краем. Правая створка менее высокая и менее выпуклая, с небольшой, широкой, слабо загнутой макушкой. Поверхность раковины покрыта довольно грубыми, неравномерными концентрическими ребрами.

Альб — нижний сеноман хребта Пекульней. Альб и, отчасти, сеноман Европы и С. Америки.

Gaudryceras penjiensis Vereshagin sp. nov.

Табл. 17, фиг. 2; табл. 18, фиг. 4 а—б

Раковина маленькая (диаметром не более 50 мм), с относительно широким ($\frac{П}{Д} = 0,37$) пупком и округлым пупковым перегибом. Бока и вентральная сторона умеренно выпуклые. Поперечное сечение ранних оборотов округлое; с ростом оно становится более вытянутым в высоту, эллиптическим. Поверх-

ность раковины покрыта очень тонкими, частыми, слабо изогнутыми простыми или расщепляющимися ребрышками. Иногда два-три тонких ребрышка объединяются, образуя усиленное ребро; иногда вместо усиленных ребер присутствуют пережимы. Жилая камера занимает две трети оборота. На ней видны 3—4 валикообразных изогнутых ребра, которые на некоторой линии сильно изрезанная, с двураздельными лопастями и седлами. Первая боковая лопасть по длине примерно равна наружной. Вспомогательные элементы образуют провисающую шовную лопасть.

Альб (вместе с альбскими *Cleoniceras* и *Sonneratia*) бассейна р. Анадырь, Словутных гор и северо-восточного побережья Пенжинской губы.

Sonneratia sp.

Табл. 18, фиг. 2 а—в

Раковина маленькая, инволютная ($\frac{П}{Д} = 0,20$). Боковые стороны выпуклые, вентральная сторона округлая, поперечное сечение оборота удлинено-овальное. Скульптура состоит из довольно грубых, слегка изогнутых, раздваивающихся ребер, часть из которых вставные. На вентральной стороне они образуют изгиб вперед. Перегородочная линия довольно сильно изрезанная, с несимметричными лопастями и седлами.

Альб северо-восточного побережья Пенжинской губы, Понтонейских гор и хребта Пекульней.

Cleoniceras sp.

Табл. 18, фиг. 3 а—б и 6

Раковина чаще всего маленькая, дисковидная, с узким ($\frac{П}{Д} = 0,12$) пупком. Бока плоские или очень слабо выпуклые, вентральная сторона узко-дугообразная, почти острая; поперечное сечение оборота удлинено-овальное или эллиптическое. Поверхность раковины почти гладкая или покрыта нечетливыми, S-образно изогнутыми ребрышками и тонкими струйками нарастания. Перегородочная линия довольно сильно рассеченная, с округлыми окончаниями элементов; наружное седло большое, с широким основанием; первая боковая лопасть несимметрично трехраздельная. Остальные седла и лопасти (в том числе и вспомогательные) быстро уменьшаются по направлению к пупку.

Альб северо-восточного побережья Пенжинской губы и левобережья р. Майн (бассейн р. Анадырь).

Beudanticeras sp.

Табл. 19, фиг. 1; табл. 20, фиг. 1

Раковина большая, с узким ($\frac{П}{Д} = 0,11$) пупком и округлым пупковым перегибом. Слегка выпуклые бока расходятся в стороны от узко-дугообразной вентральной стороны. Наибольшая ширина поперечного сечения находится между серединой бока и пупковым перегибом ($\frac{П}{Д} = 0,30$; $\frac{В}{Д} = 0,50$).

Поверхность раковины почти гладкая, исключая слабые ребрышки. Пережимы многочисленные, слабо изогнутые. Перегородочная линия тонко рассеченная. Боковые лопасти трехраздельные; первая боковая лопасть намного длиннее сифональной. Седла двураздельные. Присутствуют многочисленные вспомогательные элементы.

Альб бассейна р. Анадырь (левобережье р. Орловки).

Neogastrolites americanus (Reeside et Weymouth)

Табл. 18, фиг. 5

Раковина маленькая, дисковидная, инволютная. Бока слабо выпуклые, вентральная сторона очень узкая, почти острая. Поверхность раковины покрыта частыми, четкими, слегка изогнутыми ребрышками, часть из которых двураздельные, а часть вставные. На поздней стадии роста ребра более грубые, редкие и одиночные. Кроме ребер наблюдаются тонкие струйки нарастания. Лопасти и седла несимметричные, с широкими основаниями.

Верхний альб бассейна р. Майн, Понтонейских гор, северо-восточного побережья Пенжинской губы.

Holcodiscoides papillatus Stoliczka

Табл. 18, фиг. 1

Раковина сравнительно небольшая, дисковидная, с широким ($\frac{П}{Д} = 0,33$) пупком. Бока уплощенные, вентральная сторона узко-дугообразная, поперечное сечение оборота эллиптическое. Поверхность раковины покрыта очень тонкими, густыми ребрышками и многочисленными пережимами, из которых 3—4 последних сопровождаются валиками. Первая боковая лопасть трехраздельная и по длине равна или немного меньше сифональной. Седла несимметрично двураздельные.

Альб — сеноман северо-восточного побережья Пенжинской губы.

Turrilites sp.

Табл. 20, фиг. 2 а—б и 3

Раковина умеренной величины, свернутая в коническую спираль с соприкасающимися выпуклыми оборотами. Поперечное сечение трапециевидное с округлыми углами. Поверхность раковины покрыта четырьмя продольными рядами бугорков, из которых бугорки нижнего ряда самые крупные и слегка вытянуты в поперечном направлении; бугорки следующих трех рядов последовательно уменьшаются и сдвигаются по отношению к бугоркам нижнего ряда вперед, к устью. Число бугорков на всех рядах одинаково. Лопастная линия не сохранилась.

Верхний альб — сеноман бассейна р. Майн.

Mortoniceras sp.

Табл. 21, фиг. 1 а—б

Раковина умеренной величины, с широким ($\frac{П}{Д} = 0,41$) пупком, угловатым пупковым перегибом и низкими отвесными пупковыми стенками. Бока слабо выпуклые, вентральная сторона довольно узкая и уплощенная, поперечное сечение оборота округло-трапециевидное. Поверхность раковины покрыта простыми радиальными ребрами, несущими многочисленные бугорки: пупковые, два слабых боковых и два сильных вентролатеральных. Ребра оканчиваются у верхних вентролатеральных бугорков. Внешняя сторона гладкая, с низким, округлым, продольным срединным килем. Лопасти имеют узкие пальцевидные окончания и очень широкие основания. Сифональная лопасть длинная, довольно узкая, разделенная неглубоким квадратным срединным седлом. Первая боковая лопасть длиннее сифональной, а вторая — очень маленькая; седла массивные, прямоугольные.

Верхний альб — сеноман бассейна р. Майн.

Inoceramus yabei Naga o et Matumoto

Табл. 21, фиг. 2 а—в

Раковина умеренной величины, косо-треугольного очертания, почти равносторчатая, примерно одинаковой высоты и длины. Створки умеренно выпуклые. Передний край прямой или слегка вогнутый; он плавно переходит в округлый брюшной край, который также постепенно сливается с длинным, слабо выпуклым задним краем. Маленькое треугольное крыло редко сохраняется. Макушки выдающиеся, заостренные;

слегка повернуты вперед. Скульптура состоит из довольно неправильных «морщинистых» концентрических ребер.

Сеноман бассейна р. Майн. Вне СССР сеноман и, отчасти, турон Японии.

Inoceramus nipponicus Nagao et Matumoto

Табл. 22, фиг. 1 а—в, 2 а—б и 3

Раковина маленькая, косо-овального очертания, тонкостенная, неравностворчатая, с высотой, превышающей длину. Левая створка высокая, выпуклая; наибольшая выпуклость приурочена к верхней части створки и сдвинута к переднему краю. Длинный почти прямой или широко округлый передний край плавно соединяется с узко-изогнутым вентральным краем, который плавно переходит в длинный, слегка выпуклый задний край. Макушка высокая, узкая, загнута внутрь и вперед. Правая створка менее высокая и слабо выпуклая, с маленькой макушкой. Обе створки имеют на переднем крае под макушкой небольшую площадку, почти перпендикулярную боковой поверхности створок. Поверхность раковины почти гладкая или с тонкими правильными концентрическими ребрышками.

Широко распространен в сеноман-туронских отложениях Северо-Востока СССР: в маметчинской свите северо-восточного побережья Пенжинской губы, в гинтеровской свите бухты Угольной, в сеноман-туронских слоях бассейнов рек Майн и Великая, в хребтах Пекульней и Рарыткин. Вне СССР характерен для сеномана — турона Японии.

Inoceramus korjakensis Terechova

Табл. 23, фиг. 1 а—в

Раковина большая, косо-треугольного очертания, неравностворчатая, вытянутая в высоту. Левая створка выпуклая, высокая (высота в два раза превышает длину). Макушка довольно узкая, высокая, загнута внутрь и вперед; апикальный угол равен 60° . Правая створка ниже и менее выпуклая, с маленькой макушкой. Передний край раковины длинный, почти прямой, с отвесной площадкой под макушкой; брюшной край узко округлый; задний — длинный, слабо выпуклый. Поверхность створки в примакушечной части покрыта лишь тонкими концентрическими линиями; ниже наблюдаются слабые и неравномерные концентрические ребра; на расстоянии 50—85 мм от макушки присутствует пережим.

Верхняя часть гинтеровской свиты бухты Угольной; сеноман — турон бассейна р. Майн.

Inoceramus tenuistriatus Nagao et Matumoto

Табл. 24, фиг. 1 а—б и 2

Раковина маленькая, грубо четырехугольного очертания, тонкостенная, неравностворчатая. Левая створка слегка вытянута в высоту, незначительно выпуклая, с невысокой макушкой, загнута внутрь и вперед. Правая створка имеет одинаковую высоту и длину, менее выпуклая, с незаметной макушкой. Передний край слегка вогнутый, брюшной и задний края слабо выпуклые; передне-брюшной край довольно сильно выступает вперед. Поверхность раковины почти гладкая, исключая тонкие концентрические ребрышки. Иногда присутствуют пологие широкие концентрические поднятия.

Сеноман — турон (преимущественно верхняя часть) северо-восточного побережья Пенжинской губы, бассейнов рек Майн и Великая, хребта Пекульней, бухты Угольной.

Inoceramus cf. *labiatus* (Schlotheim)

Табл. 24, фиг. 3

Раковина средних размеров, овальная, почти равностворчатая, вытянутая в высоту. Выпуклость умеренная, приуроченная к передней части раковины. Передний и задний края слабо выпуклые; брюшной край узко округлый; замочный — короткий и прямой. Макушки небольшие, краевые, слегка выдающиеся над замочным краем. Скульптура состоит из правильных тонких концентрических ребер, располагающихся пучками.

Турон Северо-Западной Камчатки. Турон Европы, Северной Америки, Африки, Индии, Японии.

Puzosia aff. *planulata* Sowerby

Табл. 25, фиг. 1 а—б и 2

Раковина средней величины, дисковидная, с широким ($\frac{П}{Д} = 0,36—0,39$) пупком. Бока плоские, параллельные, вентральная сторона узко-дугообразная, поперечное сечение оборота эллиптическое ($\frac{В}{Д} = 0,36—0,39; \frac{T}{Д} = 0,20—0,24$). Поверхность раковины покрыта тонкими, частыми ребрышками, часть из которых вставные. На обороте присутствуют 5—6 пережимов, которые, как и ребра, S-образно изогнуты и на вентральной стороне образуют выступ вперед. На жилой камере ребра грубее и реже. Перегородочная линия тонко рассеченная; она состоит из двураздельных седел и трехраздельных лопастей.

Данная форма отличается от типичной присутствием гру-

рых ребер на жилой камере и тем, что ребра начинаются не в верхней трети оборота, а покрывают бока полностью.

Сеноман бассейна р. Майн. Типичная форма характерна для сеномана Западной Европы, Африки, Мадагаскара, Индии.

Turrilites costatus Lamarck

Табл. 26, фиг. 1 и 4

Раковина умеренной величины, свернутая в винтовую спираль. Обороты выпуклые, соприкасающиеся, с узким пупком. Поперечное сечение оборота четырехугольное или трапециевидное с округлыми углами. Поверхность раковины покрыта широко расставленными поперечными ребрами, несущими по три слабых продолговатых бугорка. Лопастни и седла широкие, неправильно двураздельные. Первая боковая лопасть длиннее вентральной.

Маметчинская свита северо-восточного побережья Пенжинской губы; гинтеровская свита бухты Угольной. Вне СССР сеноман Западной Европы, Северной Америки, Африки, Индии.

Acanthoceras ex gr. *gotomagense* Defrans

Табл. 26, фиг. 3 а—в

Раковина маленькая, с умеренно широким ($\frac{П}{Д} = 0,33$) пупком. Бока и вентральная сторона уплощенные, поперечное сечение оборота почти квадратное. Поверхность раковины украшена ребрами и тремя рядами (пупковым и двумя вентролатеральными) острых низких бугорков (шипов). Внешняя сторона гладкая, только посредине ее проходит еще один ряд бугорков.

Верхняя часть найбинской свиты о. Сахалин.

Mikasites matsumotoi Vereshagin sp. nov.

Табл. 26, фиг. 2 а—в; табл. 27, фиг. 1 а—в

Раковина маленькая, вздутая, инволютная, с глубоким и узким пупком, с крутыми округлыми пупковыми стенками, с пупковым перегибом от угловатого до округлого. Бока раковины выпуклые, вентральная сторона широко дуговидная с тупо угловатой средней (сифональной) частью. Поперечное сечение оборота на юной стадии имеет полулунную форму, позднее оно сердцевидное. Поверхность раковины покрыта тонкими ребрышками, выходящими пучками из пупковых бугорков. Вдоль средней линии вентральной стороны протягивается ряд вентральных бугорков, у которых тонкие ребрышки снова соединяются в пучки. Некоторые ребрышки проходят, не касаясь ни пупковых, ни вентральных бугорков. На

обороте присутствуют 4—5 пережимов, срезающих позади себя по несколько ребер. При диаметре раковины в 33—35 мм появляются еще два ряда бугорков—вентролатеральных. Их появлению предшествует глубокий двойной пережим. Такая скульптура наблюдается на половине оборота, затем бугорки исчезают вообще, а ребра становятся крупными, резкими, разделенными широкими промежутками, с пережимами, сопровождающимися валиками. Устье не сохранилось. Перегородочная линия не наблюдалась.

Верхняя часть найбинской свиты о. Сахалин.

Parajaubertella kawakitana Matumoto

Табл. 27, фиг. 2 а—б и 3

Раковина маленькая, вздутая, с узким и глубоким пупком. Бока узкие, слегка выпуклые, незаметно переходящие в широко дугобразную вентральную сторону. Поперечное сечение оборота широкое и низкое. Поверхность раковины покрыта лишь очень тонкими струйками нарастания. Перегородочная линия довольно сложно рассеченная, с двураздельными лопастями и седлами. Первая боковая лопасть по длине примерно равна наружной. Вспомогательные элементы образуют провисающую шовную лопасть.

Найбинская свита о. Сахалин. Вне СССР сеноман (и, возможно, верхи альба) Японии и Аляски.

Inoceramus nipponicus Nagao et Matumoto
var. *costatus* Nagao et Matumoto

Табл. 28, фиг. 3

Данная форма обладает почти всеми особенностями, присущими *Inoceramus nipponicus* Nagao et Mat. Отличие ее заключается в более грубой ребристости и в уменьшении пропорции между длиной и высотой раковины.

Основание быстринской свиты северо-восточного побережья Пенжинской губы; верхний турон бассейна р. Убиенка. В Японии характерен для сеноман-туронских отложений (исключая низы сеномана).

Inoceramus nipponicus Nagao et Matumoto
aff. var. *costatus* Nagao et Matumoto

Табл. 27, фиг. 4 а—б; табл. 28, фиг. 1

Форма отличается от предыдущей большей выпуклостью, сильной вытянутостью вдоль линии высоты и выдающимся передне-брюшным краем.

Низы быстринской свиты северо-восточного побережья Пенжинской губы.

Inoceramus arcticus Vereshagin sp. nov.

Табл. 28, фиг. 4 и 5 а—б

Раковина небольшая, округло-прямоугольного очертания, равностворчатая или почти равностворчатая, вытянутая в высоту. Створки довольно выпуклые; наибольшая выпуклость приурочена к середине высоты и немного сдвинута к переднему краю. Задняя часть створки более уплощенная, незаметно переходящая в небольшое, но отчетливо выраженное крыло. Передний край слабо выпуклый или почти прямой, брюшной край узко округлый, задний — почти прямой, образующий тупой угол с замочным краем умеренной длины. Макушки небольшие, узкие, выпуклые, несколько выступающие над замочным краем и слегка повернутые вперед. Поверхность раковины покрыта равномерными, округлыми, умеренной силы ребрышками, образующими выгиб вверх на задне-спинной части.

Низы быстринской свиты северо-восточного побережья Пенжинской губы.

Inoceramus hobetsensis Nagao et Matumoto

Табл. 28, фиг. 2

Раковина средних и крупных размеров, вытянуто-пятиугольная или овальная, почти равностворчатая; высота превышает длину. Створки умеренно выпуклые. Передний край прямой или слегка вогнутый, брюшной — умеренно выпуклый, задний — широко округлый, образующий тупой угол с длинной прямой замочной линией. В средней части раковины наблюдается радиальная депрессия. Макушки почти краевые, небольшие. Скульптура состоит из складкообразных, правильных, симметричных ребер и тонких концентрических линий.

Основание быстринской свиты северо-восточного побережья Пенжинской губы; верхний турон бассейна р. Убиенка; верхи гинтеровской свиты бухты Угольной; основание быковской свиты о. Сахалин. Вне СССР турон Японии.

Inoceramus tamarki Parkinson

Табл. 29, фиг. 1 а—в

Раковина средних и крупных размеров, треугольного очертания, очень выпуклая, почти равностворчатая; высота превышает длину. Передний край раковины слегка вогнутый, брюшной — узко округлый, задний — слегка выпуклый. Присутствует большое треугольное крыло, которое отделяется от остальной поверхности створки крутым уступом. Макушки,

расположенные у самого переднего края, массивные, загнутые внутрь и вперед. Скульптура состоит из грубых концентрических ребер. От макушки к нижнему краю (ближе к задней части раковины) проходит радиальная борозда.

Основание быстринской свиты северо-восточного побережья Пенжинской губы. Верхний турон — коньяк Сибири. Средней Азии, Европы.

Inoceramus iburiensis Nagao et Matumoto

Табл. 30, фиг. 1; табл. 31, фиг. 1; табл. 32, фиг. 1

Раковина крупная, удлинено-трапециевидная, равностворчатая. Створки выпуклые, особенно вблизи макушек. Макушки массивные, загнутые внутрь и вперед. Передний и задний края длинные, почти прямые; брюшной край более или менее округлый, замочный — прямой и длинный. Поверхность раковины двумя довольно крутыми (килевидными) перегибами разделена на три поля, расположенных почти под прямыми углами друг к другу. Посреди раковины (ближе к заднему краю) проходит радиальная депрессия. Скульптура состоит из грубых, складкообразных концентрических ребер и линий нарастания.

Основание быстринской свиты северо-восточного побережья Пенжинской губы; верхний турон бассейна р. Убиенка; основание быковской свиты о. Сахалин.

Jimboiceras planuliforme (Jimbo)

Табл. 33, фиг. 1 и 2

Раковина крупная, с широким ($\frac{П}{Д} = 0,40$) пупком. Бока слабо выпуклые, вентральная сторона дугообразная. Поверхность раковины покрыта сравнительно тонкими, слабо изогнутыми ребрышками. Пережимы вначале сопровождаются, а затем замещаются усиленными валикообразными ребрами. Перегородочная линия сильно рассеченная, с длинной несимметричной трехраздельной первой боковой лопастью и нисходящими вспомогательными элементами.

Основание быстринской свиты северо-восточного побережья Пенжинской губы; основание быковской свиты о. Сахалин.

Scaphites planus Yabe

Табл. 33, фиг. 3 а—б

Раковина маленькая, овальная, с более или менее уплощенными боками и округлой вентральной стороной. Спиральные обороты дисковидные, с узким пупком. Жилая камера зани-

мает выпрямленную часть раковины и короткий крючок. Поверхность раковины покрыта боковыми и вентральными ребрами. Боковые ребра начинаются у пупкового края, постепенно усиливаются и отчетливо изгибаются на границе с вентральной стороной. Вентральные ребра более тонкие и в два или три раза многочисленнее боковых. На жилой камере скульптура ослабевает. Первая боковая лопасть двураздельная и намного короче сифональной. Наружное седло очень широкое, несимметричное.

Основание быстринской свиты северо-восточного побережья Пенжинской губы; верхний турон бассейна р. Убиенка; основание быковской свиты о. Сахалин. Вне СССР верхи турона — коньяк Японии.

Scaphites aff. planus Yabe

Табл. 34, фиг. 1 а—в

Данная форма отличается от предыдущей наличием хорошо выраженных бугорков на границе боковых и вентральных ребер.

Основание быстринской свиты северо-восточного побережья Пенжинской губы.

Scaphites puerqulus Jimbo

Табл. 33, фиг. 4

Раковина маленькая, эллиптическая или овальная. Бока и внешняя сторона выпуклые. Внутренние спиральные обороты гладкие; позже появляются простые, изогнутые, довольно сильные боковые ребра, которые на внешней стороне замещаются тонкими многочисленными вентральными ребрами. Устье имеет глубокий пережим, узкий валик и узкую губу со складками.

Основание быстринской свиты северо-восточного побережья Пенжинской губы; основание барыковской свиты бухты Угольной; верхний турон бассейна р. Убиенка. Вне СССР верхний турон — коньяк Японии.

Scaphites perrini Anderson

Табл. 34, фиг. 2 а—в и 3

Раковина маленькая, эллиптическая, со сравнительно длинной выпрямленной частью и коротким крючком. Бока узкие, выпуклые; вентральная сторона выпуклая и очень широкая; поперечное сечение оборота почти линзообразное. Скульптура состоит из сильных коротких боковых ребер и тонких многочисленных вентральных. Устье сопровождается глубоким

пережимом и широкой губой. Первая боковая лопасть неотчетливо двураздельная и короче сифональной. Наружное седло широкое.

Основание быстринской свиты северо-восточного побережья Пенжинской губы; основание барыковской свиты бухты Угольной; верхний турон бассейна р. Убиенка. Вне СССР верхний турон — коньяк Японии.

Scaphites cf. pseudoaequalis Yabe

Табл. 34, фиг. 4, 5 а—б и 6

Раковина маленькая, овальная; спиральные обороты имеют очень узкий пупок. Бока слабо выпуклые, вентральная сторона выпуклая и широкая, поперечное сечение оборота округлое. Боковые ребра начинаются у пупкового края и постепенно усиливаются по направлению к вентральной стороне, где они замещаются тонкими вентральными ребрышками, в два или три раза более многочисленными. Устье окружено высоким валиком. Перегородочная линия имеет широкое наружное седло с почти листовидными окончаниями.

Основание быстринской свиты северо-восточного побережья Пенжинской губы; верхний турон бассейна р. Убиенка. Вне СССР верхний турон — коньяк Японии.

Scaphites aff. gracilis Yabe

Табл. 34, фиг. 7 а—б

Раковина маленькая, овальная. Бока уплощенные, вентральная сторона округлая; высота поперечного сечения больше ширины. От пупкового края идут правильно расположенные ребра, короткие и толстые на спиральных оборотах и более тонкие и длинные на жилой камере. Примерно на середине боков они утоньшаются и между ними вставляются еще одно-два ребрышка, которые без перерыва пересекают брюшную сторону. Устье сопровождается высоким толстым валиком.

Данная форма отличается от типичной несколько более удлиненными очертаниями и иным типом ребристости.

Основание быстринской свиты северо-восточного побережья Пенжинской губы.

Scaphites sp.

Табл. 34, фиг. 8

Раковина маленькая, овальная, с довольно быстро растущими оборотами и очень короткой выпрямленной частью. Бока плоские, вентральная сторона узко округлая, поперечное

сечение оборота высокое и узкое. Слегка изогнутые ребра начинаются у пупкового края; на вентральной стороне они утоньшаются и между ними вставляются еще одно-два тонких ребрышка. На перегибе к крючку ребра становятся очень тонкими и многочисленными.

Основание барыковской свиты бухты Угольной.

Huphantoceras cf. reussianum (Schlüter)

Табл. 35, фиг. 1 а—б

Раковина представляет свободную, неправильно завитую спираль с U-образной жилой камерой. Сечение оборота овальное. Поверхность раковины покрыта частыми, простыми, тонкими, кольцевыми ребрышками; присутствуют довольно многочисленные сильные периодические ребра (типа воротников) с четырьмя довольно длинными и острыми шипами — двумя на вентральной стороне и по одному на боках.

Основание быстринской свиты северо-восточного побережья Пенжинской губы. Вне СССР верхний турон Англии.

Scalarites scalaris Jimbo

Табл. 35, фиг. 2 а—б

Раковина представляет свободную геликоидную (коническую) спираль. Поперечное сечение оборота почти круглое. Поверхность раковины покрыта тонкими, несколько наклонными и слегка изогнутыми ребрами, ослабевающими и сближающимися на спинной стороне. Присутствуют периодические усиленные ребра; число промежуточных ребер между ними 3—5—7.

Основание быстринской свиты северо-восточного побережья Пенжинской губы. Вне СССР турон Японии.

Scalarites venustum Yabe

Табл. 36, фиг. 1 а—б

Раковина свернута в свободную коническую спираль. Поперечное сечение оборота круглое. Поверхность раковины покрыта тонкими, острыми, косыми, изогнутыми ребрами. На брюшной стороне они грубее и реже расположенные, на спинной стороне они сближаются и утоньшаются. Присутствуют периодические усиленные гребневидные ребра; число обычных ребер между ними 5—7.

Основание быстринской свиты северо-восточного побережья Пенжинской губы; основание быковской свиты о. Сахалин. Вне СССР турон Японии.

Nipponites mirabilis Yabe

Табл. 37, фиг. 1 а—б и 2

Раковина неправильно завитая, состоящая из ряда коленообразных участков. Поперечное сечение оборота почти круглое. Поверхность раковины покрыта простыми, острыми, сравнительно редкими ребрами. На жилой камере присутствуют пять четко выраженных гладких воротников. Перегородочная линия состоит из вентральной, дорсальной и двух боковых лопастей. Вентральная лопасть разделена на две ветви двураздельным срединным седлом; боковые лопасти и седла несимметрично двураздельные.

Основание быстринской свиты северо-восточного побережья Пенжинской губы; основание быковской свиты о. Сахалин. Вне СССР турон Японии.

Inoceramus uwajimensis Yehara

Табл. 37, фиг. 3 и 4; табл. 38, фиг. 1 а—в; табл. 39, фиг. 1 а—в; табл. 40, фиг. 1; табл. 41, фиг. 1, 2 а—б; табл. 42, фиг. 1 а—в; табл. 43, фиг. 1; табл. 44, фиг. 1

Очень изменчивый и широко распространенный вид. Раковины от небольших до весьма крупных размеров, овальных, треугольно-овальных и четырехугольно-овальных очертаний, равностворчатые или незначительно неравностворчатые. Высота раковины обычно превышает длину, хотя есть разновидности с равной высотой и длиной. Выпуклость створок от незначительной до умеренной. Передне-спинной край почти прямой с отвесной площадкой различной величины под макушкой; передне-брюшной край округлый и обычно довольно сильно выступающий вперед; вентральный край умеренно выпуклый; задний — от широко дугобразного до почти прямого. Макушки от маленьких, прижатых у переднего края, до довольно высоких и выпуклых, слегка загнутых внутрь и вперед. Апикальный угол равен 70—90°. Крыло различной величины. Скульптура состоит из низких, резких, обычно широко расставленных концентрических ребер, ослабляющихся, до полного исчезновения, на передне-спинной площадке и крыле.

Основание барыковской свиты северо-восточной части Корякского хребта; низы быстринской свиты северо-восточного побережья Пенжинской губы; коньяк левобережья р. Пенжина; верблюжегорская свита (коньяк) о. Сахалин. Вне СССР коньяк Японии и Северной Америки.

Glycymeris veatchii Gabb

Табл. 44, фиг. 2 а—б, 3 и 4

Раковина маленькая, почти шаровидная, равностворчатая. Передне-спинной край наклонно спускается вниз и переходит

в слабо выпуклый передний край, который, в свою очередь, незаметно сливается с широко дугообразным нижним краем; задний край прямой, усеченный. Макушки центральные, большие, загнутые внутрь, сближенные. От макушки к середине задней стороны проходит неглубокая депрессия. Поверхность раковины покрыта частыми, уплощенными радиальными ребрами и довольно редкими концентрическими линиями. Зубы косые, расположенные двумя дугообразными рядами. Внутренний край раковины зазубренный.

Барыковская свита бухты Угольной; верхний мел хребта Пекульней. Вне СССР верхний мел Северной Америки.

Nuropylloceras ramosum Meek

Табл. 45, фиг. 1 а—б, 2 а—в, 3 и 4

Раковина небольшая (за редкими исключениями, см. табл. 45, фиг. 3) с очень узким, почти закрытым пупком. Бока уплощенные, вентральная сторона узко округлая; поперечное сечение оборота эллиптическое. Поверхность раковины покрыта многочисленными, тонкими, изогнутыми ребрышками; некоторые из них объединяются по 2—3 и образуют более широкие и приподнятые ребра. Перегородочная линия сложно рассеченная, с неотчетливыми лепестковидными окончаниями седел. Наружная лопасть короткая; первая боковая лопасть длинная, несимметрично трехраздельная. Седла двураздельные.

Основание барыковской свиты бухты Угольной; основание быстринской свиты северо-восточного побережья Пенжинской губы; быковская свита о. Сахалин. Вне СССР нижний сенон Японии и верхний сенон Ванкуверских островов.

Inoceramus mihoensis Matumoto

Табл. 46, фиг. 1 а—б

Раковина умеренных и больших размеров, угловато-овальная, слегка неравностворчатая; высота несколько превышает длину. Створки умеренно выпуклые. Передний край почти прямой, передне-нижний — угловатый, нижний и задний — широко округлые. Замочная линия средней длины. Макушки довольно массивные, выдающиеся над замочным краем, загнутые внутрь и немного вперед. Скульптура состоит из низких, довольно резких концентрических ребер, густых в приморской части и постепенно разрежающихся по направлению к вентральному краю.

Быковская свита о. Сахалин. Вне СССР верхний коньяк — сантон Японии.

Inoceramus paumanni Yokoyama

Табл. 46, фиг. 2 и 3

Раковина чаще всего маленькая, удлинено-овальная, скошенная в задне-брюшном направлении, равностворчатая. Створки умеренно выпуклые, с небольшой отвесной площадкой под макушкой. Передний край слабо выпуклый; он плавно переходит в узко округлый брюшной край; задний край почти прямой. Крыло узкое, длинное, отделенное от остальной части створки крутым перегибом. Макушки маленькие, лишь слегка выступающие над замочным краем. Поверхность раковины покрыта тонкими, частыми концентрическими ребрами, объединяющимися у боков по два и более. От макушки к задне-нижнему краю проходит неглубокая радиальная депрессия.

Быстринская свита северо-восточного побережья Пенжинской губы; барыковская свита бухты Угольной; нижний сенон бассейна р. Анадырь; быковская свита о. Сахалин. Вне СССР коньяк, сантон и, отчасти, кампан Японии.

Inoceramus yokoyamai Nagao et Matumoto

Табл. 48, фиг. 1 а—б

Данная форма отличается от предыдущей более вздутой и менее косой раковиной, более тонкими концентрическими ребрами и присутствием концентрических складок вблизи брюшного края.

Быстринская свита северо-восточного побережья Пенжинской губы; барыковская свита бухты Угольной. Вне СССР сантон — кампан Японии.

Inoceramus nagaoi Zonova

Табл. 47, фиг. 1 а—в

Раковина умеренных размеров, удлинено-овальная, скошенная в задне-брюшном направлении, равностворчатая. Створки умеренно выпуклые, с крутой, почти отвесной, площадкой в передней части раковины и с довольно большим, плоским, хорошо ограниченным крылом. Слабо выпуклый передний край плавно переходит в узко округлый брюшной; задний край прямой. Макушки небольшие, слегка выступающие над замочным краем. Поверхность раковины покрыта грубыми складкообразными концентрическими ребрами и концентрическими линиями, которые часто имеют неодинаковую кривизну с грубыми ребрами. От макушки к задне-брюшному краю протягивается радиальная депрессия.

Быстринская свита северо-восточного побережья Пенжинской губы; барыковская свита северо-восточной части Корякского хребта; быковская свита о. Сахалин.

Epigoniceras glabrum Jimbo

Табл. 48, фиг. 2 а—в и 3

Раковина средних размеров, с глубоким и нешироким пупком. Бока слегка выпуклые, вентральная сторона широко округлая. Поперечное сечение оборота округло-четыреугольное или трапециевидное. Поверхность раковины гладкая, покрытая лишь тонкими струйками нарастания. Присутствуют пережимы, которые по своей мощности и частоте изменчивы. Перегородочная линия имеет несимметрично двураздельные лопасти и седла. Первая боковая лопасть равна по длине наружной. Вспомогательные элементы образуют провисающую шовную лопасть.

Быстринская свита северо-восточного побережья Пенжинской губы; нижний сенон бассейна р. Майн; быковская свита о. Сахалин.

Gaudryceras aff. varagurense Kossmat

Табл. 49, фиг. 1 а—б

Раковина средней величины, с широким пупком. Бока слабо выпуклые, вентральная сторона широко округлая; поперечное сечение оборота округлое, с шириной, превышающей высоту. Скульптура состоит из тонких, острых, S-образно изогнутых ребрышек, которые частично расщепляющиеся или вставные. Изредка два ребрышка объединяются, образуя усиленное ребро.

Описываемая форма отличается от типичного вида более грубыми ребрами; кроме того, усиленные ребра образуются из двух, а не из четырех (как у типичной формы) тонких ребер.

Быстринская свита северо-восточного побережья Пенжинской губы; сенон Корякского хребта.

Gaudryceras kamtschatskensis Vereshagin sp. nov.

Табл. 49, фиг. 2 а—б

Раковина небольшая, с относительно медленно возрастающими оборотами и довольно широким пупком в юной стадии. Последний оборот возрастает очень быстро, перекрывая примерно две трети предыдущего оборота, так что в целом пупок

кажется довольно узким ($\frac{П}{Д} = 0,26$) и глубоким. Бока и вентральная сторона выпуклые. Сечение оборота округлое, ширина его несколько превышает высоту, только у последнего оборота это соотношение меняется на обратное. Скульптура состоит из тонких, частых, слегка изогнутых ребрышек, расщепляющихся вблизи пупкового края. Изредка два-три ребрышка объединяются, образуя усиленное ребро. Перегородочная линия тонко рассеченная, с двураздельными лопастями и седлами. Вентральная лопасть узкая, разделенная узким срединным седлом на две тонкие длинные ветви. Первая боковая лопасть немного короче вентральной. Вспомогательные элементы образуют провисающую шовную лопасть.

Быстринская свита северо-восточного побережья Пенжинской губы.

Gaudryceras tenuiliratum Yabe var. *ornata* Yabe

Табл. 50, фиг. 1 а—в и 2 а—б; табл. 51, фиг. 1

Раковина средней величины, с широким ($\frac{П}{Д} = 0,35—0,55$) пупком. Бока слегка выпуклые, вентральная сторона дугообразная; поперечное сечение оборотов округлое или эллиптическое. Скульптура состоит из тонких, S-образно изогнутых ребрышек; некоторые из них раздваиваются, другие вставляются вблизи пупкового края. Присутствуют сильные, округлые периодические ребра. Лопастей и седла двураздельные; первая боковая лопасть по длине равна наружной. Вспомогательные элементы образуют провисающую шовную лопасть.

Быковская свита о. Сахалин. Вне СССР сенон Японии.

Gaudryceras tenuiliratum Yabe var. *infraquens* Yabe

Табл. 51, фиг. 2 а—б, 3 и 4 а—б

Данная форма отличается от предыдущей более узким пупком ($\frac{П}{Д} = 0,27—0,31$) и более быстрым возрастанием оборотов.

Быстринская свита северо-восточного побережья Пенжинской губы; барыковская свита бухты Угольной; быковская свита о. Сахалин. Вне СССР сенон Японии.

Gaudryceras denseplicatum Jimbo

Табл. 52, фиг. 1 а—б и 2

Раковина средних размеров, с умеренно широким ($\frac{П}{Д} = 0,25—0,28$) пупком. Бока слабо выпуклые, вентральная сторона равномерно округлая; поперечное сечение оборотов эл-

липтическое. Поверхность раковины на ранней стадии покрыта тонкими, частыми, простыми и расщепляющимися, изогнутыми ребрышками. На жилой камере (или незадолго до нее) появляются широкие, плоские, S-образно изогнутые ребра (складки). И складки, и промежутки между ними покрыты тонкими нитевидными ребрышками. Перегородочная линия с двураздельными лопастями и седлами.

Быстринская свита северо-восточного побережья Пенжинской губы; барыковская свита бухты Угольной; быковская свита о. Сахалин.

Mezopuzosia indopacifica (K o s s m a t)

Табл. 53, фиг. 2

Раковина умеренной величины, дисковидная, с широким ($\frac{П}{Д} = 0,36$) пупком. Бока плоские, вентральная сторона дугообразная. На юной стадии скульптура состоит из тонких, слегка изогнутых ребрышек, которые по мере роста быстро грубеют. На обороте присутствуют 5—6 пережимов. Перегородочная линия сложно рассеченная, состоящая из двураздельных седел и трехраздельных лопастей. Первая боковая лопасть очень несимметричная и длиннее сифональной.

Быстринская свита северо-восточного побережья Пенжинской губы. Вне СССР сантон Индии.

Neopuzosia ishikawai (J i m b o)

Табл. 53, фиг. 1 а—б; табл. 54, фиг. 1 и 2

Раковина средних и крупных размеров, дисковидная, с умеренно широким ($\frac{П}{Д} = 0,30—0,32$) пупком. Бока очень слабо выпуклые, почти плоские, вентральная сторона дугообразная. Поверхность раковины покрыта тонкими, частыми, слабо изогнутыми ребрышками, частично вставными и расщепленными. На жилой камере они внезапно грубеют. На обороте имеются 4—5 пережимов, слегка изогнутых на боках и образующих значительный выгиб вперед на вентральной стороне. Первая боковая лопасть трехраздельная, длиннее сифональной. Седла двураздельные.

Быстринская свита северо-восточного побережья Пенжинской губы; барыковская свита бухты Угольной; быковская свита о. Сахалин. Вне СССР сантон Японии.

Eupachydiscus haradai J i m b o

Табл. 55, фиг. 1; табл. 57, фиг. 1

Раковина большая, с умеренно широким ($\frac{П}{Д} = 0,27$) и глубоким пупком. На юной стадии роста раковина вздутая с попе-

речным сечением оборота полулунной формы. С ростом обороты уплощаются и вытягиваются в высоту. Поверхность раковины покрыта довольно грубыми, слегка изогнутыми ребрами. Часть из этих ребер — главные — начинаются у пупкового края продолговатыми бугорками. Другие ребра, более короткие, вставляются между главными в количестве одного — четырех. Перегородочная линия сильно изрезанная, с двураздельными седлами и трехраздельными лопастями. Первая боковая лопасть длиннее сифональной.

Быстринская свита северо-восточного побережья Пенжинской губы; барыковская свита бухты Угольной; быковская свита о. Сахалин. Вне СССР сантон — кампан Японии и Америки.

Aparachydiscus naumanni Y o k o y a m a

Табл. 56, фиг. 1; табл. 57, фиг. 2; табл. 58, фиг. 1

Раковина крупная, вздутая, с умеренно широким ($\frac{П}{Д} = 0,24—0,28$), глубоким пупком. Бока и вентральная сторона выпуклые; поперечное сечение оборота имеет полулунную форму ($\frac{В}{Д} = 0,46$; $\frac{T}{Д} = 0,65$). Поверхность раковины покрыта довольно грубыми, слегка изогнутыми ребрами, из которых одни — главные — начинаются у пупкового края невысокими бугорками, а другие, более короткие, вставляются между главными в количестве одного — четырех. Перегородочная линия сильно изрезанная, с двураздельными седлами и трехраздельными лопастями. Первая боковая лопасть длиннее сифональной.

Быстринская свита северо-восточного побережья Пенжинской губы; быковская и низы красноярковской свиты о. Сахалин. Вне СССР сантон и, преимущественно, кампан Японии, Америки, Мадагаскара.

Polyptychoceras pseudogaultinum (Y o k o y a m a)

Табл. 58, фиг. 2 а—б и 3

Раковина состоит из трех прямых, близко расположенных, но не соприкасающихся стержней, соединенных коленообразными перегибами и заканчивающихся коротким крючком. Скульптура состоит из простых, довольно тонких ребер, перпендикулярных длине стержня или слегка косых. Перегородочная линия состоит из сифональной, антисифональной и двух боковых лопастей. Антисифональная лопасть, трехраздельная, остальные двураздельные. Первая боковая лопасть по длине равна сифональной.

Верхняя часть быковской свиты о. Сахалин. Вне СССР сантон Японии.

Subptychoceras sp.

Табл. 58, фиг. 4

Раковина состоит из четырех прямых стержней, соединенных коленообразными перегибами. Поперечное сечение стержня округлое. Первый, самый тонкий, стержень почти гладкий; второй покрыт простыми, слегка наклонными ребрами; на третьем стержне ребра собираются в «обручи» — по 3—4 ребра в каждом; на четвертом стержне ребра сильные, асимметричные, редкие.

Верхняя часть быковской свиты о. Сахалин.

Inoceramus schmidti Michael

Табл. 59, фиг. 1

Раковина крупная, треугольная или неправильно ромбическая в очертаниях, равносторчатая, с высотой, почти в два раза превышающей длину. Створки слабо выпуклые. Передний край почти прямой или слабо выпуклый, брюшной — широко дугобразный, задний — прямой. Макушки маленькие, заостренные. Поверхность раковины покрыта концентрическими и радиальными ребрами. Концентрические ребра частые и равномерные; радиальные ребра начинаются на некотором расстоянии от макушки и расходятся легкими дугами от средней линии створки к ее краям.

Корякская свита северо-восточной части Корякского хребта и сантон (?) — кампан остальной части Корякского хребта и Камчатки; красноярковская свита о. Сахалин. Вне СССР кампан Северной Америки и верхний сантон — кампан Японии.

Inoceramus ex gr. schmidti Michael

Табл. 60, фиг. 1; табл. 61, фиг. 1

Данная форма отличается от типичного вида тем, что радиальные ребра у нее начинаются у самой макушки. Кроме того, передние радиальные ребра развиты сильнее задних. Эти признаки сближают данную форму с *Inoceramus sachalinensis* Sok., от которой она отличается небольшой выпуклостью и большим крылом.

Основание корякской свиты бухты Угольной.

Inoceramus sachalinensis Sokolow

Табл. 61, фиг. 2 а—б

Раковина средних и крупных размеров, удлинненно-овальная, равносторчатая, вытянутая в высоту. Створки очень выпуклые, наибольшая выпуклость приурочена к верхней поло-

вине. Передний и задний края слабо выпуклые, нижний — более узко округлый; присутствует небольшое крыло. Макушки выпуклые, несколько выступающие над замочным краем. Поверхность раковины покрыта концентрическими и радиальными ребрами. Концентрические ребра тонкие и заметны на некотором расстоянии от макушки. Радиальные ребра начинаются на самой макушке и дугами расходятся к краям створки. Передние радиальные ребра обычно развиты сильнее, чем задние.

Корякская свита северо-восточной части Корякского хребта, сантон (?) — кампан других районов Корякского хребта; красноярковская свита о. Сахалин. Вне СССР верхний сантон — кампан Японии.

Inoceramus orientalis Sokolow

Табл. 61, фиг. 3; табл. 62, фиг. 1 а—б

Раковины крупных и средних размеров, удлинненно-овальные, равносторчатые, вытянутые в высоту. Створки слабо выпуклые. Широко округлый передний край плавно переходит в дугобразный вентральный край; задний край слабо выпуклый или почти прямой. Присутствует четко выраженное плоское треугольное крыло и маленькое ушко. Макушки небольшие, плоские. Поверхность раковины покрыта концентрическими ребрами двух порядков и радиальными ребрами. Концентрические ребра первого порядка грубые, валикообразные; ребра второго порядка тонкие, а кривизна их больше. Радиальные ребра начинаются на значительном расстоянии от макушки и дугами расходятся к краям створок.

Корякская свита северо-восточной части Корякского хребта и сантон (?) — кампан других районов этого хребта; красноярковская свита о. Сахалин. Вне СССР верхний сантон — кампан Японии.

Inoceramus elegans Sokolow

Табл. 62, фиг. 2 а—в

Раковина маленькая, удлинненно-овальная, равносторчатая. Створки выпуклые. Передний и задний края широко и равномерно округлые, нижний край узко дугобразный. Маленькое треугольное плоское крыло отделяется от остальной части створки резкой складкой. Макушки маленькие, заостренные. Скульптура состоит из тонких концентрических ребрышек и довольно грубых радиальных ребер; последние начинаются на некотором расстоянии от макушки и расходятся от средней линии створки к ее краям.

Корякская свита северо-восточной части Корякского хребта; красноярковская свита о. Сахалин.

Inoceramus aff. balticus Boehm

Табл. 63, фиг. 1

Раковина средних размеров, угловато-округлая, равностворчатая; длина превышает высоту. Створки слабо выпуклые. Передний край короткий и прямой; передне-нижний, нижний и задний края образуют дугу примерно одного радиуса. Замочный край прямой и длинный. Макушки маленькие, краевые. Поверхность раковины покрыта редкими, грубыми концентрическими ребрами.

От типичного вида отличается меньшей длиной, более коротким передним краем, более грубой ребристостью.

Корякская свита бухты Угольной. Типичный вид характерен для верхнего сенона Европы, Северной Америки, Африки, Мадагаскара.

Inoceramus kusiroensis Naga o et Matumoto

Табл. 63, фиг. 2

Раковина небольшая, округлая, с длиной, превышающей высоту, равностворчатая. Передний, нижний и задний края широко округлые и плавно переходят друг в друга, только ниже-задний край значительно оттянут; замочная линия длинная и прямая. Створки незначительно выпуклые. Макушки маленькие, расположенные на некотором расстоянии от переднего края, в результате чего впереди макушки образуется отчетливое треугольное ушко. Апикальный угол равен 115—130°. Имеется длинное плоское треугольное крыло. Скульптура состоит из резких, частых концентрических ребер и радиальных ребрышек, начинающихся вблизи брюшного края.

Верхний сенон (по-видимому, маастрихт) Корякского хребта. Предположительно маастрихт Японии.

Phylloporachyceras ezoense Yokoyama

Табл. 64, фиг. 1 и 2а—б

Раковина небольшая, вздутая, с практически закрытым пупком. Бока слегка выпуклые, вентральная сторона широко округлая; поперечное сечение оборота округлое. На ранней стадии роста поверхность раковины покрыта лишь тонкими нитевидными ребрышками; позднее появляются относительно грубые, слегка изогнутые ребра. Перегородочная линия филлоидная, с трехраздельными лопастями и двураздельными седлами. Первая боковая лопасть имеет одинаковую длину с наружной.

Красноярковская и верхи быковской свиты о. Сахалин.

Pseudoxybeloceras sp.

Табл. 64, фиг. 3

Ранняя часть раковины представляет коническую спираль, за ней следуют обороты в одной плоскости. Они состоят из более или менее прямых параллельных стержней, соединенных коленообразными участками. Поперечное сечение оборота эллиптическое. Поверхность раковины покрыта тонкими, частыми, слегка наклонными ребрами, несущими на вентральной стороне два ряда коротких шипов. Присутствуют редкие пережимы. Перегородочная линия состоит из сифональной, антисифональной и двух боковых лопастей. Боковые лопасти и седла несимметрично двураздельные; первая боковая лопасть по длине равна сифональной.

Средняя часть красноярковской свиты о. Сахалин.

Neancyloceras aff. pseudoarmatum Schlüter

Табл. 65, фиг. 1а—б

Раковина состоит из нескольких несоприкасающихся оборотов, имеющих округлое поперечное сечение. Поверхность раковины покрыта кольцевыми, слегка наклонными, заостренными ребрами. Некоторые из ребер раздваиваются на боках; иногда в месте ветвления появляется бугорок. Два ряда отчетливых бугорков имеются на вентральной стороне, причем на простых ребрах бугорки расположены друг против друга, а на ветвящихся — поочередно. В таких бугорках обычно соединяются два ребра из двух соседних ветвей; затем, на вентральной стороне, они снова расходятся, направляясь уже к разным бугоркам другого ряда. Перегородочная линия не сохранилась.

От типичного вида отличается поочередным расположением бугорков на вентральной стороне и меньшим количеством бугорков на боках.

Верхний сенон северо-восточного побережья Пенжинской губы. Типичный вид характерен для верхнего сенона Европы.

Canadoceras compressum Matumoto

Табл. 66, фиг. 1а—б

Раковина средних и крупных размеров, дисковидная, с умеренно широким пупком. На ранней стадии роста бока незначительно выпуклые, а поперечное сечение оборотов овальное. С ростом раковины бока уплощаются; поперечное сечение оборотов вытягивается в высоту. Поверхность раковины покрыта главными ребрами, начинающимися на пупковом перегибе неясными бугорками, и более короткими ребрами, кото-

рые вставляются между главными в количестве двух-трех. Перегородочная линия состоит из двураздельных седел и трехраздельных лопастей; первая боковая лопасть длиннее сифональной.

Корякская свита бухты Угольной и красноярковская свита о. Сахалин.

Pachydiscus neubergicus Haueг

Табл. 66, фиг. 2

Раковина крупная, с умеренно широким ($\frac{П}{Д} = 0,28$) пупком. Бока слабо выпуклые; поперечное сечение оборота овальное. В юности раковина гладкая. Затем появляются короткие пупковые ребра, затухающие на середине боков. В дальнейшем ребра протягиваются и на вентральную сторону, расщепляясь там на 2—4 ветви; на середине боков они обычно ослаблены. На поздней стадии роста ребра на внешней стороне оборота исчезают совсем, остаются только короткие и редкие пупковые ребра. Перегородочная линия сложно рассеченная. Лопастей трехраздельные; первая боковая лопасть одинаковой длины с сифональной. Седла двураздельные с узкими основаниями.

Пиллалваямская свита северо-восточного побережья Пенжинской губы. Маастрихт Европы и Индии.

Pachydiscus aff. gollevillensis Orbigny

Табл. 67, фиг. 1 а—в

Раковина крупная, дисковидная, с узким ($\frac{П}{Д} = 0,17$) пупком. Бока слабо выпуклые, вентральная сторона узко дугообразная, поперечное сечение оборота эллиптическое ($\frac{В}{Д} = 0,50; \frac{T}{Д} = 0,35$). Скульптура состоит из слегка изогнутых ребер, ослабевающих на середине боков. И на ребрах, и в промежутках между ними наблюдаются тонкие ребрышки. С возрастом скульптура ослабевает. Перегородочная линия сильно изрезанная, с трехраздельными лопастями и двураздельными седлами. Первая боковая лопасть несимметричная, длиннее сифональной.

Верхний сенон бассейна р. Пенжина. Типичный вид характерен для кампана и, главным образом, маастрихта Индии и Европы.

Pachydiscus subcompressum Matumoto

Табл. 70, фиг. 1 а—б

Раковина крупная, дисковидная, с нешироким пупком. Бока почти плоские, вентральная сторона узко дугообразная.

Поверхность раковины покрыта многочисленными, довольно грубыми ребрами, затухающими на середине боков. Перегородочная линия имеет трехраздельные лопасти и двураздельные седла.

Верхняя часть красноярковской свиты о. Сахалин. Вне СССР маастрихт Японии.

Pachydiscus (Neodesmoceras) japonicus Matumoto

Табл. 68, фиг. 1; табл. 69, фиг. 1 и 2

Раковина большая, дисковидная, с умеренно узким ($\frac{П}{Д} = 0,20—0,24$) пупком. Бока слабо выпуклые, вентральная сторона дугообразная, поперечное сечение оборота эллиптическое ($\frac{В}{Д} = 0,50; \frac{T}{Д} = 0,32$). Поверхность раковины почти гладкая, исключая слабые редкие пережимы и тонкие ребрышки. Перегородочная линия состоит из двураздельных седел и трехраздельных лопастей; первая боковая лопасть немного длиннее сифональной.

Верхний сенон Корякского хребта; красноярковская свита о. Сахалин.

Parallelodon cf. sachalinensis Schmidt

Табл. 70, фиг. 4

Раковина маленькая, равносторонняя, неравносторонняя, косо-удлиненная. Створки выпуклые. Спинной край длинный и прямой, нижний почти параллелен ему. Передний и задний края короткие и направлены косо назад. Макушки большие, широкие, загнутые внутрь. От макушки к задне-нижнему краю проходит округлый килевой перегиб, отделяющий вогнутую задне-спинную площадку. Скульптура состоит из концентрических линий и из многочисленных плоских радиальных ребрышек. Связочная площадка узкая, вытянутая, исчерченная бороздками. Замок состоит из многочисленных коротких вертикальных центральных зубов и длинных, примерно параллельных спинному краю, боковых зубов.

Верхний мел, преимущественно сенон, северо-восточного побережья Пенжинской губы, бассейна р. Анадырь, Пекульнейского и Корякского хребтов, о. Сахалин. Вне СССР верхний мел (главным образом, сенон) Японии.

Lopatinia kamtschatica Liwerowskaja

Табл. 71, фиг. 1 а—в

Раковина средней величины, округло-треугольная, умеренно выпуклая. Передне-спинной край косо направляется вниз

и переходит в короткий, выпуклый передний край; нижний край слабо выпуклый; задний и задне-спинной края почти прямые. Макушки большие, почти центральные, загнутые внутрь и нависающие над замочным краем. От макушки к задне-нижнему краю проходит округлый килевой перегиб. На поверхности раковины кроме следов нарастания наблюдается концентрическая волнистость. Дугообразный замочный край несет 10—16 вертикальных зубов в центре и по два длинных зуба по бокам. Под макушкой находится угловато исчерченная треугольная арка.

Верхний мел северо-восточного побережья Пенжинской губы, бассейнов рек Пенжина и Анадырь, северо-восточной части Корякского хребта.

Apiotrigonia minor (Yabe et Naga o)

Табл. 70, фиг. 3

Раковина маленькая, округло-треугольная, умеренно выпуклая. Полукруглый передний край плавно переходит в широко изогнутый нижний край; сифональный край округлый и узкий, верхний — слегка вогнут. Выдающиеся макушки сдвинуты вперед и слегка повернуты внутрь и назад. Переднее поле покрыто радиальными и концентрическими ребрами; радиальные ребра идут от ареи вниз почти перпендикулярно нижнему краю, причем первые пять ребер не доходят до него; концентрические ребра параллельны нижнему краю. Арея узкая, с концентрическими штрихами. Щиток удлиненный, плоский, покрыт раздваивающимися ребрышками.

Верхний мел бассейна р. Анадырь, северо-восточного побережья Пенжинской губы, северо-восточной части Корякского хребта, о. Сахалин.

Apiotrigonia subjimboi Migoljubov

Табл. 70, фиг. 2 а—в

Раковина маленькая, треугольно-овальная, умеренно выпуклая. Выпуклый передний край плавно переходит в широко округлый нижний край; сифональный край узкий и округлый, верхний — отчетливо вогнутый. Макушки небольшие, слегка загнутые внутрь и назад. Переднее поле раковины покрыто концентрическими складками и довольно широкими радиальными ребрами, идущими от верхнего края к нижнему, причем передние из них не достигают нижнего края. Арея узкая, выпуклая, с концентрическими штрихами. Широкий вогнутый щиток покрыт изогнутыми ребрышками.

Верхний мел Северной Камчатки.

Apiotrigonia amitgiensis Vereshagin

Табл. 71, фиг. 2; табл. 73, фиг. 2 а—б

Раковина средней величины, удлиненная (крыловидная), умеренно выпуклая. Короткий выпуклый передний край плавно соединяется с длинным, широко дугообразным нижним краем; слегка вогнутый верхний край соединяется с нижним под острым углом. Переднее поле раковины покрыто довольно грубыми концентрическими и радиальными ребрами. Последние идут от ареи к нижнему краю вначале отвесно, а затем наклонно; передние из них не доходят до нижнего края, а задние — наоборот — начинаются на некотором расстоянии от ареи. Арея покрыта концентрическими штрихами и имеет отчетливую срединную бороздку. Щиток вогнутый, узкий, с косыми ребрышками.

Верхний мел Северной Камчатки.

Quadratrigonia (*Yeharella*) aff. *kimurai* (Tokunaga et Shimizu)

Табл. 73, фиг. 1 а—в

Раковина большая, массивная, овально-прямоугольная, умеренно выпуклая. Передний и нижний края слабо выпуклые, сифональный край более узко изогнутый, верхний край прямой. Макушки сильно смещены вперед и слегка повернуты назад. На всей поверхности раковины отчетливо выражена концентрическая струйчатость. Переднее поле несет 13—14 радиальных изогнутых бугорчатых ребер. Арея широкая, щиток овальный с редко расположенными ребрышками.

Форма отличается от типичного вида большей смещенностью макушек вперед, большим числом ребер и меньшей их массивностью.

Верхний мел бассейна р. Пенжины и северо-восточной части Корякского хребта. Типичная форма характерна для сантона — кампана Японии.

Mytilus lanceolatus Schmidt

Табл. 71, фиг. 3 а—в

Раковина небольшая, равностворчатая, ланцетовидная. Передний край фактически совпадает с макушкой; брюшной край слабо вогнутый, задний и спинной образуют широкую дугу. От макушки к нижне-заднему краю проходит отчетливый киль, отделяющий вогнутую брюшную площадку от остальной части раковины. Поверхность покрыта тонкими концентрическими струйками нарастания.

Верхний мел Северной Камчатки.

Inoceramus tychljawajamensis Vereshagin

Табл. 72, фиг. 1 а—в

Раковина средних или крупных размеров, косо-овальная, очень неравносторчатая, с высотой, превышающей длину. Левая створка выпуклая, с вздутой примакушечной частью и килевидным перегибом, проходящим вдоль переднего края. Передний край широко округлый, нижний — более узко дугобразный, задний — почти прямой. Небольшое крыло редко сохраняется. Макушка высокая, нависающая над правой створкой, клювовидно загнутая внутрь и вперед. Апикальный угол равен 80°. Правая створка менее скошенная, плоская, с маленькой краевой макушкой. Поверхность створок покрыта нечеткими концентрическими ребрами.

Верхний мел бассейна р. Пенжины.

Kossmaticeras kamtschaticus Vereshagin sp. nov.

Табл. 74, фиг. 1, 2 а—в и 5

Раковина небольшая, дисковидная, инволютная ($\frac{П}{Д} = 0,18—0,21$). Бока слабо выпуклые, вентральная сторона дугобразная, поперечное сечение оборота овальное. Поверхность раковины покрыта частыми, резкими, острыми, изогнутыми ребрами, ветвящимися вблизи пупкового края на две и более ветви. Наблюдаются глубокие и широкие S-образно изогнутые пережимы, срезающие подходящие к ним сзади ребра. Перегородочная линия тонко рассеченная; первая боковая лопасть почти симметрично трехраздельная и немного длиннее сифональной; седла двураздельные.

Верхний мел бассейна р. Пенжины.

Natalites penjiensis Vereshagin sp. nov.

Табл. 73, фиг. 4

Раковина небольшая, дисковидная, полуэволютная ($\frac{П}{Д} = 0,30$). Бока слабо выпуклые, поперечное сечение оборота овальное. Поверхность раковины покрыта почти прямыми, частыми, тонкими ребрами, которые на жилой камере становятся более грубыми и редкими. Почти все ребра выходят пучками из пупковых бугорков. При диаметре раковины 50 мм на обороте присутствуют пять пережимов, срезающих подходящие к ним сзади ребра. Перегородочная линия тонко изрезанная.

Верхний мел бассейна р. Пенжины.

Brahmaites brahma Forbes

Табл. 73, фиг. 3 а—в

Раковина средних размеров, вздутая, с нешироким пупком в юной стадии и более уплощенная и эволютная во взрослом состоянии. Бока выпуклые, вентральная сторона широко дугобразная. Поверхность раковины в юной стадии покрыта тонкими ребрышками, выходящими пучками (по 3—4 ребра) из пупковых бугорков. На обороте присутствуют гять пережимов, направленных вперед и срезающих сзади тонкие ребрышки. При дальнейшем росте ребра исчезают, а пупковые бугорки удлиняются. Пережимы начинают сопровождаться сильными валиками. Перегородочная линия имеет симметричные двураздельные седла и остроконечные лопасти. Первая боковая лопасть длиннее сифональной.

Верхний мел бассейна р. Пенжины.

Proplaticeras ? sp.

Табл. 74, фиг. 3 а—б и 4

Раковина небольших и средних размеров, дисковидная, с очень узким пупком. Бока слабо выпуклые, вентральная сторона заостренная, килевидная; поперечное сечение оборота узкое, высокое, копьевидное. Поверхность раковины почти гладкая, с распылчатыми ребрышками и продольными линиями. Перегородочная линия тонко рассеченная; в верхней части бока выделяются три лопасти, из которых третья является истинной первой боковой лопастью, а две другие — адвентивными. Присутствуют многочисленные вспомогательные элементы. Сильная рассеченность перегородочной линии заставляет сомневаться в правильном определении рода.

Верхний мел бассейна р. Пенжины.

Список печатной литературы по меловой фауне Северо-Востока СССР

1. Атлас руководящих форм ископаемых фаун СССР, том X и XI, Госгеолтехиздат, М., 1949.
2. Бодылевский В. И. О некоторых фаунах из меловых отложений Колымского края и Западной Камчатки. Материалы по изучению Охотско-Колымского края, 1937, сер. 1, геол. и геоморф., вып. 5.
3. Верещагин В. Н. Зональное деление верхнемеловых отложений севера Тихоокеанской биогеографической провинции. Сборник «Геология Корякского нагорья», ГНТИ литературы по горному делу, М., 1963.
4. Ефимова А. Ф. Некоторые формы ископаемой фауны мезозойских отложений восточного берега Пенжинской губы. Материалы по геол. и полезн. ископ. Северо-Востока СССР, 1955, вып. 9.
5. Ефимова А. Ф. Нижнемеловая фауна района Чаунской губы. Материалы по геол. и полезн. ископ. Северо-Востока СССР, 1958, вып. 13.
6. Ефимова А. Ф. Нижнемеловые пеллециподы из бассейна р. Еропол. Материалы по геол. и полезн. ископ. Северо-Востока СССР, 1963, вып. 16.
7. Ливеровская Е. В. Стратиграфия и фауна верхнемеловых отложений восточного берега Пенжинской губы. Палеонтолог. сборник 2, 1959, вып. 154. Тр. ВНИГРИ.
8. Пергамент М. А. Стратиграфия верхнемеловых отложений Северо-Западной Камчатки. Тр. геол. инст., вып. 39. Изд. АН СССР, М., 1961.
9. Сакс В. Н., Шульгина Н. И. Меловая система в Сибири. Предложения о ярусном и зональном расчленении. «Геология и геофизика» 1962, № 10. Изд. Сиб. отд. АН СССР.

Указатель изображенных в атласе форм

Составлен в систематическом порядке

Класс BIVALVIA — двустворчатые

ОТРЯД TAXODONTA

Семейство Ledidae Dall

1. *Nuculana mariae* (Orb.) — табл. 15, фиг. 4, стр. 30.

Семейство Cucullaeidae Stewart

2. *Lopatinia kamtschatica* Liw. — табл. 71, фиг. 1a—в, стр. 57.

Семейство Paralleodontidae Dall

3. *Paralleodon* cf. *sachalinensis* Schmidt — табл. 70, фиг. 4, стр. 57.

Семейство Glycymeridae Thiele

4. *Glycymeris veatchii* Gabb — табл. 44, фиг. 2a—б, 3 и 4, стр. 45.

ОТРЯД ANISOMYARIA

Семейство Aucellidae Fischer

5. *Aucella fischeriana* (Orb.) — табл. 1, фиг. 1a—в, стр. 15.
6. *A. russiensis* Pavl. — табл. 1, фиг. 2a—в, 3a—в, стр. 15.
7. *A. jasikovi* Pavl. — табл. 1, фиг. 4a—в, стр. 16.
8. *A. stantoni* Pavl. — табл. 1, фиг. 6a—б, стр. 17.
9. *A. krotovi* Pavl. — табл. 1, фиг. 5a—б, стр. 16.
10. *A. lahusei* Pavl. — табл. 2, фиг. 1a—б, стр. 17.
11. *A. tenuicollis* Pavl. — табл. 2, фиг. 2a—в, 3a—в, 4, стр. 18.
12. *A. aff. robusta* Pavl. — табл. 2, фиг. 5a—в, стр. 18.
13. *A. circula* Parak. sp. nov. — табл. 4, фиг. 2a—в, стр. 20.
14. *A. unschensis* Pavl. — табл. 4, фиг. 4a—в, стр. 21.
15. *A. cf. terebratuloides* Lah. — табл. 4, фиг. 3a—б, стр. 21.
16. *A. volgensis* Lah. — табл. 3, фиг. 1a—в, стр. 19.
17. *A. bulloides* Lah. — табл. 5, фиг. 1a—в, стр. 22.
18. *A. okensis* Pavl. — табл. 3, фиг. 2a—в, стр. 19.
19. *A. aff. okensis* Pavl. — табл. 4, фиг. 1a—в, стр. 20.
20. *A. elliptica* Pavl. — табл. 4, фиг. 5a—б, стр. 20.
21. *A. keyserlingi* Lah. — табл. 5, фиг. 2a—в, стр. 22.
22. *A. visingensis* Sok. — табл. 5, фиг. 3a—в, стр. 23.
23. *A. uncitoides* Pavl. — табл. 6, фиг. 3a—в, стр. 24.
24. *A. crassicollis* Keys. — табл. 7, фиг. 1a—б, 2, 3, 4, стр. 24.
25. *A. crassa* Pavl. — табл. 6, фиг. 2a—в, стр. 24.
26. *A. sublaevis* Keys. — табл. 7, фиг. 5a—в, стр. 25.
27. *A. cf. inflata* Toul. — табл. 6, фиг. 1a—в, стр. 23.
28. *Aucellina pekulnejensis* Ver. sp. nov. — табл. 13, фиг. 1a—в, стр. 28.
29. *A. ucturiensis* Ver. sp. nov. — табл. 13, фиг. 2a—в; табл. 14, фиг. 1 и 2, стр. 29.

30. *A. kryshstofovitschi* Ver. sp. nov.—табл. 13, фиг. 3а—б; табл. 14, фиг. 3а—в, стр. 29.
 31. *A. anadyrensis* Ver. sp. nov.—табл. 14, фиг. 4 и 5, стр. 29.
 32. *A. polevoi* Ver. sp. nov.—табл. 14, фиг. 7, стр. 30.
 33. *A. aptiensis* Orb.—табл. 14, фиг. 6, 8 и 9, стр. 30.
 34. *A. cf. caucasica* Buch.—табл. 15, фиг. 1 и 2, стр. 30.

Семейство *Inoceramidae* Heinz

35. *Inoceramus paraketzovi* Elim.—табл. 10, фиг. 1, стр. 26.
 36. *I. anglicus* Woods.—табл. 16, фиг. 3, стр. 32.
 37. *I. concenricus* Park.—табл. 16, фиг. 4а—б; табл. 17, фиг. 1а—в, стр. 32.
 38. *I. yabei* Nagao et Mat.—табл. 21, фиг. 2а—в, стр. 35.
 39. *I. nipponicus* Nagao et Mat.—табл. 22, фиг. 1а—в, 2а—б и 3, стр. 36.
 40. *I. tenuistriatus* Nagao et Mat.—табл. 24, фиг. 1а—б и 2, стр. 37.
 41. *I. korjakensis* Ter.—табл. 23, фиг. 1а—в, стр. 36.
 42. *I. cf. labiatus* (Schloth.)—табл. 24, фиг. 3, стр. 37.
 43. *I. nipponicus* Nagao et Mat. var. *costatus* Nagao et Mat.—табл. 28, фиг. 3, стр. 39.
 44. *I. nipponicus* Nagao et Mat. aff. var. *costatus* Nagao et Mat.—табл. 27, фиг. 4а—б; табл. 28, фиг. 1, стр. 39.
 45. *I. arcticus* Ver. sp. nov.—табл. 28, фиг. 4 и 5а—б, стр. 40.
 46. *I. lamarcki* Park.—табл. 29, фиг. 1а—в, стр. 40.
 47. *I. iburensis* Nagao et Mat.—табл. 30, фиг. 1; табл. 31, фиг. 1; табл. 32, фиг. 1, стр. 41.
 48. *I. hobetsensis* Nagao et Mat.—табл. 28, фиг. 2, стр. 40.
 49. *I. uwajimensis* Yeh.—табл. 37, фиг. 3 и 4; табл. 38, фиг. 1а—в; табл. 39, фиг. 1а—в; табл. 40, фиг. 1; табл. 41, фиг. 1, 2а—б; табл. 42, фиг. 1а—в; табл. 43, фиг. 1; табл. 44, фиг. 1, стр. 45.
 50. *I. m. hoensis* Mat.—табл. 46, фиг. 1а—б, стр. 46.
 51. *I. paumannii* Yok.—табл. 46, фиг. 2 и 3, стр. 47.
 52. *I. yokoymai* Nagao et Mat.—табл. 48, фиг. 1а—б, стр. 47.
 53. *I. nagaon Zonova*—табл. 47, фиг. 1а—в, стр. 47.
 54. *I. tuchljawajamensis* Ver.—табл. 72, фиг. 1а—в, стр. 60.
 55. *I. schmidti* Mich.—табл. 59, фиг. 1, стр. 52.
 56. *I. ex gr. schmidti* Mich.—табл. 60, фиг. 1; табл. 61, фиг. 1, стр. 52.
 57. *I. sachalinensis* Sok.—табл. 61, фиг. 2а—б, стр. 52.
 58. *I. orientalis* Sok.—табл. 61, фиг. 3; табл. 62, фиг. 1а—б, стр. 53.
 59. *I. elegans* Sok.—табл. 62, фиг. 2а—в, стр. 53.
 60. *I. aff. balticus* Boehm.—табл. 63, фиг. 1, стр. 54.
 61. *I. kusroensis* Nagao et Mat.—табл. 63, фиг. 2, стр. 54.

Семейство *Pectinidae* Lamarck

62. *Entolium utokokense* Imlay.—табл. 16, фиг. 1 и 2, стр. 31.

Семейство *Mytilidae* Fleming

63. *Mytilus lanceolatus* Schmidt.—табл. 71, фиг. 3а—в, стр. 59.

ОТРЯД SCHIZODONTA

Семейство *Trigoniidae* Lamarck

64. *Quadratotrignia* (Yeharella) aff. *kimurai* (Tokun. et Shim.)—табл. 73, фиг. 1а—в, стр. 59.
 65. *Ariotrignia minor* (Yabe et Nagao)—табл. 70, фиг. 3, стр. 58.
 66. *A. subjimboi* Mir.—табл. 70, фиг. 2а—в, стр. 58.
 67. *A. amitgiensis* Ver.—табл. 71, фиг. 2; табл. 73, фиг. 2а—б, стр. 59.

ОТРЯД HETERODONTA

Семейство *Tancrediidae* Lycett

68. *Tancredia kurupana* Imlay.—табл. 15, фиг. 5 и 6, стр. 31.

ОТРЯД DESMODONTA

Семейство *Pleuromyidae* Zittel

69. *Pleuromya* sp.—табл. 15, фиг. 3а—в, стр. 31.

Класс CEPHALOPODA — головоногие

ОТРЯД AMMONITIDA

Семейство *Phylloceratidae* Zittel

70. *Hypophylloceras ramosum* Meek.—табл. 45, фиг. 1а—б, 2а—в, 3 и 4, стр. 46.
 71. *Phyllorachyceras ezoense* Yok.—табл. 64, фиг. 1 и 2а—б, стр. 54.

Семейство *Tetragonitidae* Hyatt

72. *Tetragonites duvalianus* Orb.—табл. 13, фиг. 4а—б, стр. 28.
 73. *Parajaubertella kawakitana* Mat.—табл. 27, фиг. 2а—б, 3, стр. 39.
 74. *Epigonoceras glabrum* Jimbo.—табл. 48, фиг. 2а—в и 3, стр. 48.

Семейство *Gaudryceratidae* Spath

75. *Gaudryceras penjiensis* Ver. sp. nov.—табл. 17, фиг. 2; табл. 18, фиг. 4а—б, стр. 32.
 76. *G. aff. varagurense* Kossmat.—табл. 49, фиг. 1а—б, стр. 48.
 77. *G. kamtschatskensis* Ver. sp. nov.—табл. 49, фиг. 2а—б, стр. 48.
 78. *G. tenuiliratum* Yabe var. *ornata* Yabe.—табл. 50, фиг. 1а—в и 2а—б; табл. 51, фиг. 1, стр. 49.
 79. *G. tenuiliratum* Yabe var. *infraquens* Yabe.—табл. 51, фиг. 2а—б, 3 и 4а—б, стр. 49.
 80. *G. denseplicatum* Jimbo.—табл. 52, фиг. 1а—б и 2, стр. 49.

Семейство *Turrilitidae* Meek

81. *Turrilites* sp.—табл. 20, фиг. 2а—б и 3, стр. 35.
 82. *T. costatus* Lam.—табл. 26, фиг. 1 и 4, стр. 38.
 83. *Hypphantoceras cf. reussianum* (Schlüter)—табл. 35, фиг. 1а—б, стр. 44.
 84. *Scalarites venustum* Yabe.—табл. 36, фиг. 1а—б, стр. 44.
 85. *S. scalaris* Jimbo.—табл. 35, фиг. 2а—б, стр. 44.
 86. *Nipponites mirabilis* Yabe.—табл. 37, фиг. 1а—б и 2, стр. 45.

Семейство *Diplomoceratidae* Spath

87. *Polyptychoceras pseudogaultinum* (Yok.)—табл. 58, фиг. 2а—б и 3, стр. 51.
 88. *Subptychoceras* sp.—табл. 58, фиг. 4, стр. 52.
 89. *Pseudohybeloceras* sp.—табл. 64, фиг. 3, стр. 55.
 90. *Neancyloceras aff. pseudoarmatum* Schlüter.—табл. 65, фиг. 1а—б, стр. 55.

Семейство *Craspeditidae* Spath

91. *Tollia* sp.—табл. 7, фиг. 6, стр. 25.

Семейство *Simbirskitidae* Spath

92. *Simbirskites cf. umbonatus* Lah.—табл. 10, фиг. 2, стр. 27.
 93. *S. speetonensis* Young et Bird.—табл. 10, фиг. 3, стр. 27.

Семейство *Ancyloceratidae* Meek

94. *Aspinoceras kajgorodzevi* Ver. sp. nov.—табл. 12, фиг. 1, 2 и 3, стр. 28.

Семейство Desmocerotidae Zittel

95. Beudanticeras sp.—табл. 19, фиг. 1; табл. 20, фиг. 1, стр. 34.
96. Puzosia aff. planulata Sow.—табл. 25, фиг. 1а—б и 2, стр. 37.
97. Jimboiceras planulatiforme (Jimbo) —табл. 33, фиг. 1 и 2, стр. 41.
98. Mezoruzosia indopacifica (Kossmat) —табл. 53, фиг. 2, стр. 50.
99. Neoruzosia ishikawai (Jimbo) —табл. 53, фиг. 1а—б; табл. 54, фиг. 1 и 2, стр. 50.

Семейство Kossmaticeratidae Spath

100. Holcodiscoides papillatus Stol.—табл. 18, фиг. 1, стр. 34.
101. Mikasaites matsumotoi Ver. sp. nov.—табл. 26, фиг. 2а—в; табл. 27, фиг. 1а—в, стр. 38.
102. Kossmaticeras kamtschaticus Ver. sp. nov.—табл. 74, фиг. 1, 2а—в и 5, стр. 60.
103. Brahmaites brahma Forbes —табл. 73, фиг. 3а—в, стр. 61.
104. Natalites penjiensis Ver. sp. nov.—табл. 73, фиг. 4, стр. 60.

Семейство Pachydiscidae Spath

105. Eurachydiscus haradai Jimbo —табл. 55, фиг. 1; табл. 57, фиг. 1, стр. 50.
106. Aparachydiscus paumanni Yok.—табл. 56, фиг. 1; табл. 57, фиг. 2; табл. 58, фиг. 1, стр. 51.
107. Canadoceras compressum Mat.—табл. 66, фиг. 1а—б, стр. 55.
108. Pachydiscus neubergicus Hauer —табл. 66, фиг. 2, стр. 56.
109. P. aff. gollevillensis Orb.—табл. 67, фиг. 1а—в, стр. 56.
110. P. subcompressum Mat.—табл. 70, фиг. 1а—б, стр. 56.
111. P. (Neodesmoceras) japonicus Mat.—табл. 68, фиг. 1; табл. 69, фиг. 1 и 2, стр. 57.

Семейство Hoplitidae H. Douville

112. Sonneratia sp.—табл. 18, фиг. 2а—в, стр. 33.
113. Cleoniceras sp.—табл. 18, фиг. 3а—б и 6, стр. 33.
114. Neogastrolites americanus (Reeside et Weymouth) —табл. 18, фиг. 5, стр. 34.

Семейство Acanthoceratidae Grossouvre

115. Acanthoceras ex gr. rotomagense Defrans —табл. 26, фиг. 3а—в, стр. 38.

Семейство Dipoloceratidae Spath

116. Mortonicerias sp.—табл. 21, фиг. 1а—б, стр. 35.

Семейство Scaphitidae Meek

117. Scaphites planus Yabe —табл. 33, фиг. 3а—б, стр. 41.
118. S. aff. planus Yabe —табл. 34, фиг. 1а—в, стр. 42.
119. S. perrini Anderson —табл. 34, фиг. 2а—в и 3, стр. 42.
120. S. puerqulus Jimbo —табл. 33, фиг. 4, стр. 42.
121. S. cf. pseudoaequalis Yabe —табл. 34, фиг. 4, 5а—б и 6, стр. 43.
122. S. aff. gracilis Yabe —табл. 34, фиг. 7а—б, стр. 43.
123. S. sp.—табл. 34, фиг. 8, стр. 43.

Семейство Placenticeratidae Hyatt

124. Proplacenticerias ? sp.—табл. 74, фиг. 3а—б и 4, стр. 61.

ОТРЯД DECAPODA

Семейство Belemnitidae Orbigny

125. Acroteuthis cf. lateralis (Phill.) —табл. 9, фиг. 1а—в, стр. 26.
126. Spanioteuthis sp. II —табл. 9, фиг. 2а—в, стр. 26.
127. Cylindroteuthis (Arctoteuthis) cf. subporrecta Bodylevsky —табл. 11, фиг. 2а—б, стр. 27.
128. Spanioteuthis sp. I —табл. 8, фиг. 1а—в, стр. 25.
129. Lagonibelus (Lagonibelus) subrectangulata Blüthgen —табл. 11, фиг. 1а—в, стр. 27.

ТАБЛИЦЫ ИЗОБРАЖЕНИЙ МЕЛОВОЙ ФАУНЫ И ОБЪЯСНЕНИЯ К НИМ

БОЛЬШИНСТВО ИЗОБРАЖЕНИЙ ДАНО В НАТУРАЛЬНУЮ ВЕЛИЧИНУ;
ТАМ, ГДЕ ИЗОБРАЖЕНИЕ УВЕЛИЧЕНО ИЛИ УМЕНЬШЕНО,
ЭТО УКАЗЫВАЕТСЯ В ОБЪЯСНЕНИЯХ К ТАБЛИЦАМ

ТАБЛИЦА 1

- Фиг. 1а—в. *Aucella fischeriana* (Orb.) Стр. 15
a — левая створка; *b* — правая створка; *в* — вид сзади. Бас-
 сейн р. Майн; нижневожский ярус — нижний валанжин
 (В. Ф. Белый, 1959).
- Фиг. 2а—в. *Aucella russiensis* Pavl. Стр. 15
a — левая створка; *b* — правая створка; *в* — вид сзади. Бас-
 сейн р. Б. Анюй; нижневожский ярус — нижний валанжин
 (Г. А. Поданев, 1962).
- Фиг. 3а—в. То же Стр. 15
a — левая створка; *b* — правая створка; *в* — вид сзади. Бас-
 сейн р. Б. Анюй; нижневожский ярус — нижний валанжин
 (К. В. Паракецов, 1959).
- Фиг. 4а—в. *Aucella jasikovi* Pavl. Стр. 16
a — левая створка; *b* — правая створка; *в* — вид сзади. Севе-
 ро-восточная часть Корякского хребта; верхневожский
 ярус — нижний валанжин (Г. П. Терехова, 1961).
- Фиг. 5а—б. *Aucella krotovi* Pavl. Стр. 16
a — левая створка; *b* — правая створка. Р. Перевальная (бас-
 сейн р. Анадырь); верхневожский ярус — нижний валан-
 жин (К. В. Паракецов, 1960).
- Фиг. 6а—б. *Aucella stantoni* Pavl. Стр. 17
a — левая створка; *b* — правая створка. Р. Перевальная (бас-
 сейн р. Анадырь); верхневожский ярус — нижний валан-
 жин (К. В. Паракецов, 1960).

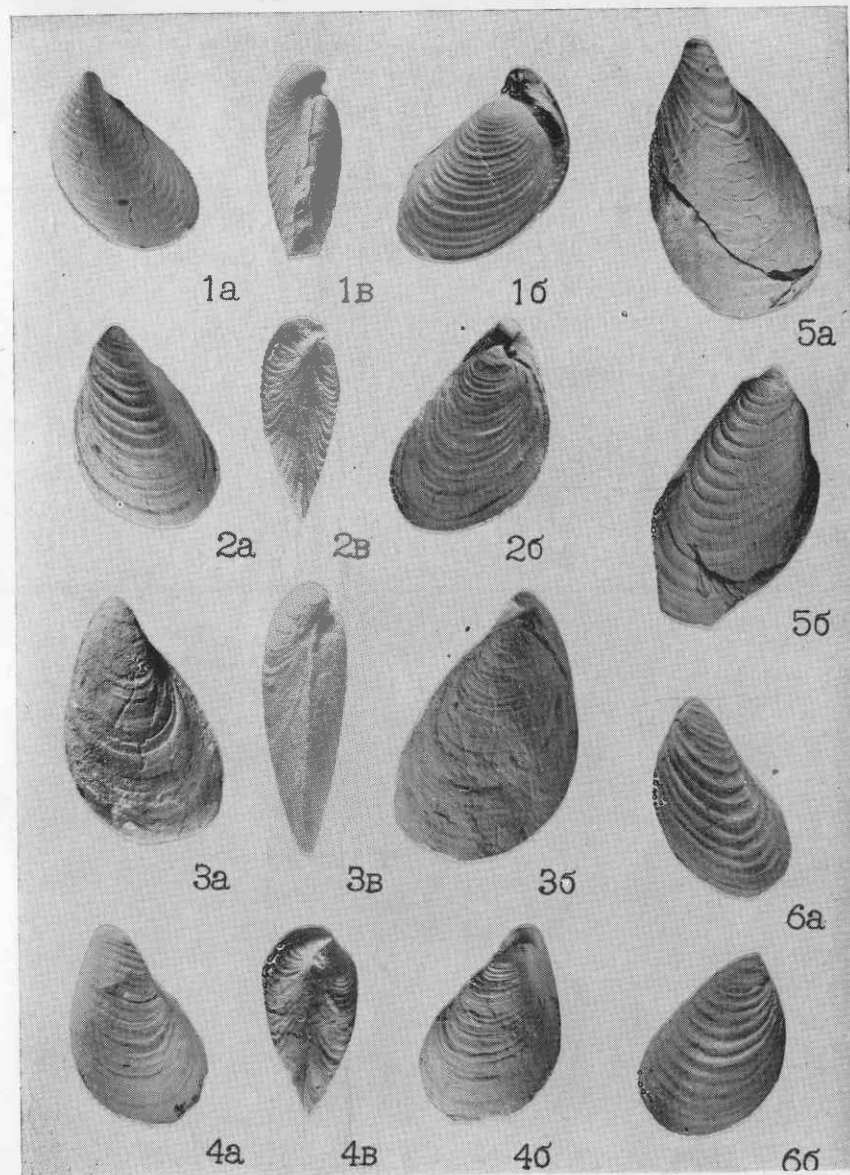


ТАБЛИЦА 2

- Фиг. 1а—б. *Aucella lahusei* Pavl. Стр. 17
 а — левая створка; б — правая створка. Р. Перевальная (бас-
 сейн р. Анадырь); нижневолжский ярус — нижний валанжин
 (К. В. Паракецов, 1960).
- Фиг. 2а—в. *Aucella tenuicollis* Pavl. Стр. 18
 а — левая створка; б — правая створка; в — вид сзади. Бас-
 сейн р. Пегтымель; нижневолжский ярус — нижний валан-
 жин (М. Е. Городинский, 1960).
- Фиг. 3а—в. То же Стр. 18
 а — левая створка; б — правая створка; в — вид сзади. Бас-
 сейн р. Майн; нижневолжский ярус — нижний валанжин
 (В. Ф. Белый, 1959).
- Фиг. 4. То же Стр. 18
 Левая створка. Бассейн р. Майн; нижневолжский ярус —
 нижний валанжин (В. Ф. Белый, 1959).
- Фиг. 5а—в. *Aucella aff. robusta* Pavl. Стр. 18
 а — левая створка; б — правая створка; в — вид сзади. Р. Пе-
 ревальная (бассейн р. Анадырь); нижний и средний валан-
 жин (К. В. Паракецов, 1960).

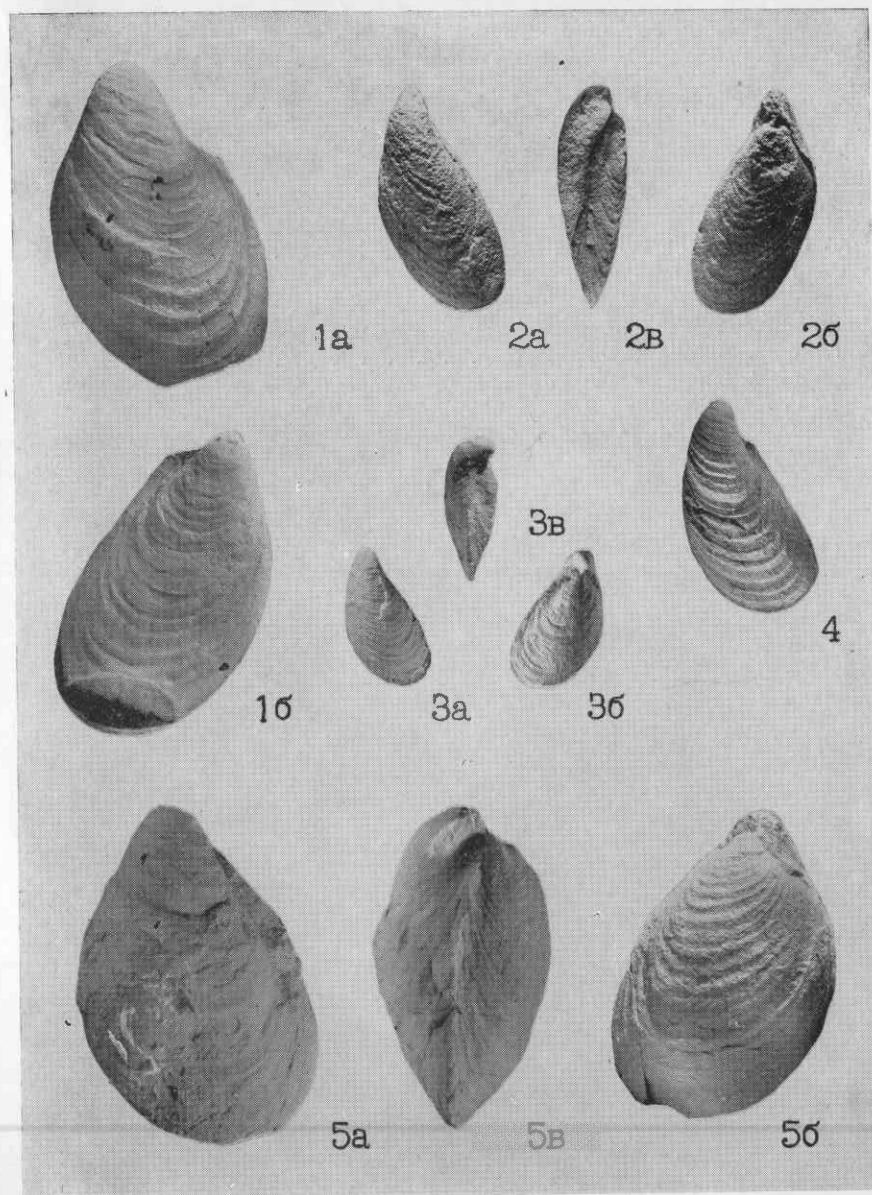


ТАБЛИЦА 3

- Фиг. 1а—в. *Aucella volgensis* Lah. Стр. 19
 а — левая створка; б — правая створка; в — вид спереди.
 Северо-восточная часть Корякского хребта; нижний и сред-
 ний валанжин (В. И. Богдаева, 1961).
- Фиг. 2а—в. *Aucella okensis* Pavl. Стр. 19
 а — левая створка; б — правая створка; в — вид сзади.
 Р. Майн; нижний и средний валанжин (В. Ф. Белый, 1959).

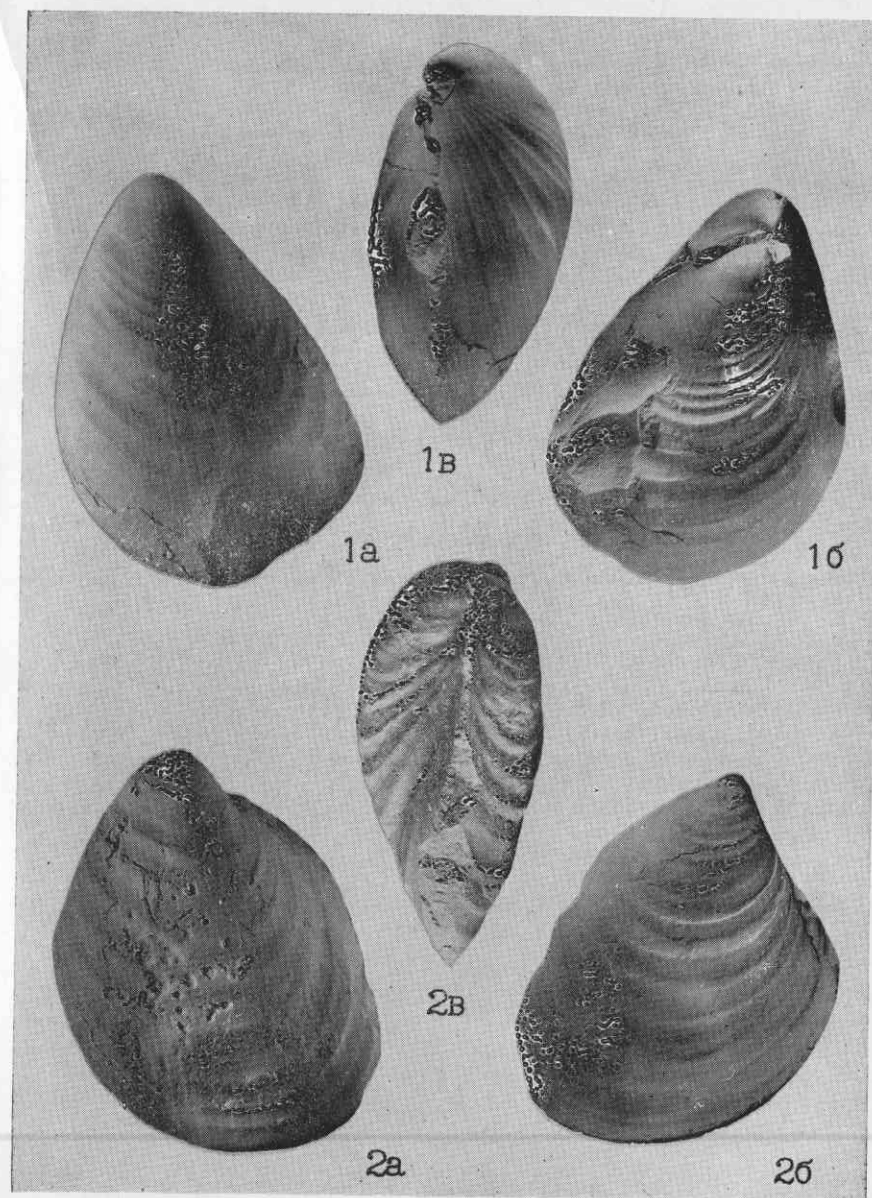


ТАБЛИЦА 4

- Фиг. 1а—в. *Aucella* aff. *okensis* Pavl. Стр. 20
 а — левая створка; б — правая створка; в — вид спереди.
 Бассейн р. Майн; верхневолжский ярус — нижний валанжин
 (В. Ф. Белый, 1959).
- Фиг. 2а—в. *Aucella* *circula* Parak. sp. nov. Стр. 20
 а — левая створка; б — правая створка; в — вид сзади. Бас-
 сейн р. Пегтымель; нижневолжский ярус — нижний валан-
 жин (М. Е. Городинский, 1960).
- Фиг. 3а—б. *Aucella* cf. *terebratuloides* Lah. Стр. 21
 а — левая створка; б — правая створка. Северо-восточная
 часть Корякского хребта; нижневолжский ярус — средний
 валанжин (Г. П. Терехова, 1961).
- Фиг. 4а—в. *Aucella* *unschensis* Pavl. Стр. 21
 а — левая створка; б — правая створка; в — вид сзади. Бас-
 сейн р. Б. Анюй; нижний и средний валанжин (Б. Ф. Па-
 лымский, 1962).
- Фиг. 5а—б. *Aucella* *elliptica* Pavl. Стр. 20
 а — левая створка; б — правая створка. Северо-восточная
 часть Корякского хребта; нижний и средний валанжин
 (Г. П. Терехова, 1961).

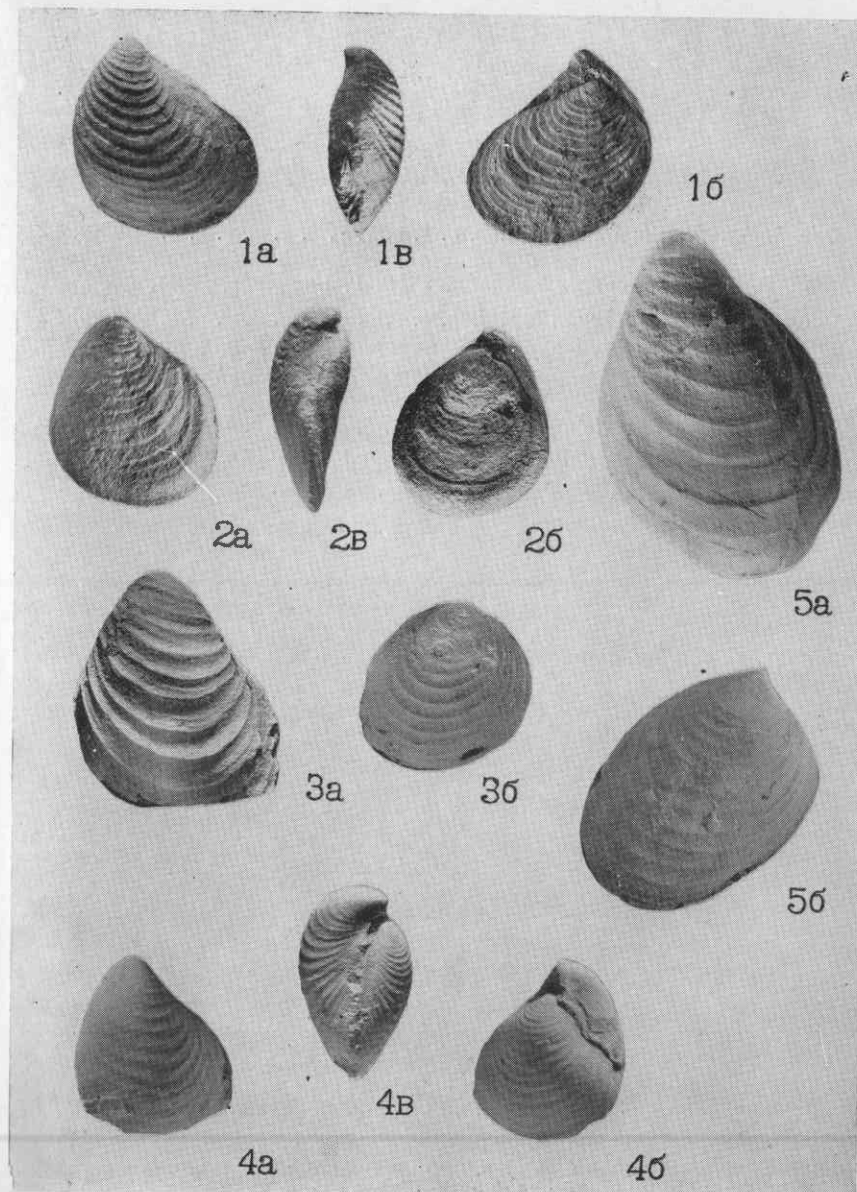


ТАБЛИЦА 5

- Фиг. 1а—в. *Aucella bulloides* Lah. Стр. 22
 а — левая створка; б — правая створка; в — вид спереди.
 Р. Анадырь; средний валанжин (В. Г. Кальянов, 1961).
- Фиг. 2а—в. *Aucella keyserlingi* Lah. Стр. 22
 а — левая створка; б — правая створка; в — вид спереди.
 Бассейн р. М. Анюй; средний валанжин (В. В. Гулевич, 1959).
- Фиг. 3а—в. *Aucella visingensis* Sok. Стр. 23
 а — левая створка; б — правая створка; в — вид сзади. Бас-
 сейн р. М. Анюй; средний валанжин (В. В. Гулевич, 1959).

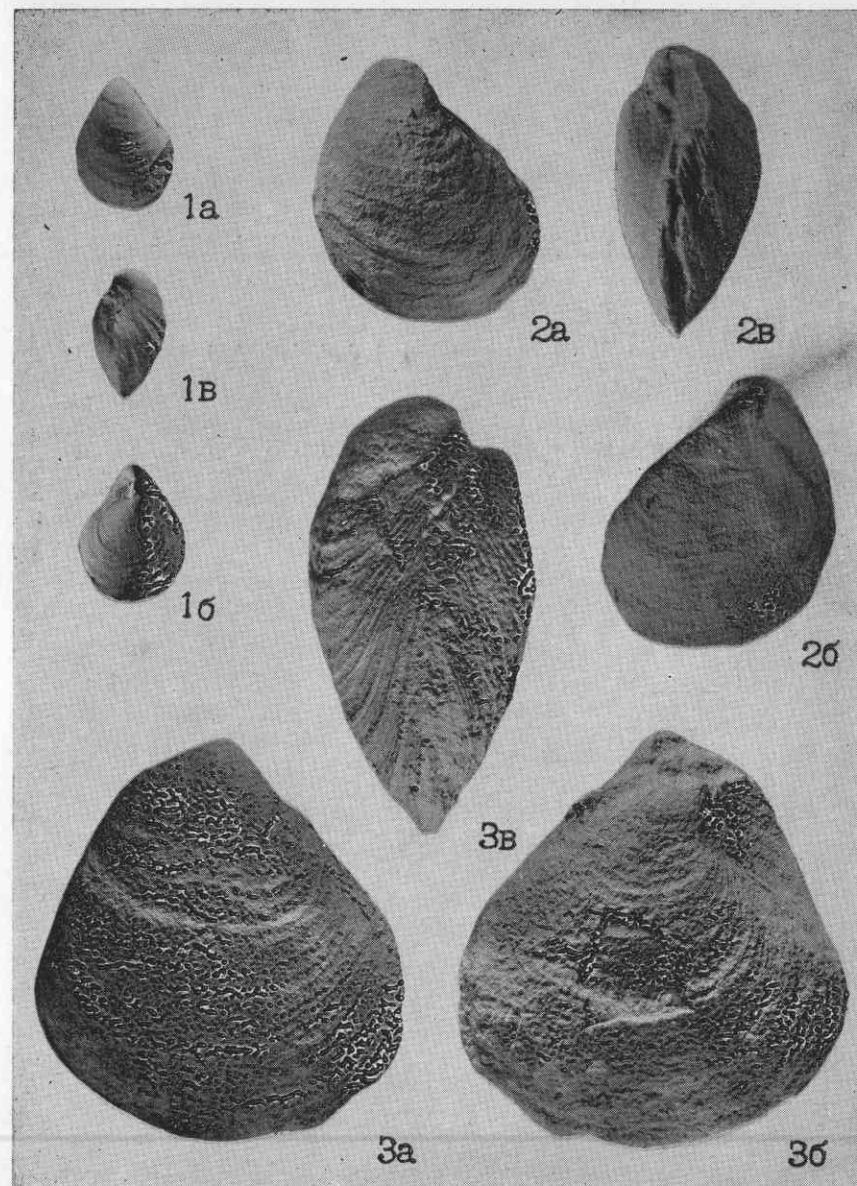


ТАБЛИЦА 6

- Фиг. 1а—в. *Aucella cf. inflata* Toula Стр. 23
a — левая створка; *b* — правая створка; *в* — вид сзади. Бас-
 сейн р. Майн; средний и верхний валанжин (В. Ф. Белый,
 1959).
- Фиг. 2а—в. *Aucella crassa* Pavl. Стр. 24
a — левая створка; *b* — правая створка; *в* — вид сзади.
 Р. Майн; средний и верхний валанжин (Г. Г. Кайгородцев,
 1961).
- Фиг. 3а—в. *Aucella uncitoides* Pavl. Стр. 24
a — левая створка; *b* — правая створка; *в* — вид сзади. Р. Пе-
 ревальная (бассейн р. Анадырь); средний и верхний валан-
 жин (К. В. Парагенов, 1960).

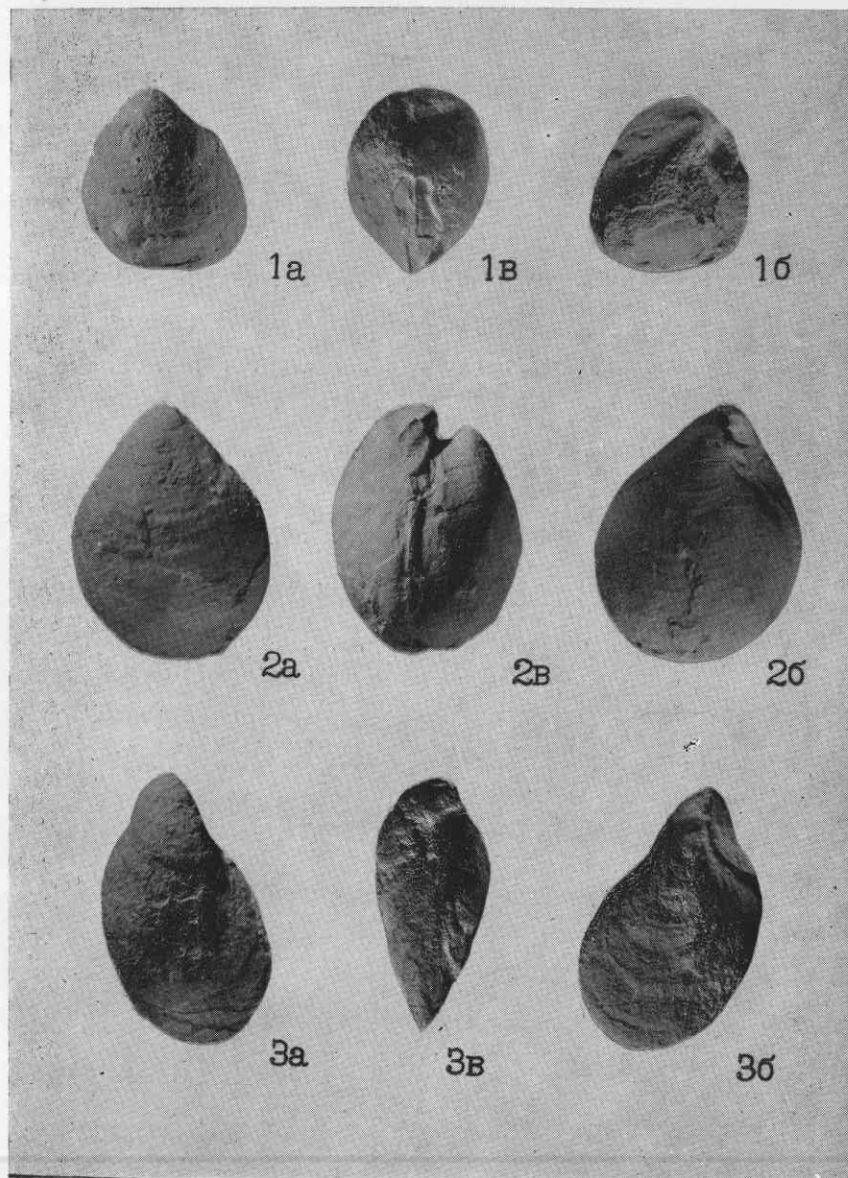


ТАБЛИЦА 7

- Фиг. 1а—б. *Aucella crassicollis* Keys. Стр. 24
 а — левая створка; б — вид спереди. Хр. Пекульней; верхний валанжин — готерив (?) (В. А. Захаров, 1960).
- Фиг. 2. То же Стр. 24
 Левая створка. Северо-восточная часть Корякского хребта; верхний валанжин — готерив (?) (Г. П. Терехова, 1961).
- Фиг. 3. То же Стр. 24
 Правая створка. Хр. Пекульней; верхний валанжин — готерив (?) (В. А. Захаров, 1961).
- Фиг. 4. То же Стр. 24
 Правая створка. Хр. Пекульней; верхний валанжин — готерив (?) (В. А. Захаров, 1960).
- Фиг. 5а—в. *Aucella sublaevis* Keys. Стр. 25
 а — левая створка; б — правая створка; в — вид сзади. Северо-восточное побережье Пенжинской губы; верхний валанжин — готерив (?) (В. П. Похилайнен, 1961).
- Фиг. 6. *Tollia* sp. Стр. 25
 Вид сбоку. Р. Рауча; средний валанжин (К. В. Паракецов, 1957).

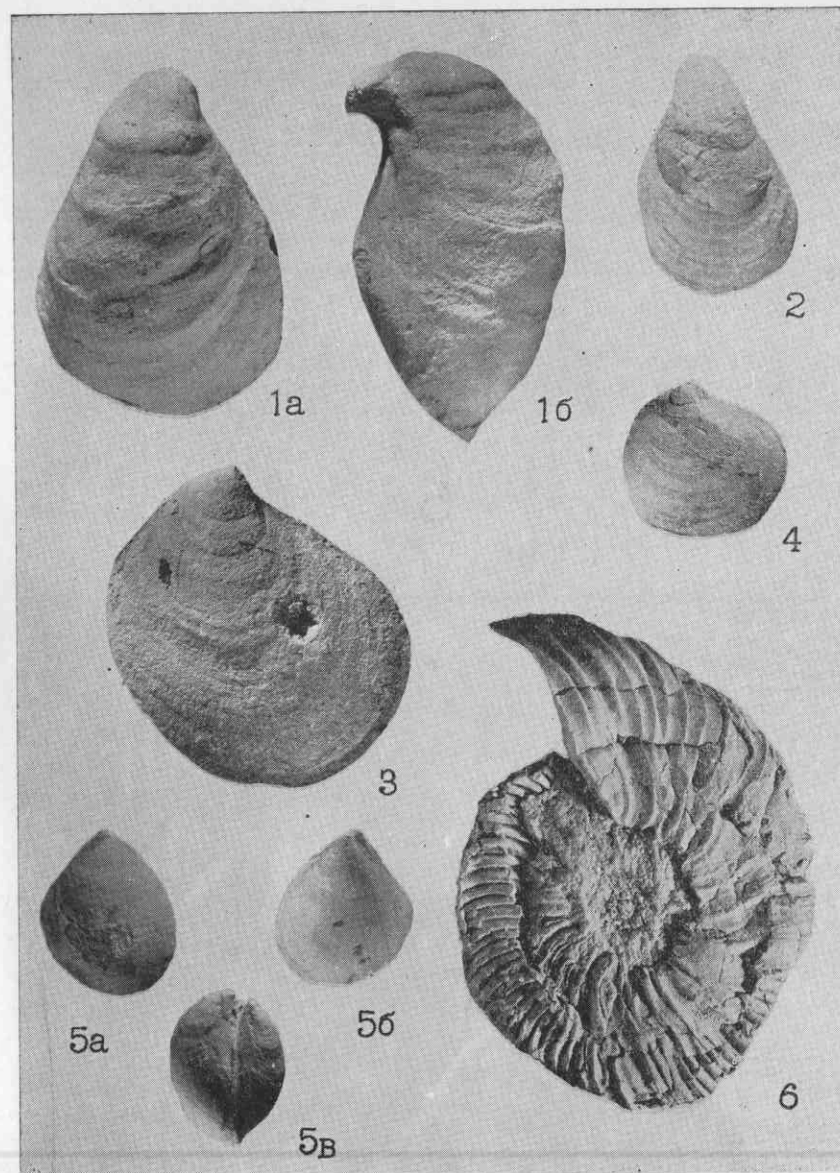


ТАБЛИЦА 8

Фиг. 1а—в. *Spanioteuthis* sp. I. Стр. 25
 а — брюшная сторона; б — вид сбоку; в — поперечное сечение. Северо-восточная часть Корякского хребта; средний и верхний валанжин (Г. П. Терехова, 1962).

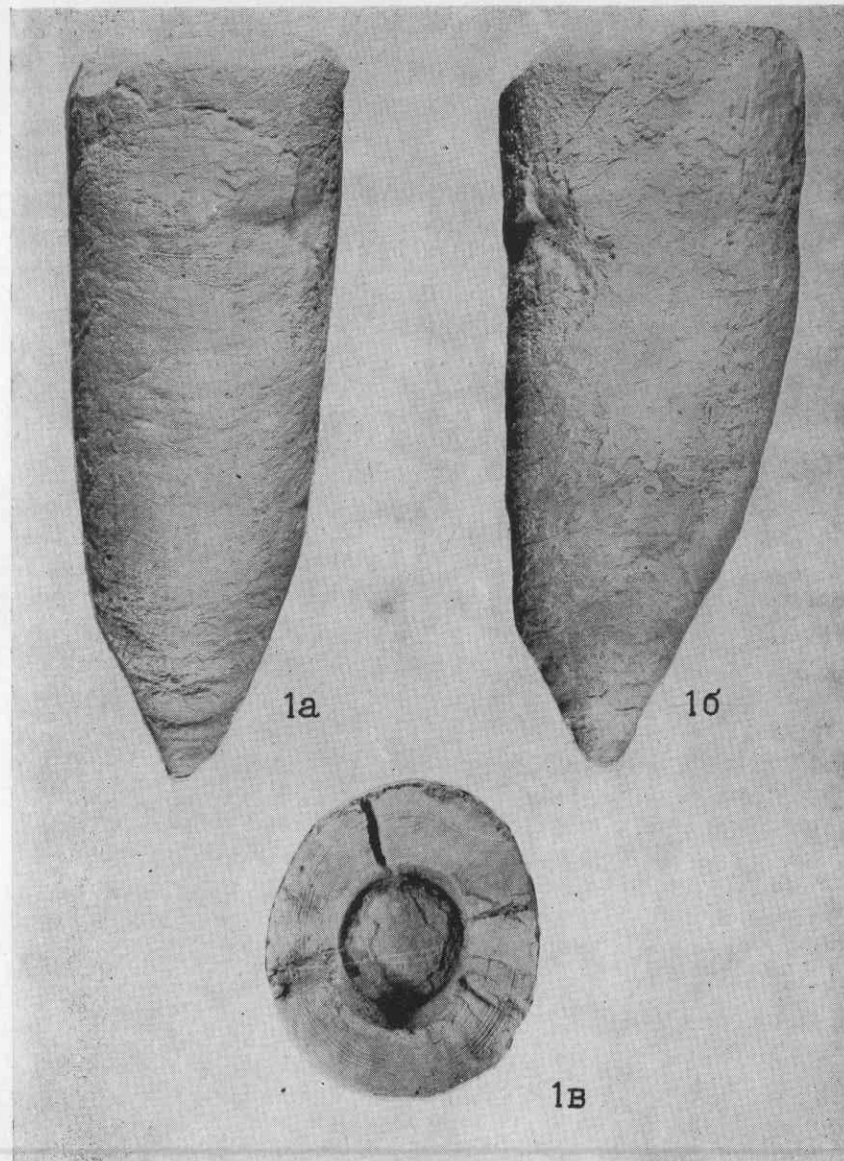


ТАБЛИЦА 9

- Фиг. 1а—в. *Acroteuthis* cf. *lateralis* (Phill.) Стр. 26
 а — брюшная сторона; б — вид сбоку; в — поперечное сечение. Северо-восточная часть Корякского хребта; средний и верхний валанжин (Г. П. Терехова, 1962).
- Фиг. 2а—в. *Spanioteuthis* sp. II. Стр. 26
 а — брюшная сторона; б — вид сбоку; в — поперечное сечение. Северо-восточная часть Корякского хребта; нижний и средний валанжин (Г. П. Терехова, 1962).

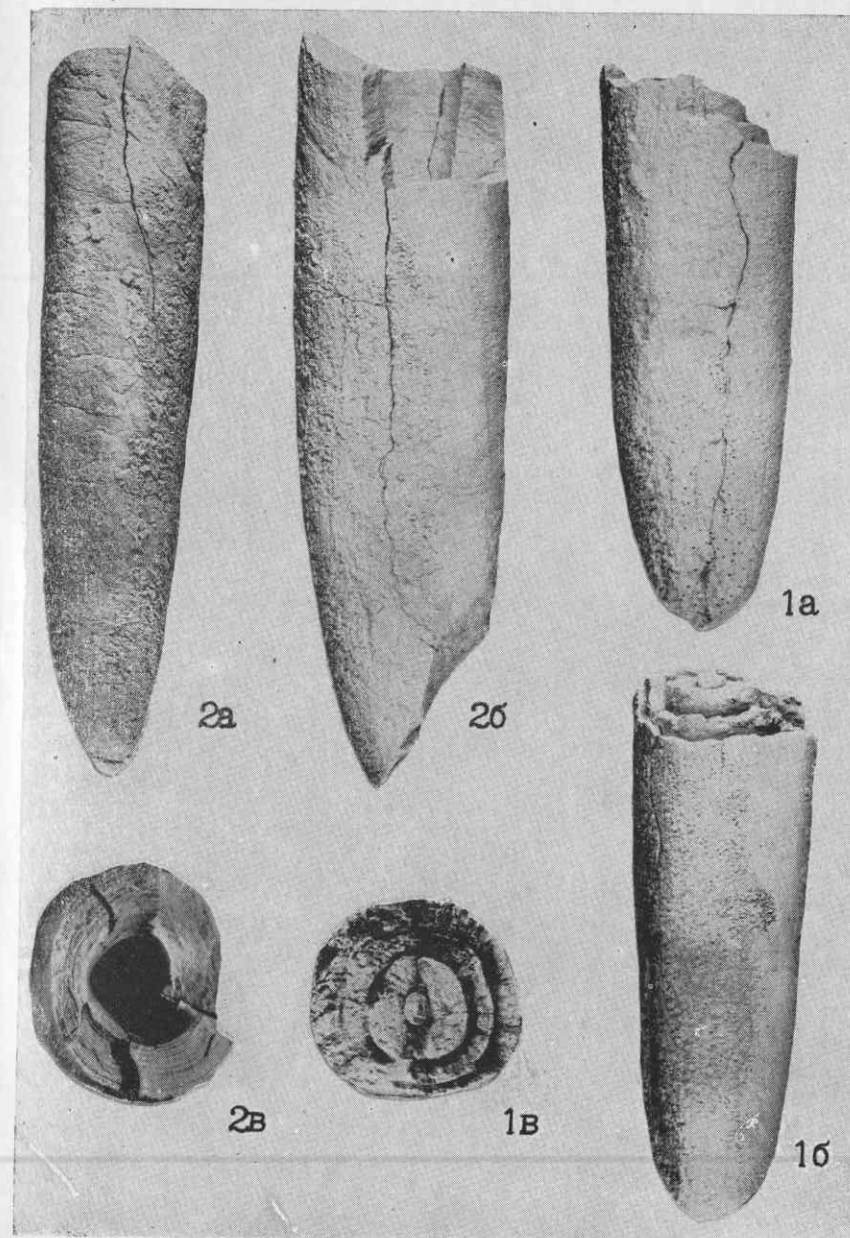


ТАБЛИЦА 10

- Фиг. 1. *Inoceramus paraketzovi* Efim. Стр. 26
 Гипсовый слепок левой створки, $\times 0,5$. Р. Гытгыткон (бас-
 сейн р. Анадырь); готерив (К. В. Паракецов, 1960).
- Фиг. 2. *Simbirskites* cf. *umbonatus* Lah. Стр. 27
 Вид сбоку. Р. М. Анюй; готерив (Р. С. Фурдуй, 1958).
- Фиг. 3. *Simbirskites speetonensis* Young et Bird Стр. 27
 Вид сбоку. Р. М. Анюй; готерив (Р. С. Фурдуй, 1958).

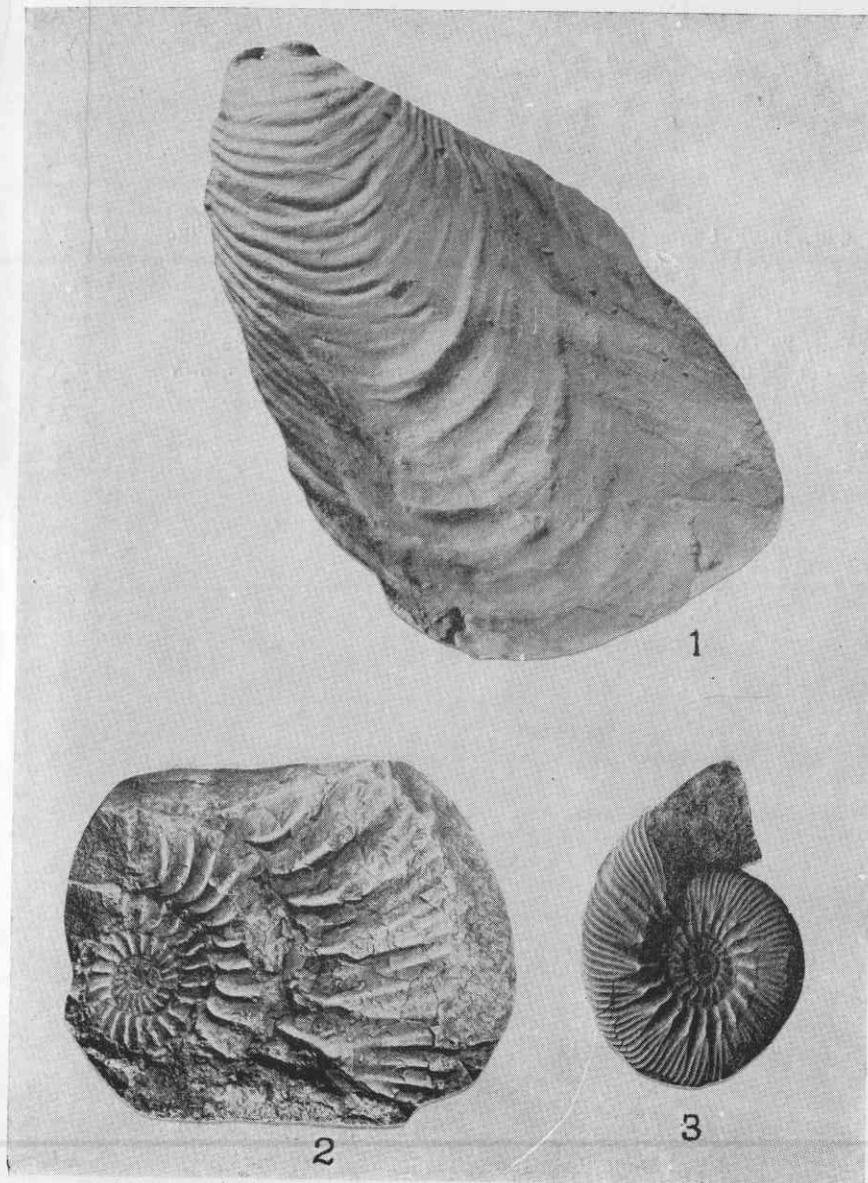


ТАБЛИЦА 11

- Фиг. 1а—в. *Lagonibelus* (*Lagonibelus*) *subrectangulata* Blüthg. Стр. 27
 а — брюшная сторона; б — вид сбоку; в — поперечное сечение. Северо-восточная часть Корякского хребта; готерив (Г. П. Терехова, 1962).
- Фиг. 2а—б. *Cylindroteuthis* (*Arctoteuthis*) cf. *subporrecta* Woodl. $\times 0,85$ Стр. 27
 а — брюшная сторона; б — вид сбоку. Бассейн р. Б. Анюй; готерив (И. А. Паньчев, 1960).

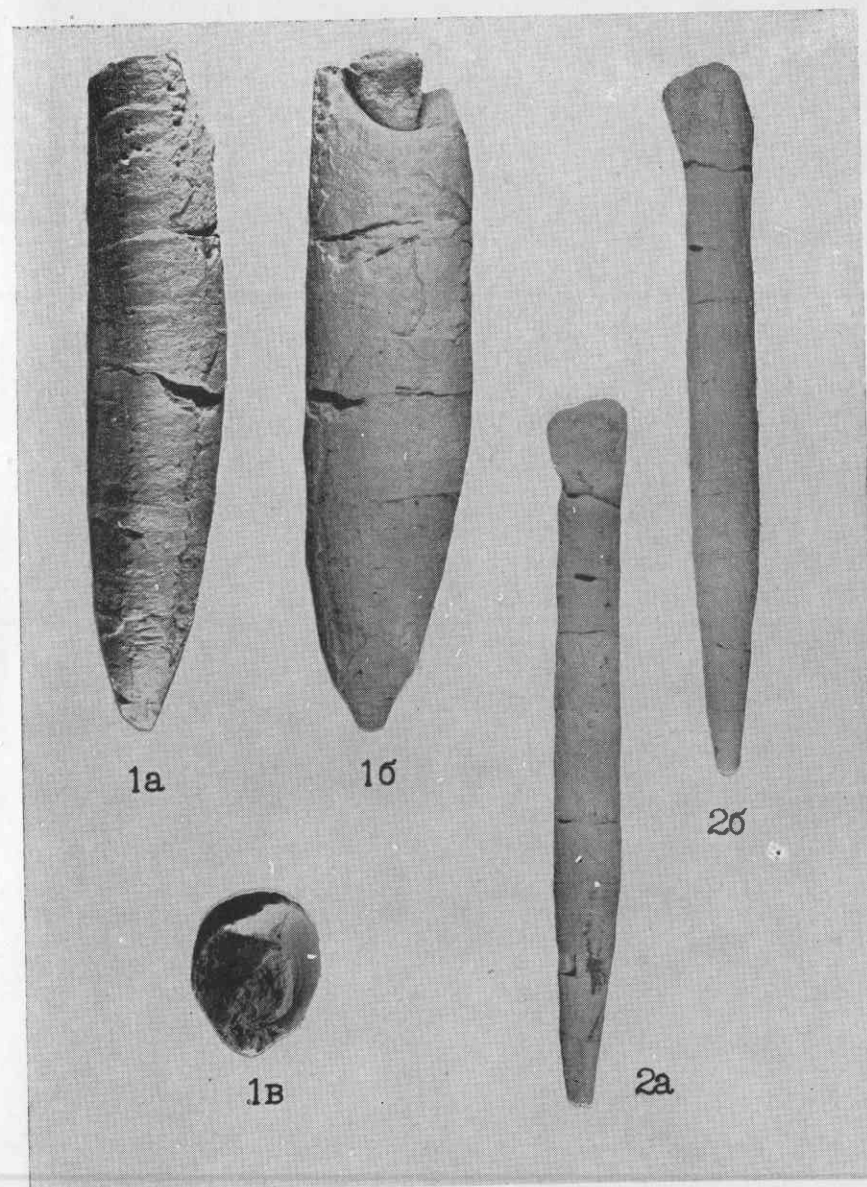


ТАБЛИЦА 12

- Фиг. 1, 3. *Aspinoceras kajgorodzevi* Ver. sp. nov. Стр. 28
 1 — вид сбоку, $\times 0,7$; 3 — перегородочная линия при $T=32$ мм.
 Хр. Пекульней, баррем (Г. Г. Кайгородцев, 1958).
- Фиг. 2. То же Стр. 28
 Начальные обороты. Хр. Пекульней, баррем (Г. Г. Кайгородцев, 1958).

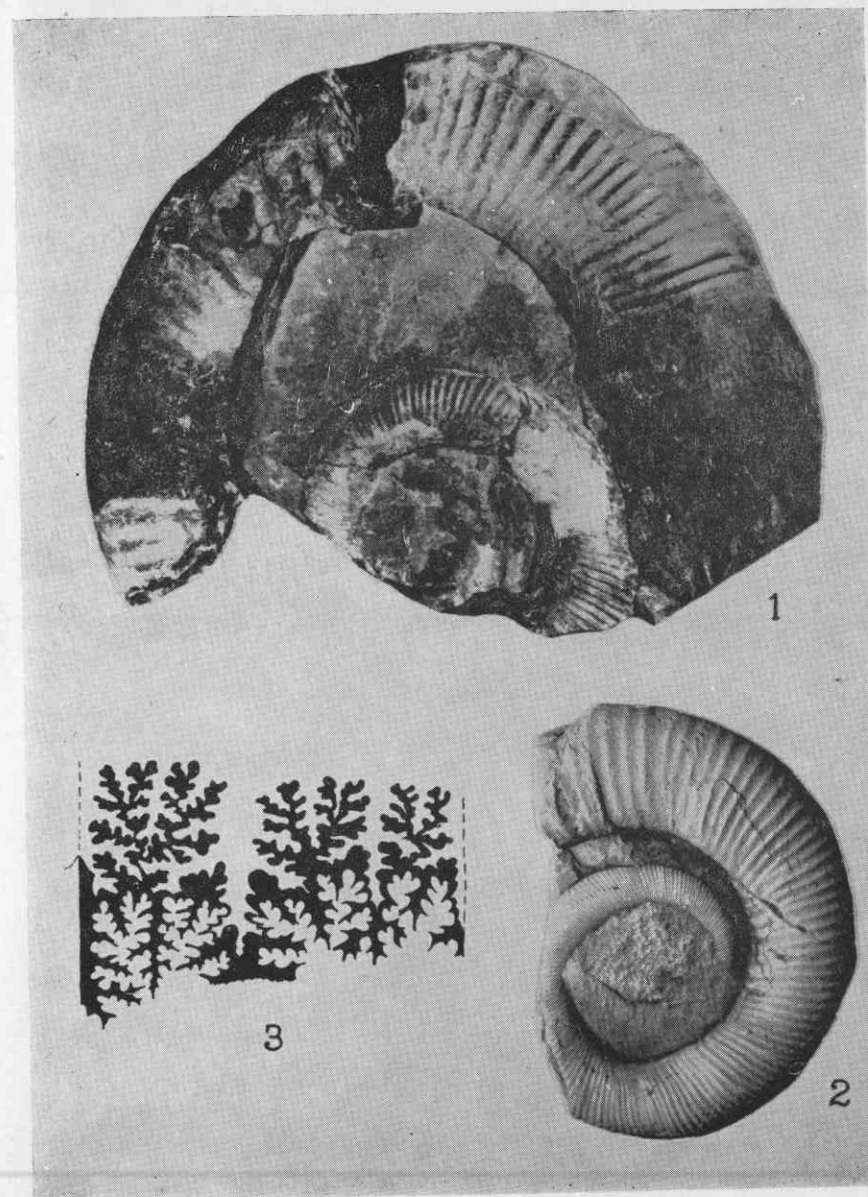


ТАБЛИЦА 13

- Фиг. 1а—в. *Aucellina pekulnejensis* Ver. sp. nov. Стр. 28
 а — левая створка; б — правая створка; в — вид спереди.
 Хр. Пекульней; баррем — нижний альб (Г. Г. Кайгородцев, 1958).
- Фиг. 2а—в. *Aucellina icturiensis* Ver. sp. nov. Стр. 29
 а — левая створка; б — правая створка; в — вид спереди. Се-
 верный Сихотэ-Алинь, бассейн р. Уктур; баррем — апт
 (П. П. Емельянов, Ю. Стариков, 1958).
- Фиг. 3а—б. *Aucellina kryshfovitschi* Ver. sp. nov. Стр. 29
 а — левая створка; б — правая створка. Р. Майн; баррем—
 нижний альб (Г. П. Терехова, 1957).
- Фиг. 4а—б. *Tetragonites duvalianus* Orb. Стр. 28
 а — вид сбоку; б — перегородочная линия при $T = 19$ мм.
 Р. Амур у устья р. Дурал; баррем? — апт (Е. В. Бельтнев, 1962).

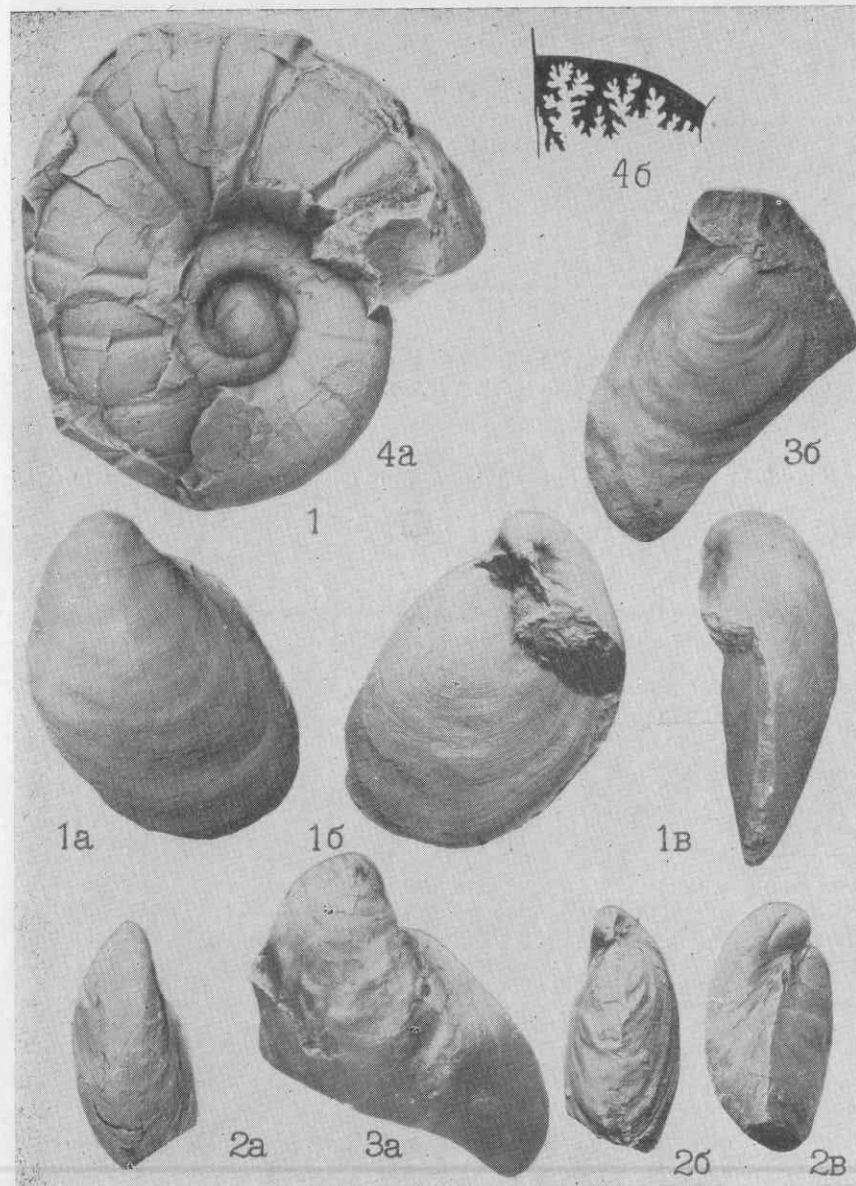


ТАБЛИЦА 14

- Фиг. 1 и 2. *Aucellina ucturiensis* Ver. sp. nov. Стр. 29
 1 — правая створка; 2 — левая створка. Северный Сихотэ-Алинь, бассейн р. Уктур; баррем — апт (П. П. Емельянов, Ю. Стариков, 1958).
- Фиг. 3а—в. *Aucellina kryshfovitschi* Ver. sp. nov. Стр. 29
 а — левая створка; б — правая створка; в — вид спереди. Р. Майн; баррем — нижний альб (Г. П. Терехова, 1957).
- Фиг. 4 и 5. *Aucellina anadyrensis* Ver. sp. nov. Стр. 29
 4 — левая створка; 5 — правая створка. Р. Майн; баррем — нижний альб (Г. П. Терехова, 1957).
- Фиг. 6, 9. *Aucellina aptiensis* Orb. Стр. 30
 6 — правая створка; 9 — левая створка. Северо-восточное побережье Пенжинской губы; баррем — нижний альб (М. А. Пергамент, 1953).
- Фиг. 8. То же Стр. 30
 Правая створка. Хр. Пекульней; баррем — нижний альб (Б. Н. Елисеев, 1933—1934).
- Фиг. 7. *Aucellina polevoi* Ver. sp. nov. Стр. 30
 Левая створка. Хр. Пекульней; баррем — нижний альб (В. А. Китаев, 1955).

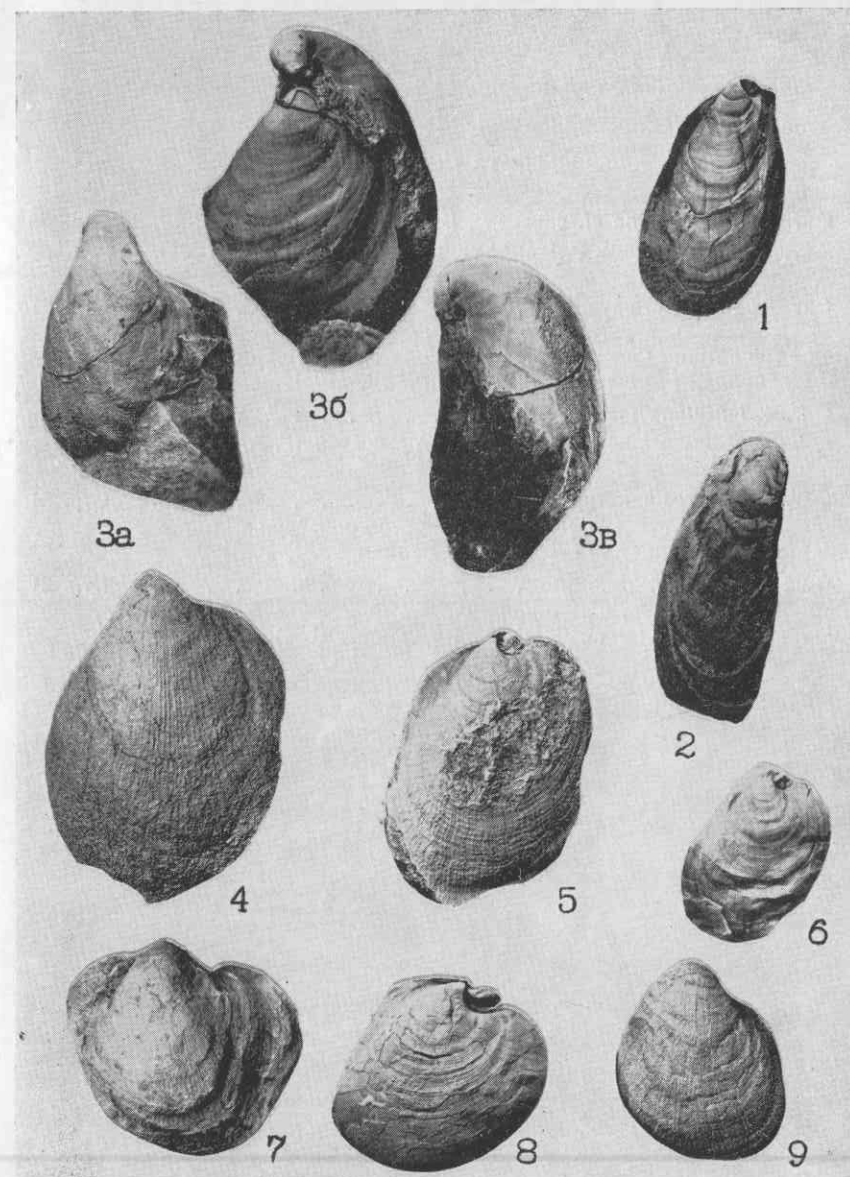


ТАБЛИЦА 15

- Фиг. 1 и 2. *Aucellina cf. caucasica* Buch Стр. 30
Левые створки. Р. Майн; баррем — нижний альб (Г. П. Терехова, 1957).
- Фиг. 3а—в. *Pleurogona* sp. Стр. 31
а — правая створка; б — вид со стороны макушек; в — вид спереди. Северо-восточное побережье Пенжинской губы; баррем — альб (В. П. Похилайнен, 1961).
- Фиг. 4. *Nuculana mariae* (Orb.) Стр. 30
Левая створка. Понтонейские горы; альб (Г. А. Закржевский, 1958).
- Фиг. 5. *Tancredia kugurana* Imlay Стр. 31
Правая створка. Северо-восточное побережье Пенжинской губы; баррем — альб (В. П. Похилайнен, 1961).
- Фиг. 6. То же Стр. 31
Левая створка. Северо-восточное побережье Пенжинской губы; баррем — альб (М. А. Пергамент, 1954).

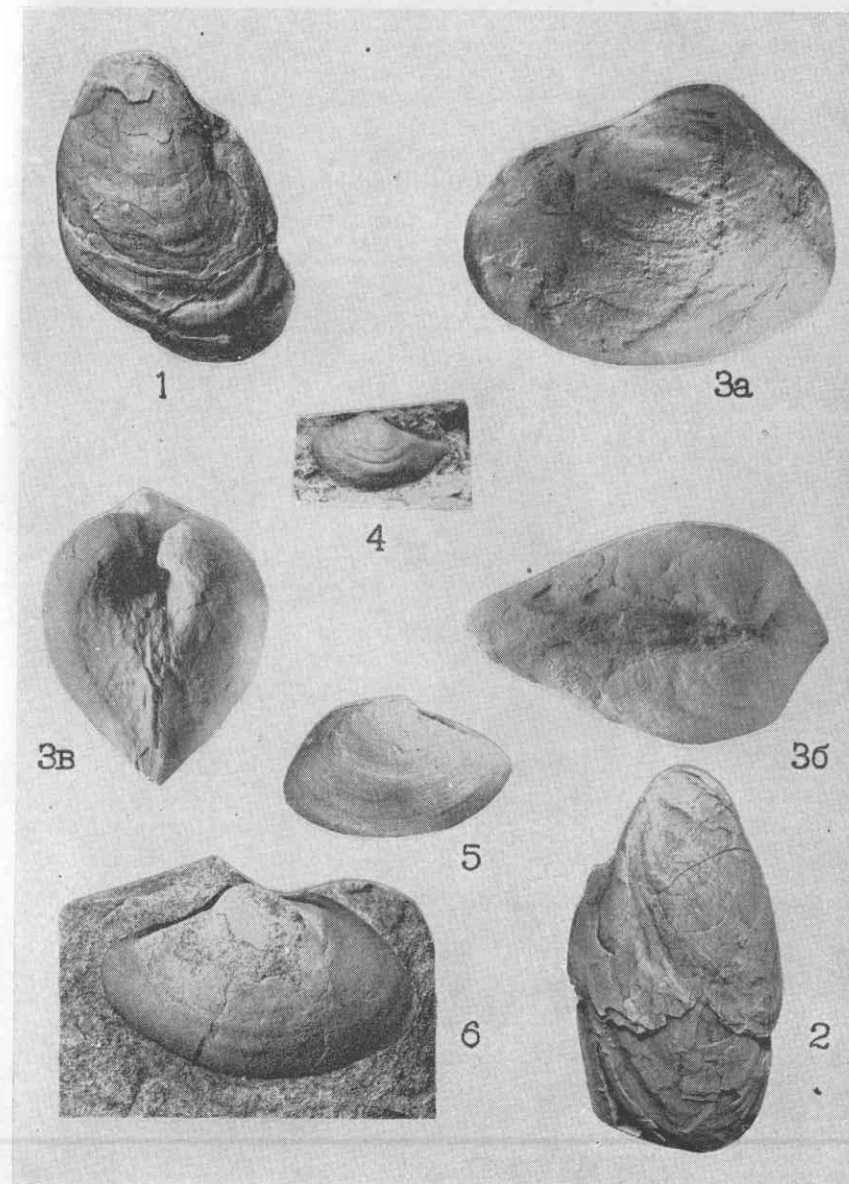


ТАБЛИЦА 16

- Фиг. 1 и 2. *Entolium utokokense* Imlay Стр. 31
 1 — левая створка; 2 — правая створка. Р. Б. Анюй; баррем
 (К. В. Паракецов, 1961).
- Фиг. 3. *Ipoceramius anglicus* Woods Стр. 32
 Правая створка. Хр. Рарыткин; альб (В. Ф. Белый, 1960).
- Фиг. 4а—б. *Ipoceramius concentricus* Park. Стр. 32
 а — левая створка; б — вид спереди. Хр. Пекульней; альб --
 низы сеномана (Г. А. Кибанов, 1958).

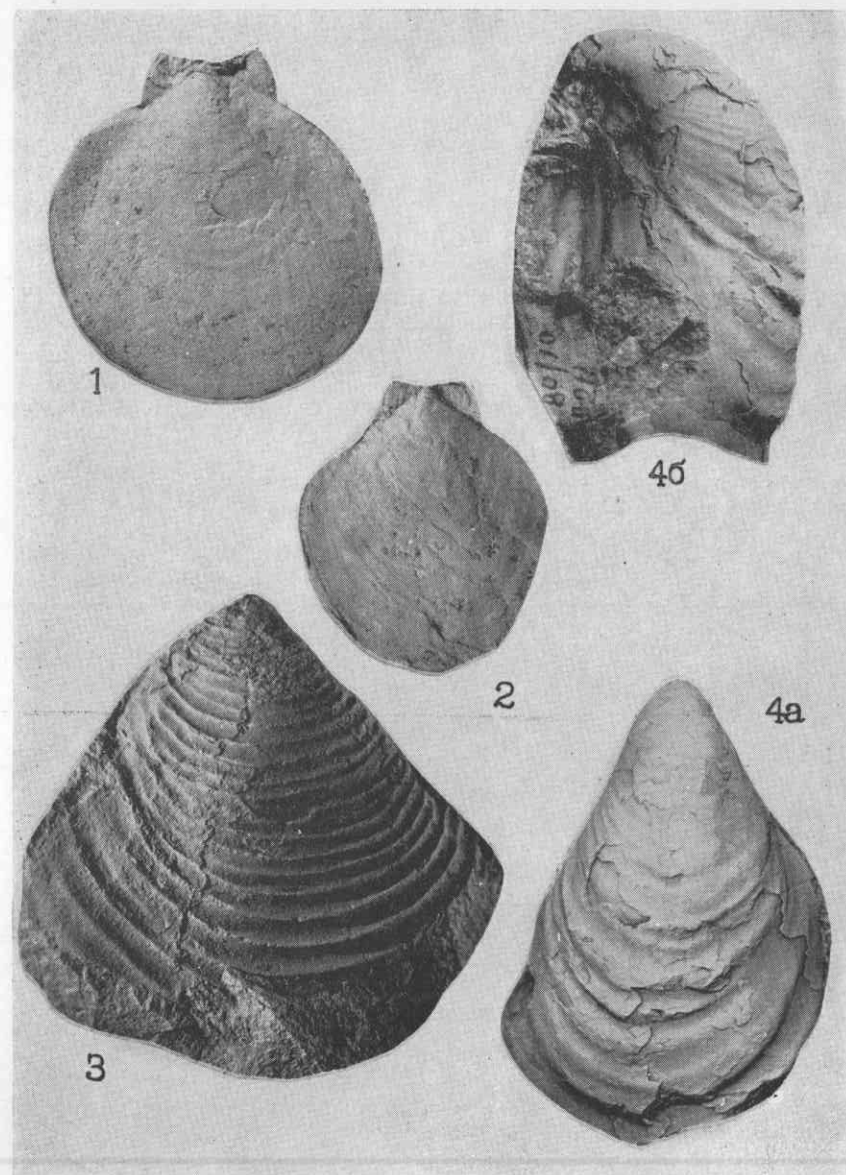


ТАБЛИЦА 17

- Фиг. 1а—в. *Inoceramus concentricus* Park. Стр. 32
 а — левая створка; б — вид сзади; в — вид со стороны макушки. Хр. Пекульней; альб — низы сеномана (Г. А. Кибанов, 1958).
- Фиг. 2. *Gaudryceras renjiensis* Ver. sp. nov. Стр. 32
 Вид сбоку. Северо-восточное побережье Пенжинской губы; альб (В. П. Похпалайнен, 1962).

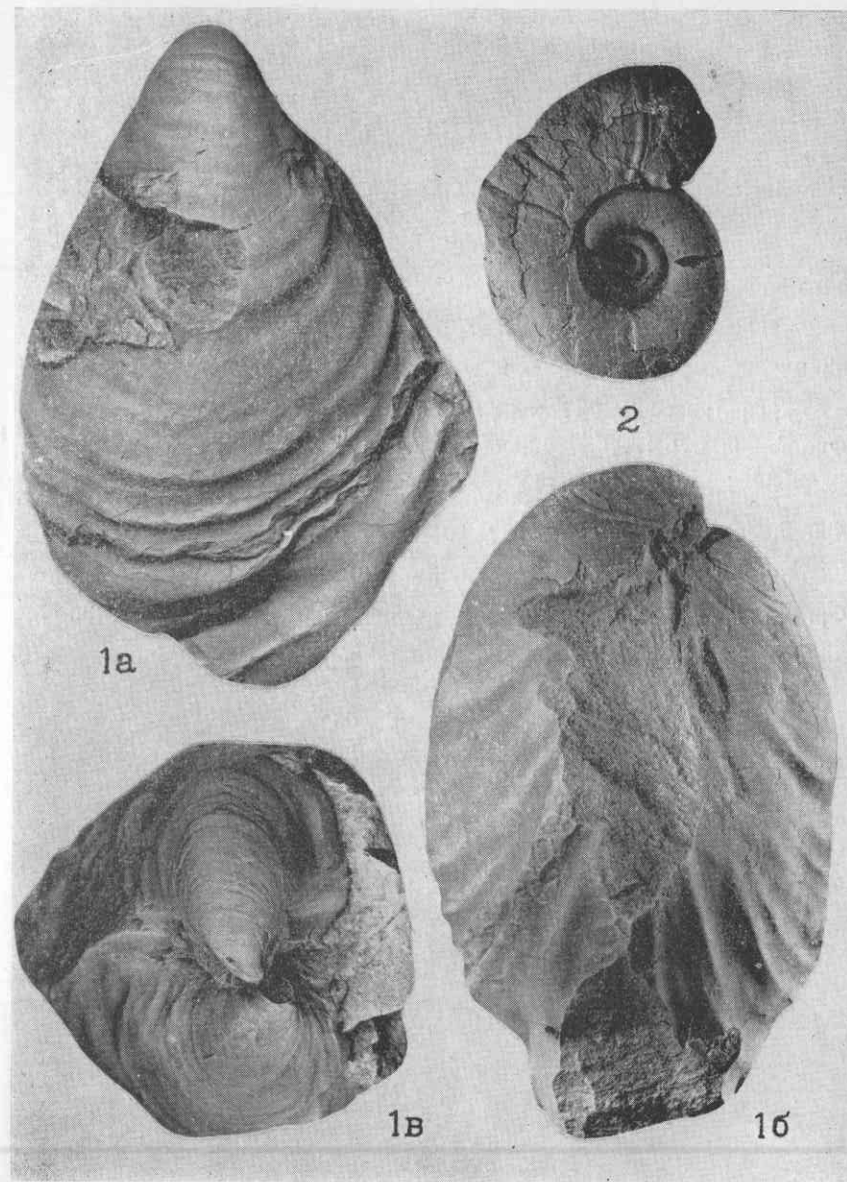


ТАБЛИЦА 18

- Фиг. 1. *Holcodiscoides papillatus* Stol. Стр. 34
Вид сбоку. Северо-восточное побережье Пенжинской губы;
альб — сеноман (П. Г. Туганов, 1948).
- Фиг. 2а—в. *Sopneratia* sp. Стр. 33
а — вид сбоку; б — вид с устья; в — брюшная сторона. Пон-
тонейские горы; альб (Г. А. Закржевский, 1958).
- Фиг. 3а—б. *Cleoniceras* sp. Стр. 33
а — вид сбоку; б — вид с устья. Р. Орловка (бассейн р. Ана-
дырь); альб (В. Ф. Белый, 1959).
- Фиг. 4а—б. *Gaudryceras renjiensis* Ver. sp. nov. Стр. 32
а — вид сбоку; б — вид с устья. Р. Орловка (бассейн р. Ана-
дырь); альб (В. Ф. Белый, 1959).
- Фиг. 5. *Neogastroplites americanus* (Reeside et Weymouth) . . . Стр. 34
Вид сбоку. Северо-восточное побережье Пенжинской губы;
верхний альб (Л. И. Тихомиров, 1960).
- Фиг. 6. Перегородочная линия *Cleoniceras* sp. при $T = 13$ мм . . . Стр. 33
Р. Майн; альб (Н. А. Колода, 1964).

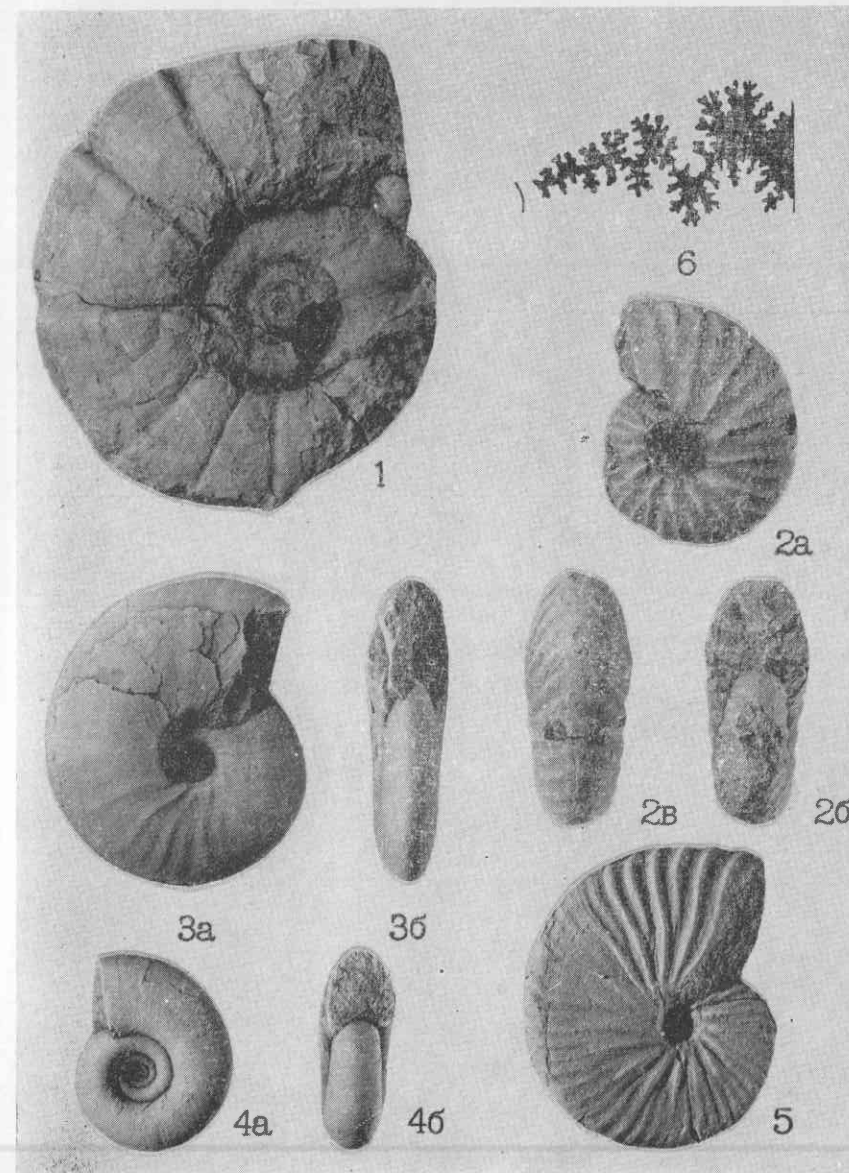


ТАБЛИЦА 19

Фиг. 1. *Beudanticeras* sp., $\times 0,5$ Стр. 34
Вид сбоку. Р. Орловка (бассейн р. Анадырь); альб (В. Ф. Белый, 1959).

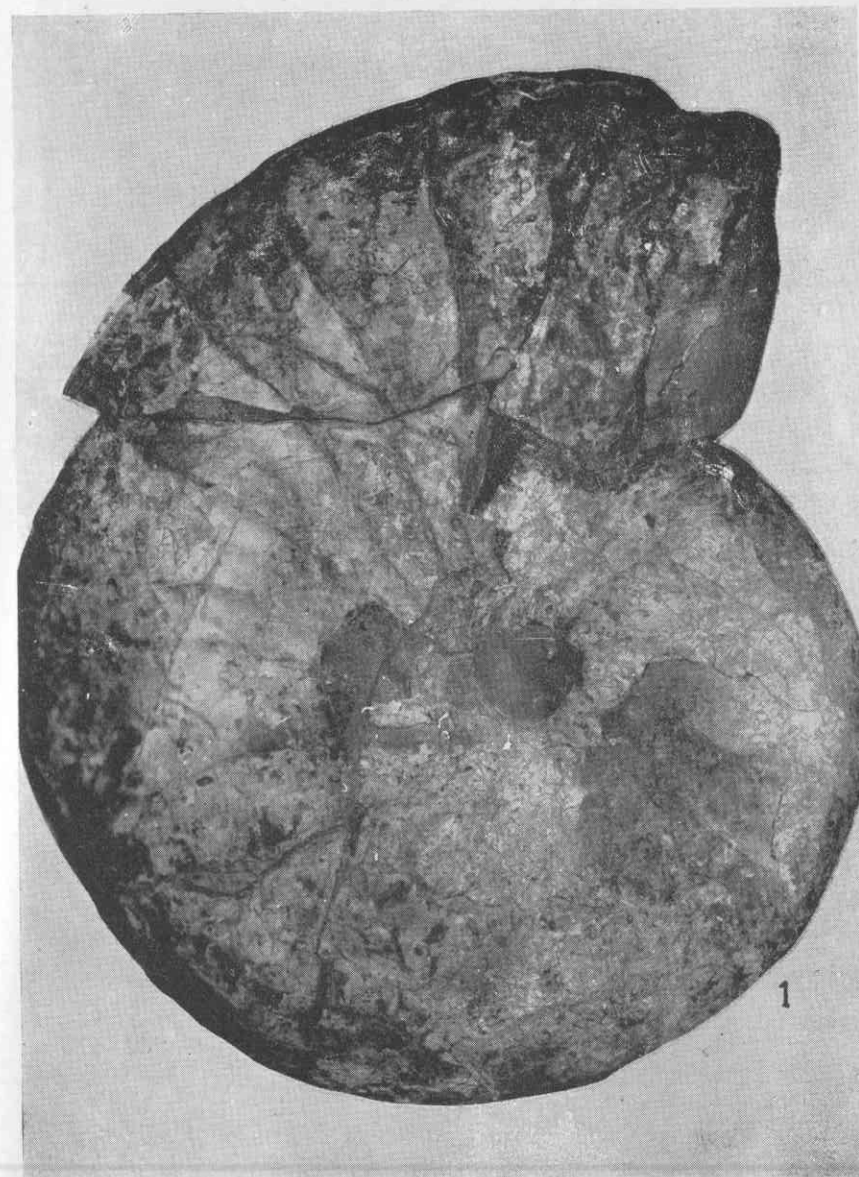


ТАБЛИЦА 20

- Фиг. 1. Перегородочная линия *Beudanticeras* sp. при $T = 54$ мм Стр. 34
Р. Орловка (бассейн р. Анадырь); альб (В. Ф. Белый, 1959).
- Фиг. 2а—б. *Turrilites* sp. Стр. 35
а — брюшная сторона; б — вид сбоку. Р. Майн; верхний
альб — сеноман (Г. П. Терехова, 1957).
- Фиг. 3. То же Стр. 35
Брюшная сторона. Р. Майн; верхний альб — сеноман
(Г. П. Терехова, 1957).

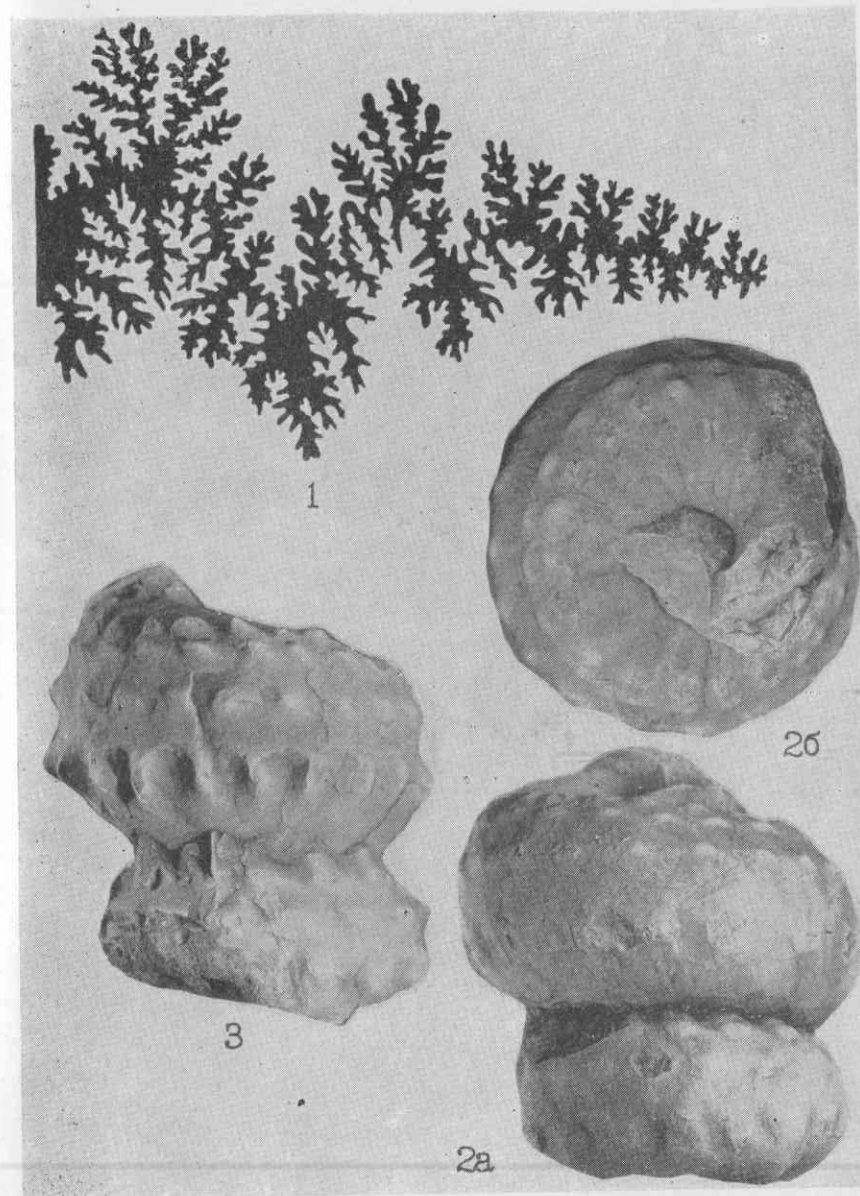


ТАБЛИЦА 21

- Фиг. 1а—б. *Mortoniceras* sp. Стр. 35
 а — вид сбоку; б — перегородочная линия при $T = 27$ мм.
 Р. Майн; верхний альб — сеноман (Г. П. Терехова, 1957)
- Фиг. 2а—в. *Ipoceramus yabei* Nagao et Mat. Стр. 35
 а — левая створка; б — правая створка; в — вид сзади.
 Р. Майн; сеноман (Г. П. Терехова, 1957).

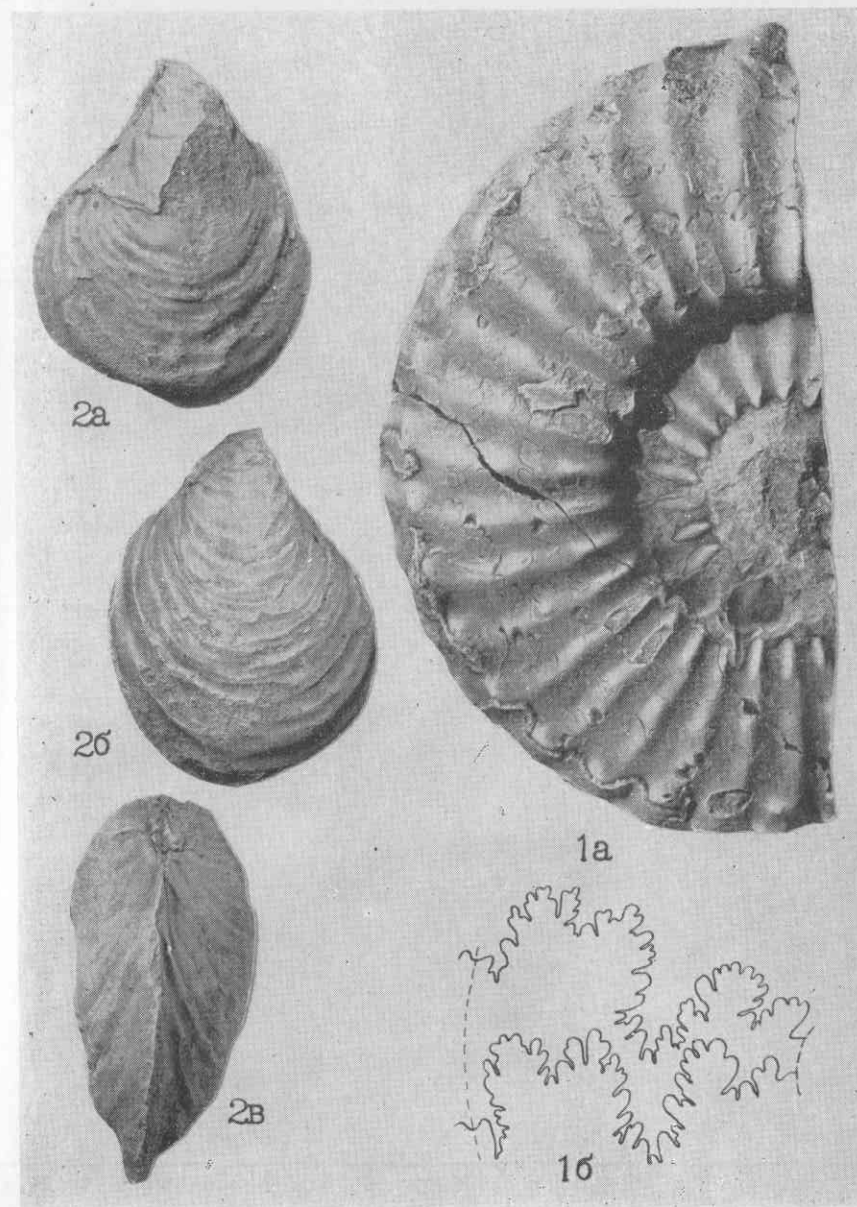


ТАБЛИЦА 22

- Фиг. 1а—в. *Inoceramus nipponicus* Nagao et Mat. Стр. 36
 а — левая створка; б — правая створка; в — вид спереди.
 Бухта Угольная; верхняя часть гинтеровской свиты (Г. П. Терехова, 1961).
- Фиг. 2а—б. То же Стр. 36
 а — левая створка; б — вид спереди. Бухта Угольная; верхняя часть гинтеровской свиты (Г. П. Терехова, 1961).
- Фиг. 3. То же Стр. 36
 Левая створка. Бухта Угольная; верхняя часть гинтеровской свиты (Г. П. Терехова, 1961).

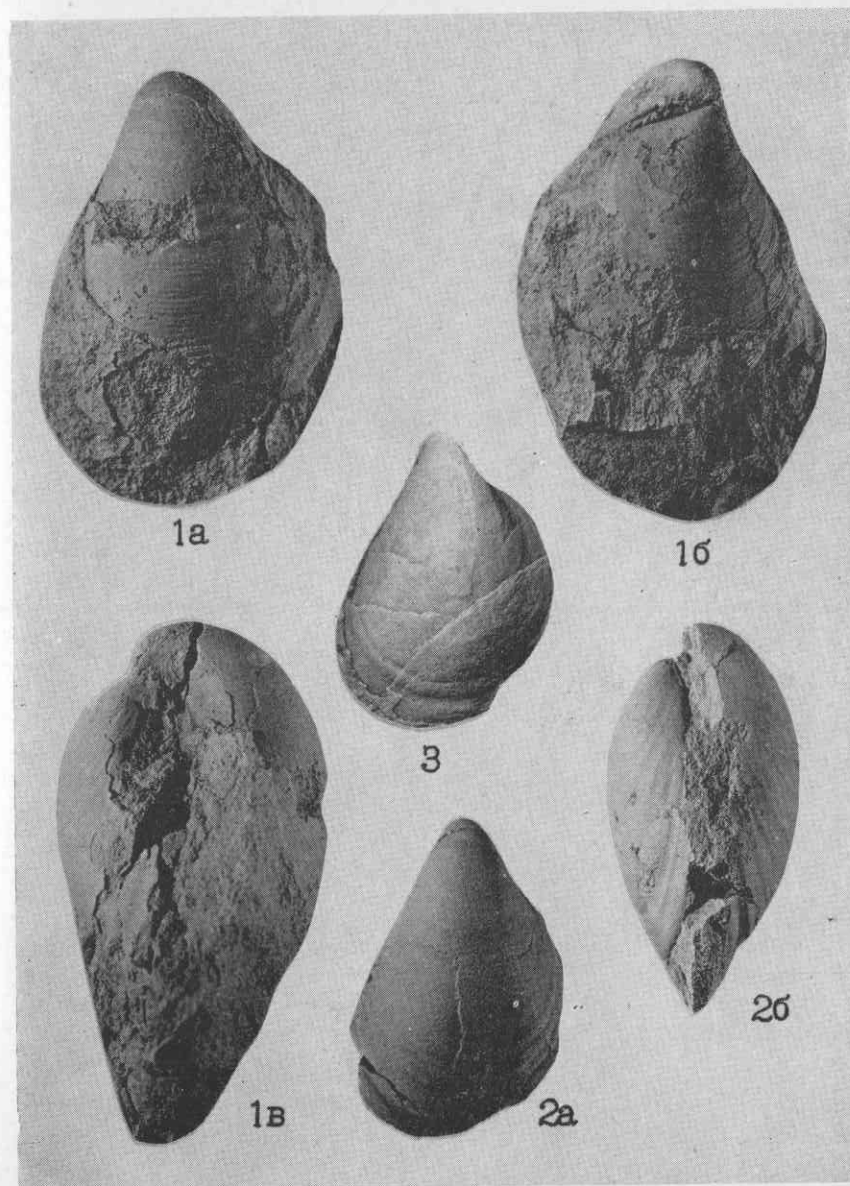


ТАБЛИЦА 23

Фиг. 1а—в. *Inoceramus korjakensis* Ter. Стр. 36
 а — левая створка; б — правая створка; в — вид сверху.
 Бухта Угольная; верхняя часть гинтеровской свиты (Г. П. Терехова, 1961).

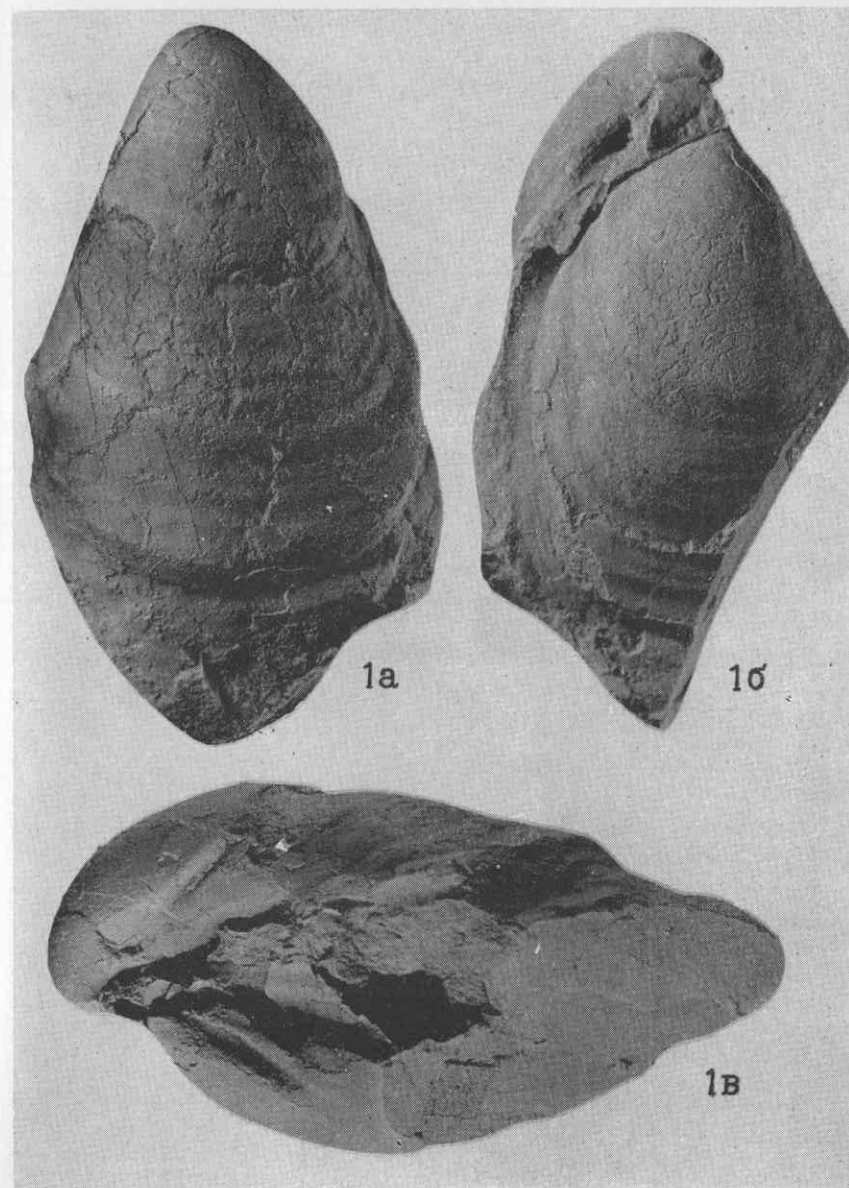


ТАБЛИЦА 24

- Фиг. 1а—б. *Inoceramus tenuistriatus* Nagaо et Mat. Стр. 37
 а — левая створка; б — правая створка другого экземпляра.
 Северо-Западная Камчатка; сеноман — турон (Н. М. Маркин, 1962).
- Фиг. 2. То же Стр. 37
 Левая створка. Р. Великая; сеноман — турон (О. П. Дундо, 1958).
- Фиг. 3. *Inoceramus cf. labiatus* (Schloth.) Стр. 37
 Правая створка. Северо-Западная Камчатка; турон
 (Н. М. Маркин, 1962).

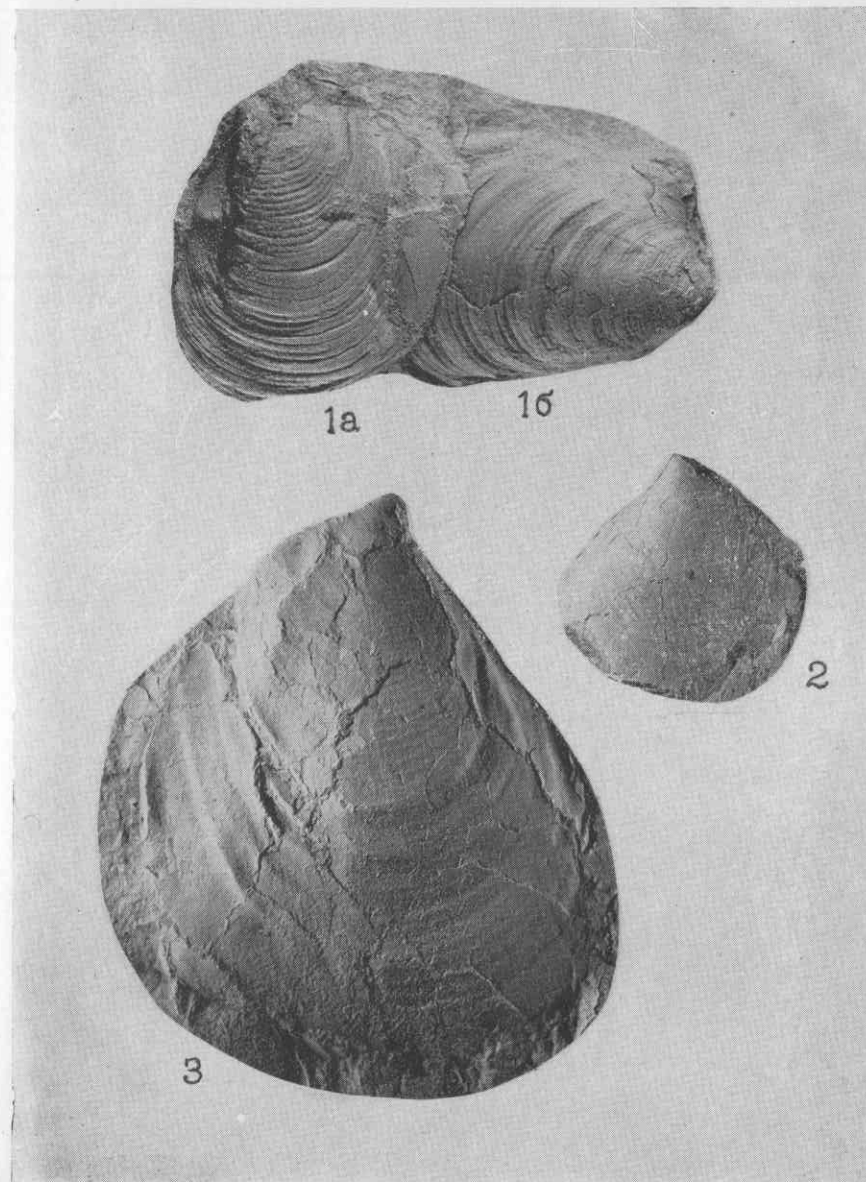


ТАБЛИЦА 25

- Фиг. 1а—б. *Puzosia* aff. *planulata* Sow. Стр. 37
 а — вид сбоку; б — вид с устья. Р. Майн; сеноман (Г. П. Терехова, 1957).
- Фиг. 2. Перегородочная линия *Puzosia planulata* Sow. Стр. 37
 По Коссмату, 1898, табл. XVI, фиг. 4.

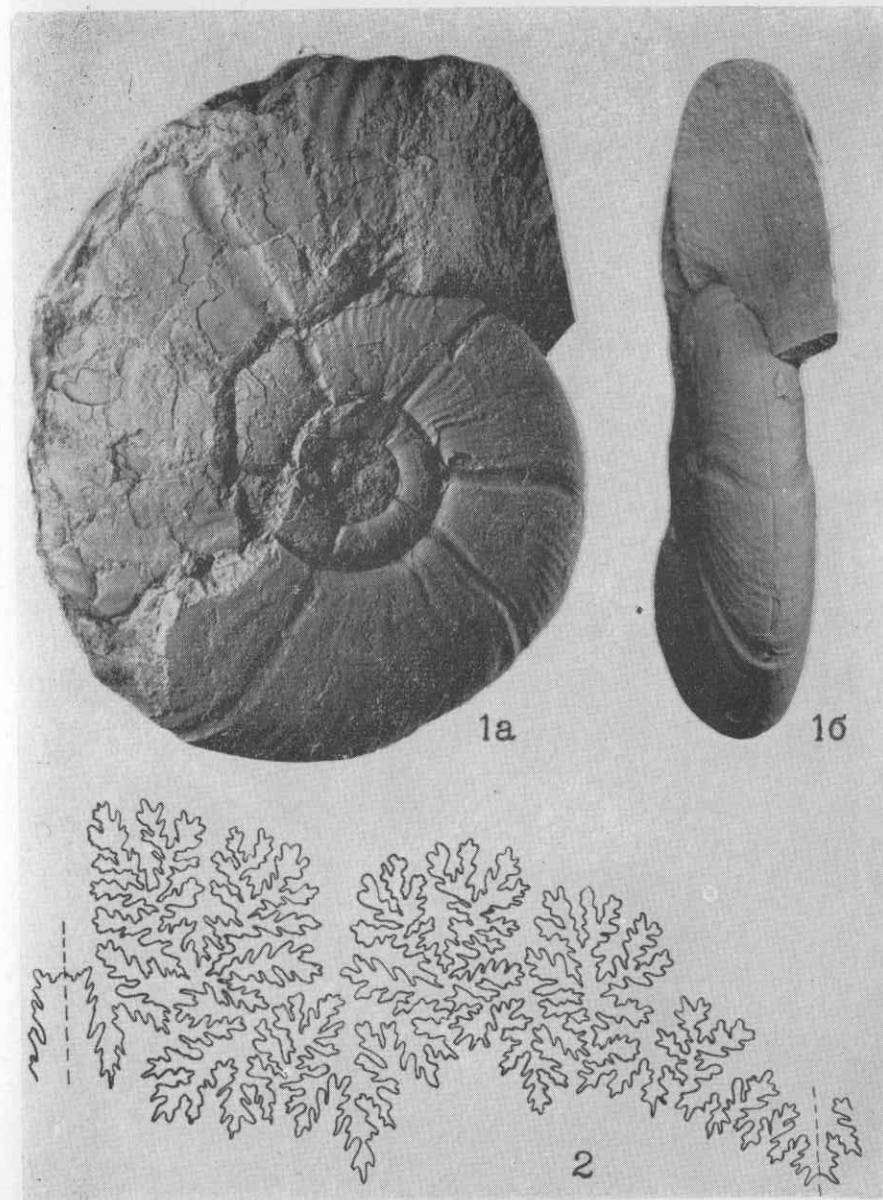


ТАБЛИЦА 26

- Фиг. 1. *Turrilites costatus* Lam. Стр. 38
Северо-восточное побережье Пенжинской губы; маметчин-
ская свита (В. П. Похилайнен, 1961).
- Фиг. 2а—в. *Mikasaites matsumotoi* Ver. sp. nov. Стр. 38
а — вид сбоку; б — вид с устья; в — брюшная сторона. О. Са-
халин, р. Сусуя; верхняя часть найбинской свиты (В. П. Ве-
рещагин, 1960).
- Фиг. 3а—в. *Acanthoceras* ex gr. *rotomagense* Defrans Стр. 38
а — вид сбоку; б — вид с устья; в — брюшная сторона. О. Са-
халин, р. Сусуя; верхняя часть найбинской свиты (В. Е. Бевз,
1959).
- Фиг. 4. Перегородочная линия *Turrilites costatus* Lam. Стр. 38
По Орбиньи, 1840—1844, табл. 145, фиг. 5.

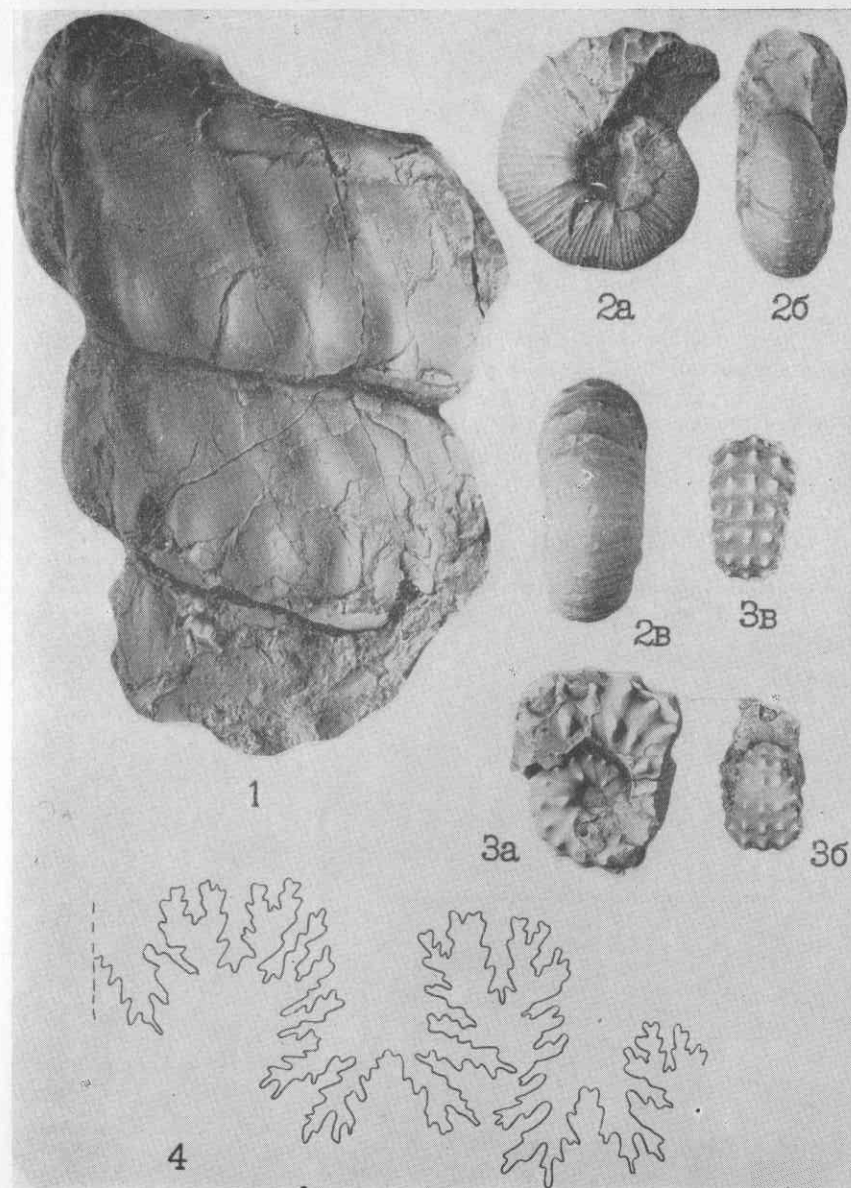


ТАБЛИЦА 27

- Фиг. 1а—в. *Mikasaites matsumotoi* Ver sp. nov. Стр. 38
 а — вид сбоку; б — вид с устья; в — брюшная сторона. О. Са-
 халин, р. Сусуя; верхняя часть найбинской свиты (В. Н. Ве-
 рещагин, 1960).
- Фиг. 2а—б. *Parajaubertella kawakitana* Mat. Стр. 39
 а — вид сбоку; б — вид с устья. О. Сахалин, р. Сусуя; верх-
 няя часть найбинской свиты (В. Е. Бевз, 1959).
- Фиг. 3. Перегородочная линия *Parajaubertella kawakitana* Mat. Стр. 39
 По Мацумото, 1942, стр. 667, фиг. 2.
- Фиг. 4а—б. *Inoceramus nipponicus* Nagao et Mat. aff. var.
costatus Nagao et Mat. Стр. 39
 а — левая створка; б — вид спереди. Северо-восточное побере-
 режье Пенжинской губы; основание быстринской свиты
 (В. П. Похиалайнен, 1961).

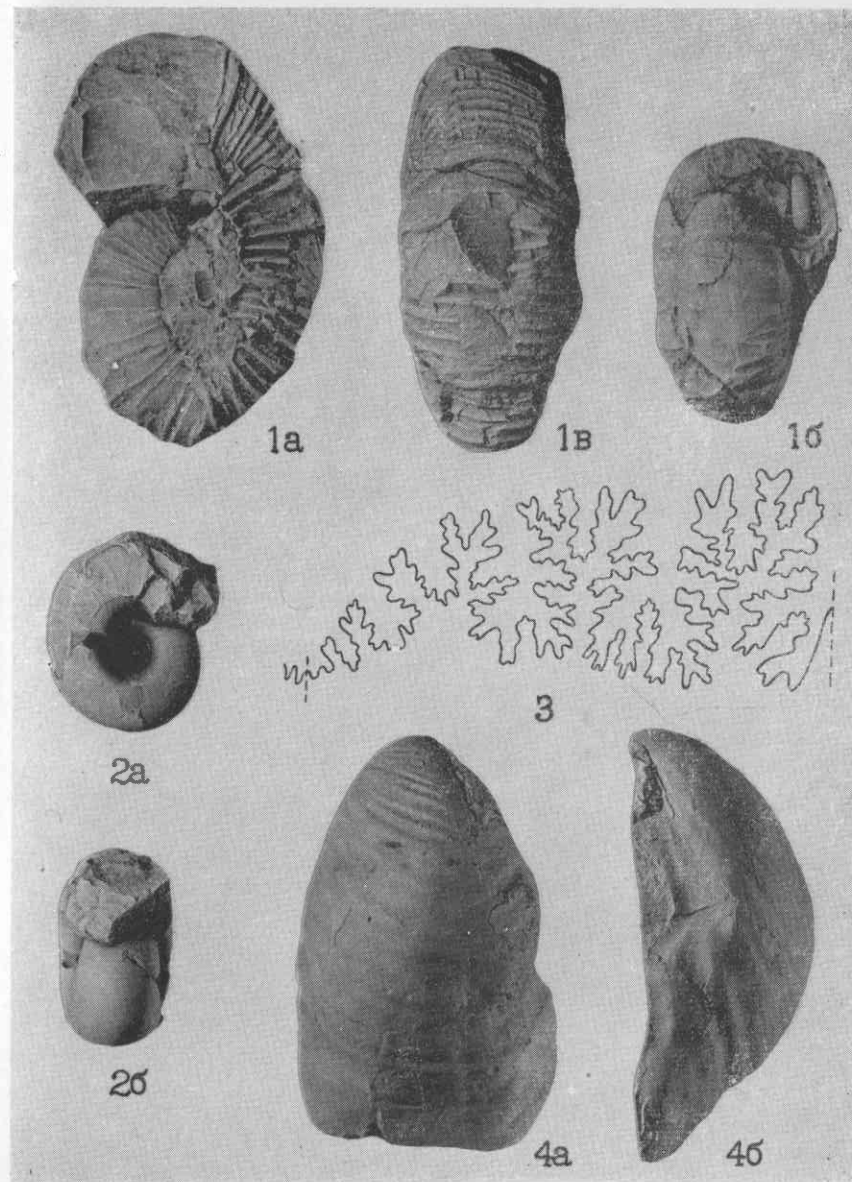


ТАБЛИЦА 28

- Фиг. 1. *Inoceramus nipponicus* Nagao et Mat. aff. var. *costatus*
Nagao et Mat. Стр. 39
Правая створка. Северо-восточное побережье Пенжинской
губы; основание быстринской свиты (В. П. Похилайнен,
1961).
- Фиг. 2. *Inoceramus hobetsensis* Nagao et Mat. Стр. 40
Левая створка. Р. Убиенка (бассейн р. Анадырь); верхний
турон (Г. П. Терехова, 1958).
- Фиг. 3. *Inoceramus nipponicus* Nagao et Mat. var. *costatus*
Nagao et Mat. Стр. 39
Левая створка. Р. Убиенка (бассейн р. Анадырь); верхний
турон (Б. Д. Трунов, 1962).
- Фиг. 4 и 5а—б. *Inoceramus arcticus* Ver. sp. nov. Стр. 40
4 — правая створка; 5а — левая створка; 5б — вид спереди
(здесь же левая створка другого экземпляра). Северо-вос-
точное побережье Пенжинской губы; основание быстринской
свиты (В. П. Похилайнен, 1961).

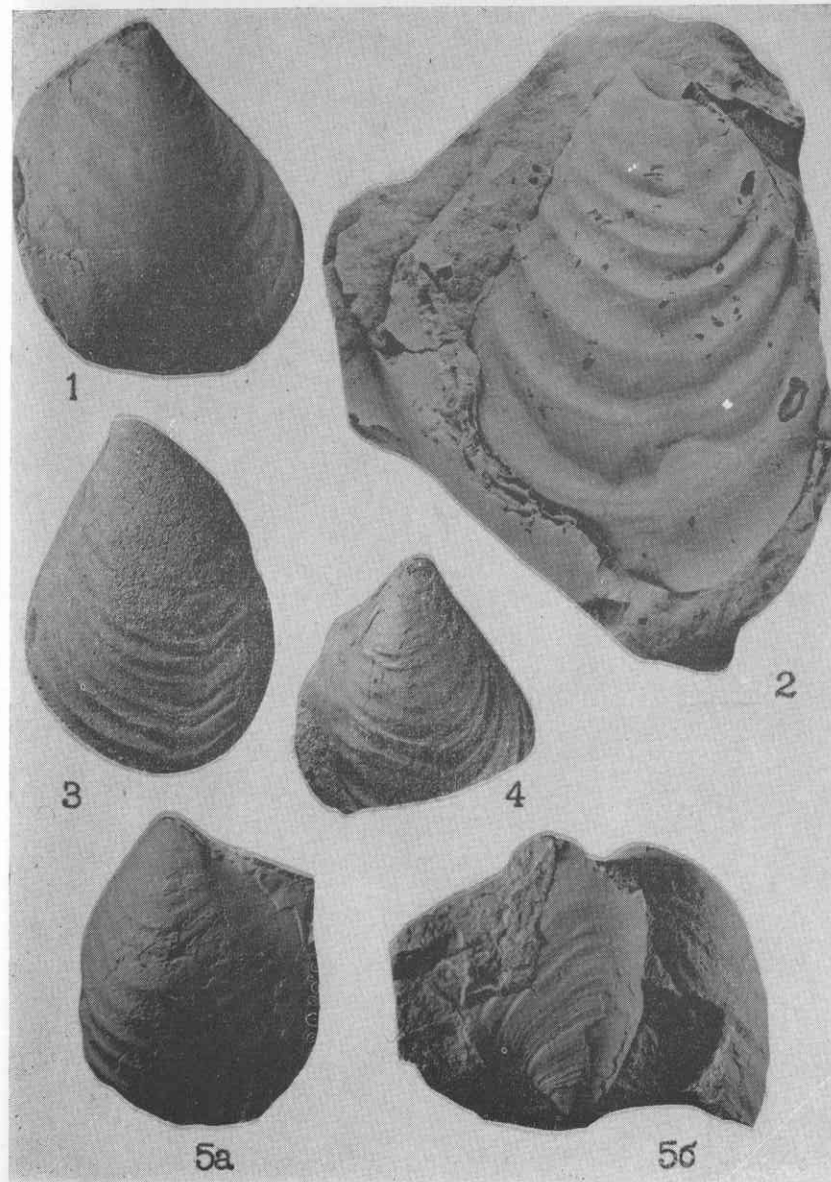


ТАБЛИЦА 29

Фиг. 1а—в. *Inoceramus lamarcki* Park. Стр. 40
 а — левая створка; б — правая створка; в — вид спереди.
 Северо-восточное побережье Пенжинской губы; основание
 быстринской свиты (В. П. Похилайнен, 1962).

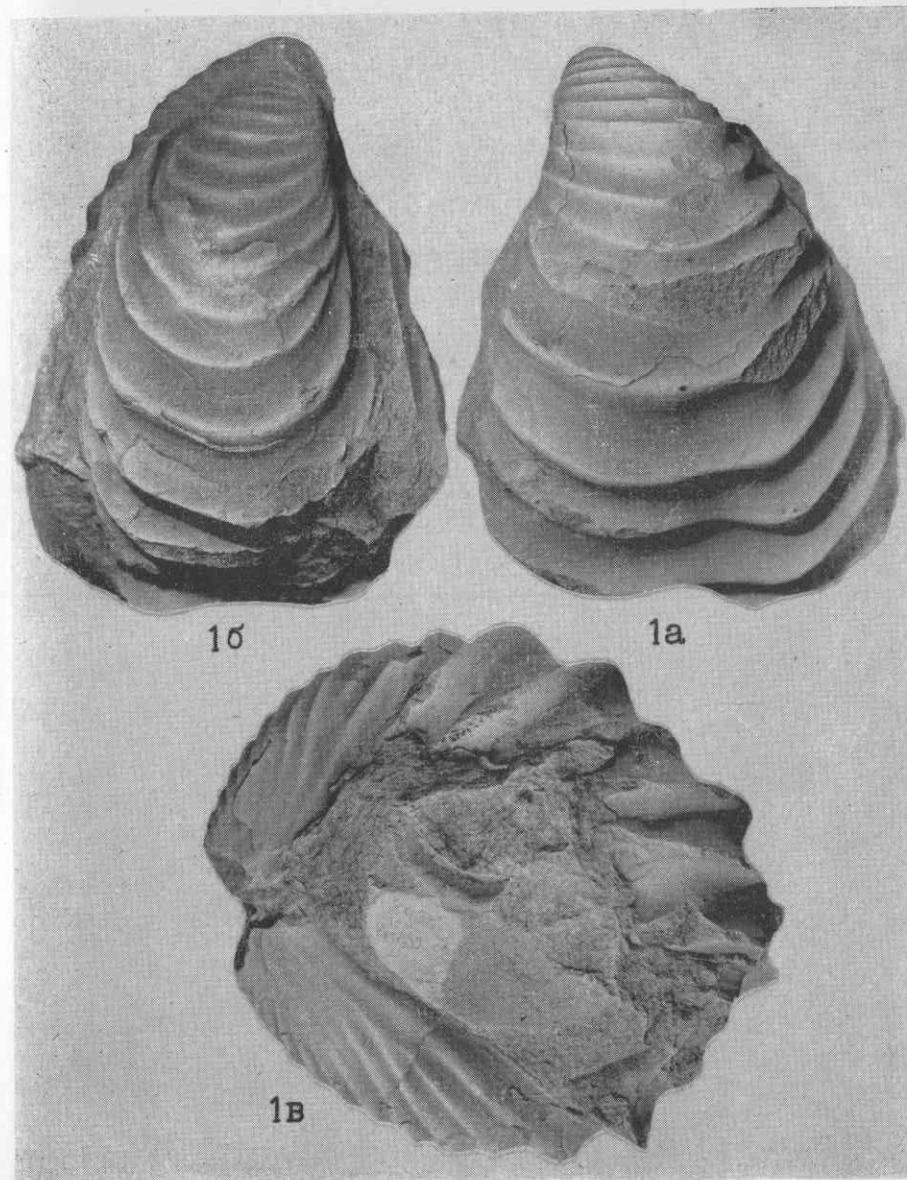


ТАБЛИЦА 30

Фиг. 1. *Inoceramus iburiensis* Nagao et Mat. Стр. 41
Левая створка. Северо-восточное побережье Пенжинской
губы; основание быстринской свиты (В. П. Похилайнен,
1961).

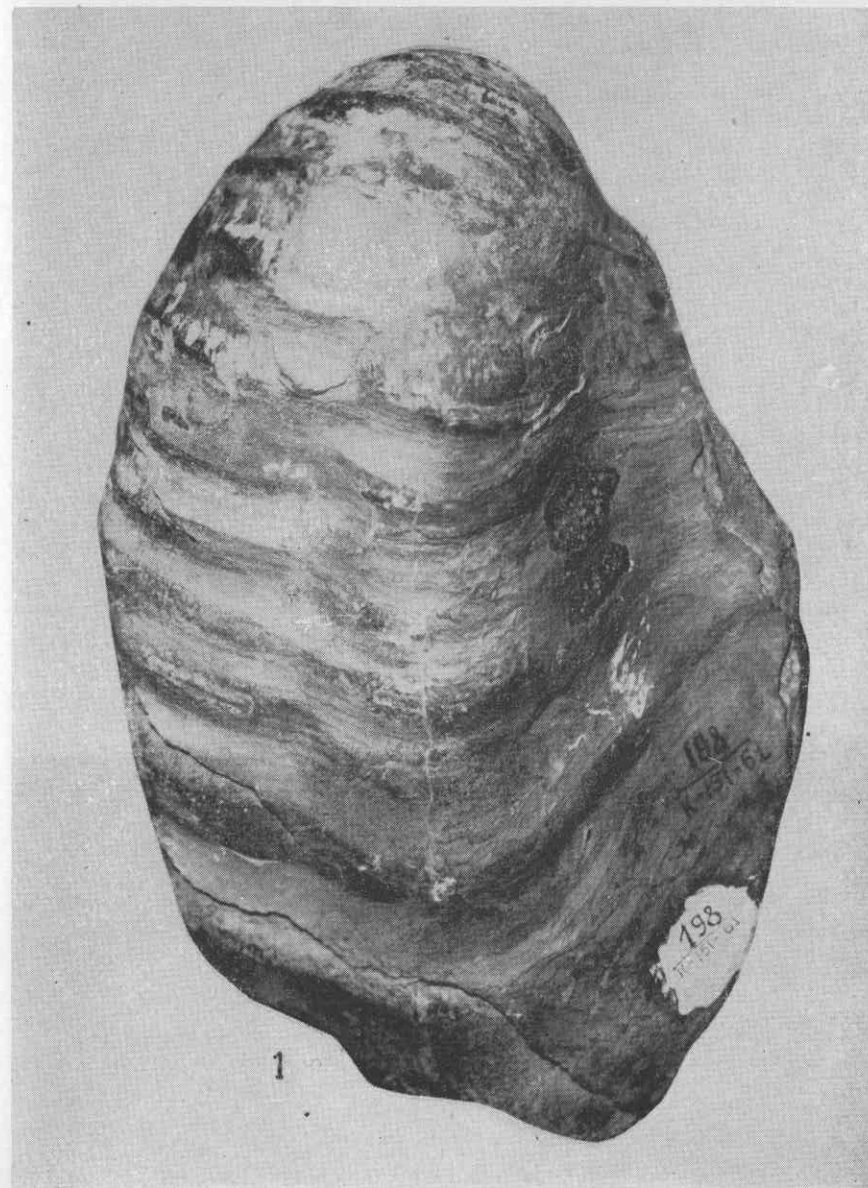


ТАБЛИЦА 31

Фиг. 1. *Inoceramus iburiensis* Nagao et Mat. Стр. 41
Правая створка экземпляра, изображенного на табл. 30.

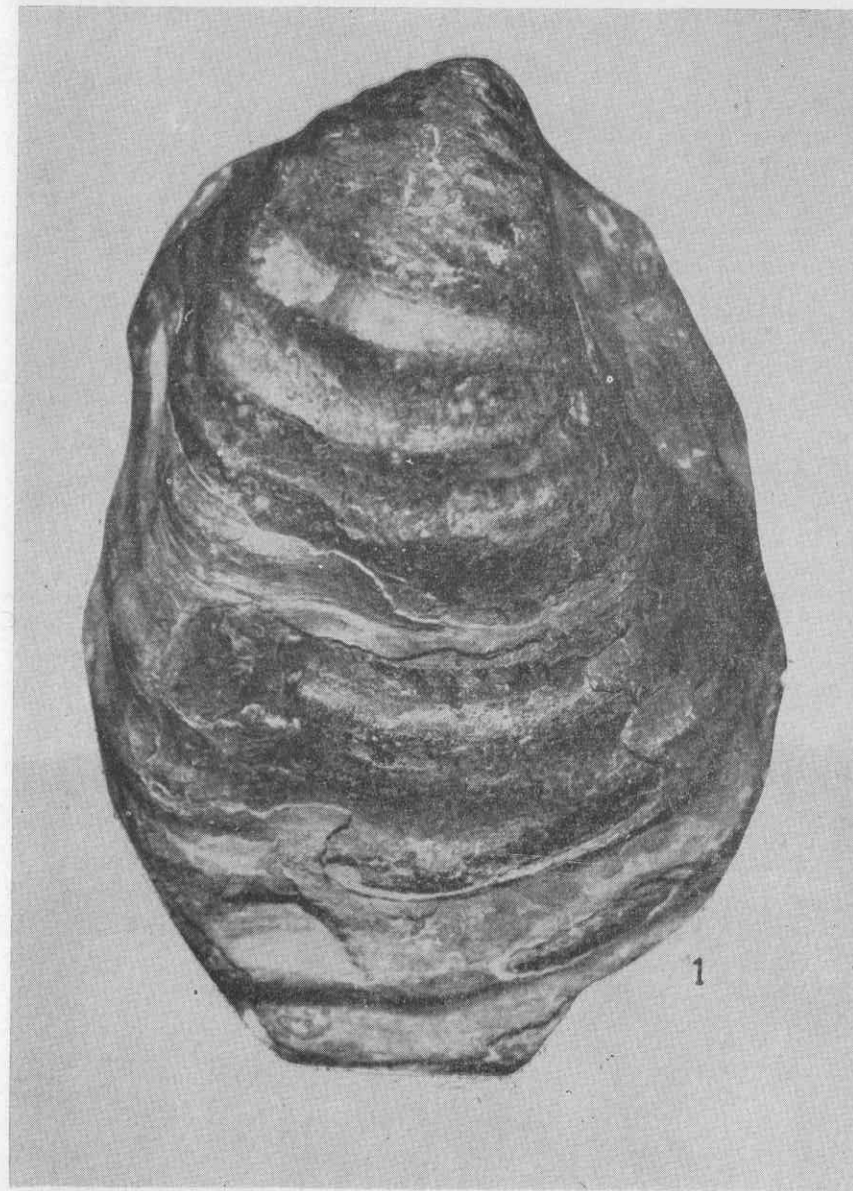


ТАБЛИЦА 32

Фиг. 1. *Ipoceramatus iburiensis* Nagao et Mat. Стр. 41
Вид спереди экземпляра, изображенного на табл. 30 и 31.

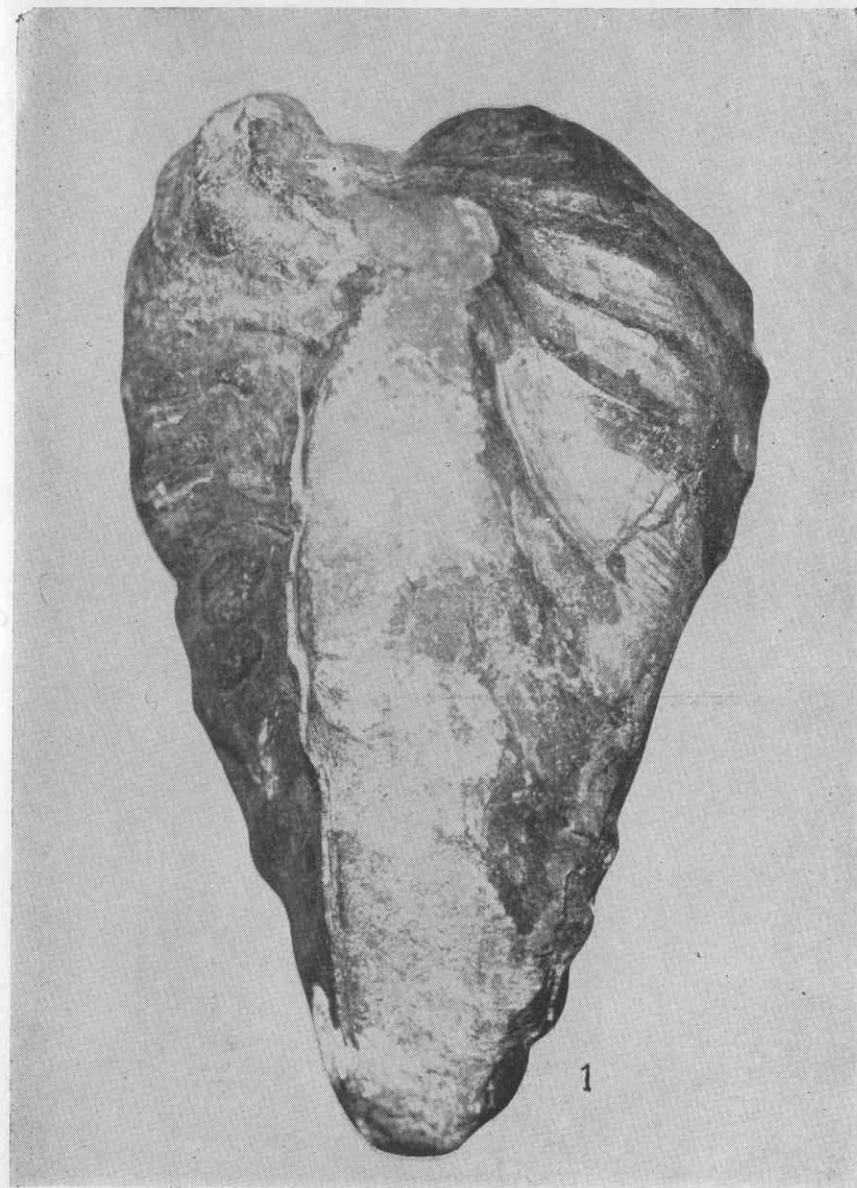


ТАБЛИЦА 33

- Фиг. 1 и 2. *Jimboiceras planulatiforme* (Jimbo) Стр. 41
 1 — вид сбоку; 2 — перегородочная линия при $T = 24$ мм.
 Северо-восточное побережье Пенжинской губы; основание
 быстринской свиты (М. А. Пергамент, 1954).
- Фиг. 3а—б. *Scaphites planus* Yabe Стр. 41
 а — вид сбоку; б — брюшная сторона. Северо-восточное побе-
 режье Пенжинской губы; основание быстринской свиты
 (М. А. Пергамент, 1954).
- Фиг. 4. *Scaphites puerqulus* Jimbo Стр. 42.
 Вид сбоку. Бухта Угольная; основание барыковской свиты
 (Г. П. Терехова, 1961).

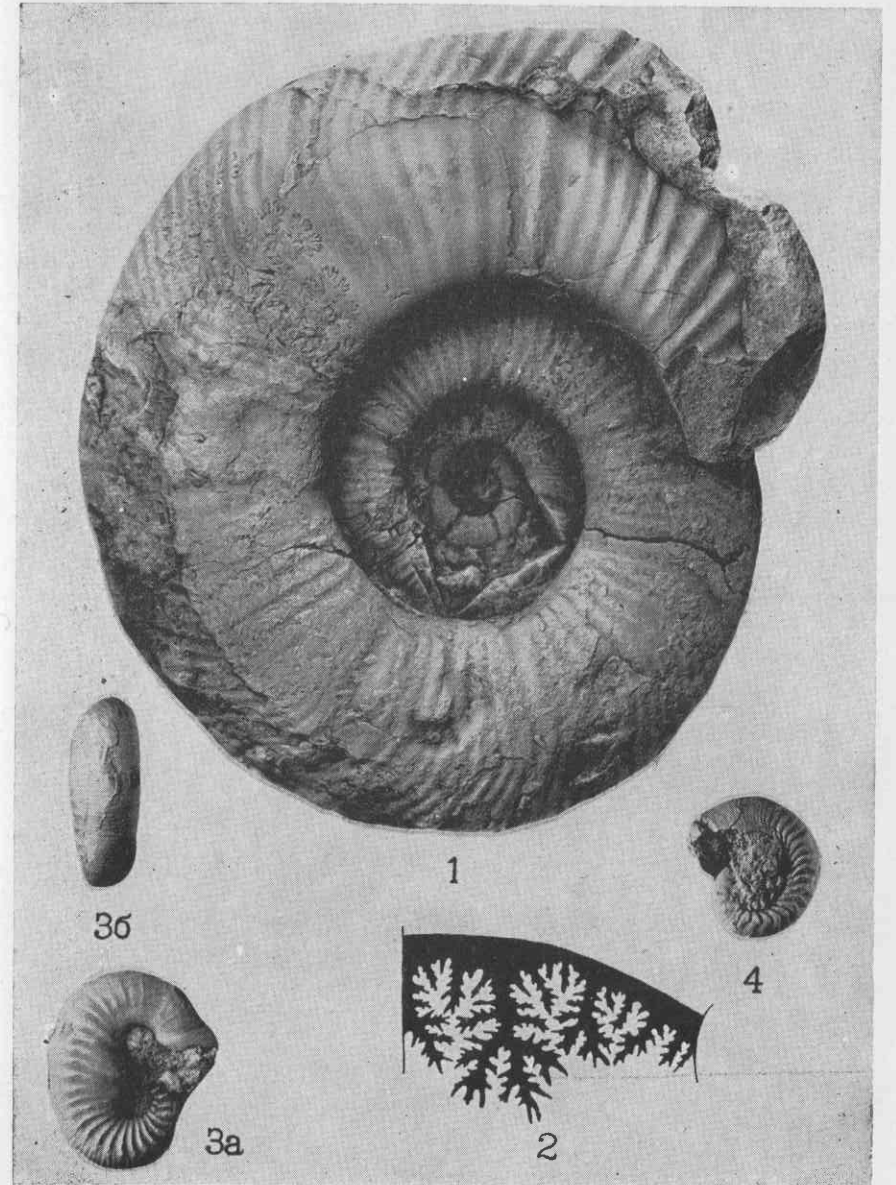


ТАБЛИЦА 34

- Фиг. 1а—в. *Scaphites* aff. *planus* Yabe Стр. 42.
a — вид сбоку; *b* — вид с устья; *в* — брюшная сторона. Северо-восточное побережье Пенжинской губы; основание быстринской свиты (В. П. Похилайнен, 1962).
- Фиг. 2а—в. *Scaphites* *perrini* Anderson Стр. 42.
a — вид сбоку; *b* — вид с устья; *в* — брюшная сторона. Северо-восточное побережье Пенжинской губы; основание быстринской свиты (М. А. Пергамент, 1954).
- Фиг. 3. Перегородочная линия *Scaphites* *perrini* Anderson . . . Стр. 42.
 По Ябе, 1910, текст. фиг. 3.
- Фиг. 4, 5а—б. *Scaphites* cf. *pseudoequalis* Yabe Стр. 43
4 и *5a* — вид сбоку; *5б* — брюшная сторона. Северо-восточное побережье Пенжинской губы; основание быстринской свиты (М. А. Пергамент, 1953).
- Фиг. 6. Перегородочная линия *Scaphites* *pseudoequalis* Yabe, $\times 5$ Стр. 43
 По Ябе, 1910, табл. XV, фиг. 3.
- Фиг. 7а—б. *Scaphites* aff. *gracilis* Yabe Стр. 43
a — вид сбоку; *b* — вид с устья. Северо-восточное побережье Пенжинской губы; основание быстринской свиты (М. А. Пергамент, 1954).
- Фиг. 8. *Scaphites* sp. Стр. 43
 Вид сбоку. Бухта Угольная; основание барыковской свиты (Г. П. Терехова, 1961).

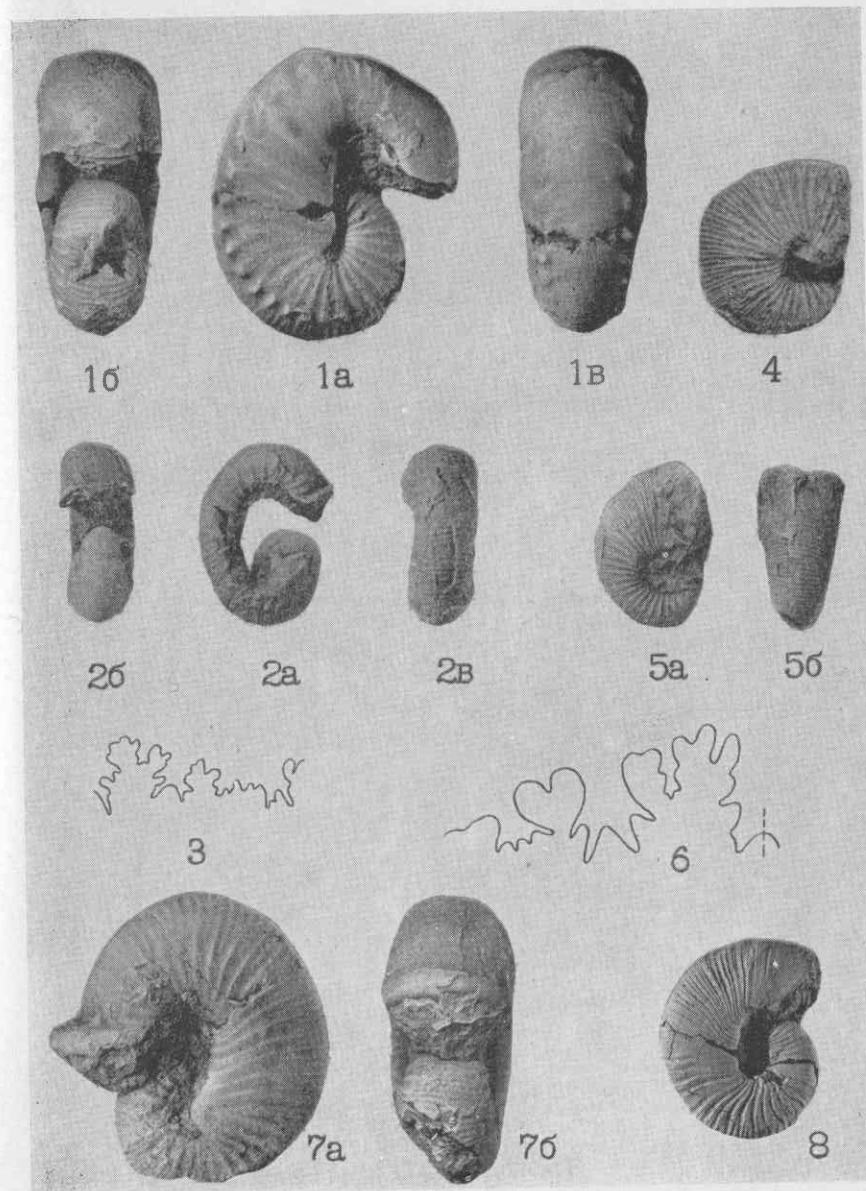


ТАБЛИЦА 35

Фиг. 1а—б. *Huphantoceras* cf. *reussianum* (Schlüter) Стр. 44

а — брюшная сторона; б — вид сбоку. Северо-восточное побережье Пенжинской губы; основание быстринской свиты (В. П. Похялайнен, 1961).

Фиг. 2а—б. *Scalarites* *scalaris* Jimbo Стр. 44

а — вид сбоку; б — брюшная сторона. Северо-восточное побережье Пенжинской губы; основание быстринской свиты (В. П. Похялайнен, 1961).

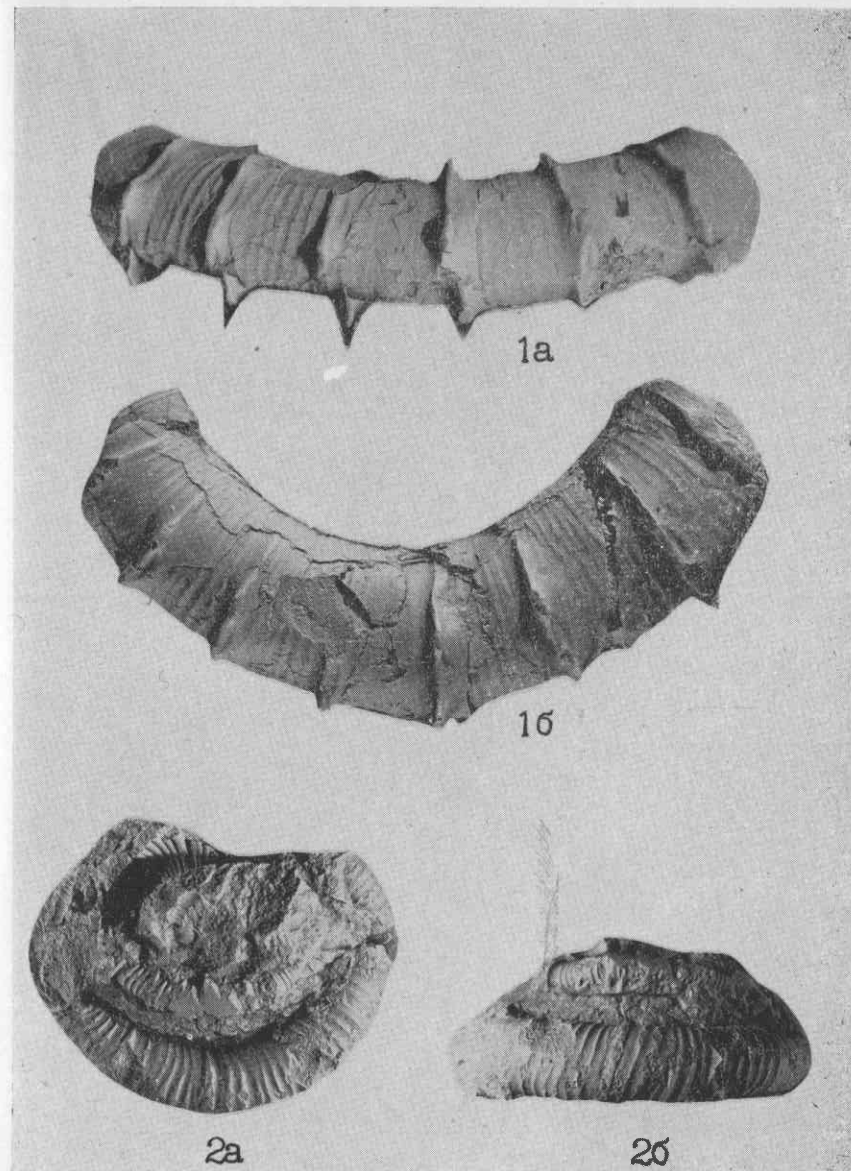


ТАБЛИЦА 36

Фиг. 1а—б. *Scalarites venustum* Yabe Стр. 44
 а — брюшная сторона; б — вид сбоку; Северо-восточное побережье Пенжинской губы; основание быстринской свиты (В. П. Похилайнен, 1962).

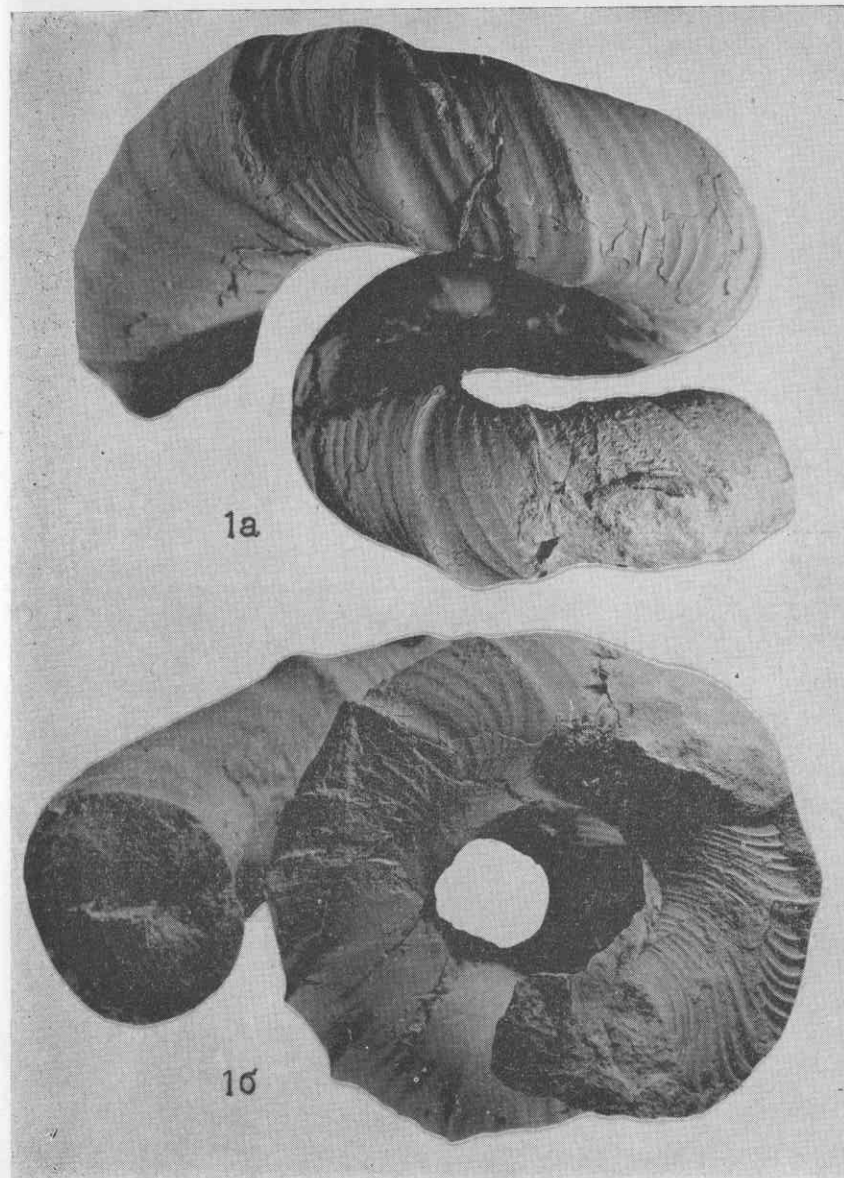


ТАБЛИЦА 37

- Фиг. 1а—б. *Nipponites mirabilis* Yabe Стр. 45
 О. Сахалин, р. Найба; основание быковской свиты (В. Н. Верещагин, 1958).
- Фиг. 2. Перегородочная линия *Nipponites mirabilis* Yabe, $\times 6$ Стр. 45
 По В. В. Друщину и М. А. Пергаменту, 1963.
- Фиг. 3 и 4. *Inoceramus uwajimensis* Yeh. Стр. 45
 3 — левая створка; 4 — правая створка. Северо-восточная часть Корякского хребта; основание барыковской свиты (К. С. Агеев, 1956).

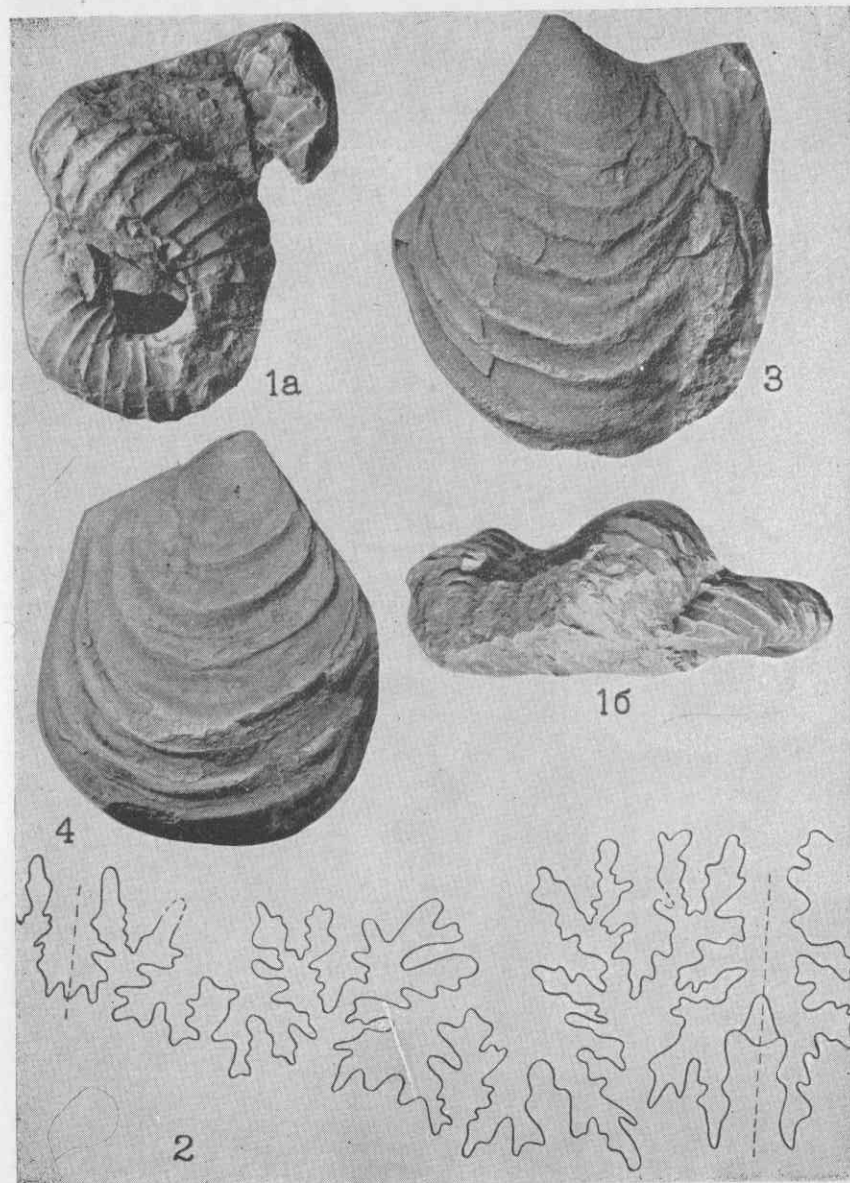


ТАБЛИЦА 38

Фиг. 1а—в. *Inoceramus uwajimensis* Yeh. Стр. 45
а — левая створка; б — правая створка; в — вид спереди.
Бухта Угольная; основание барыковской свиты (Г. П. Терехова, 1961).

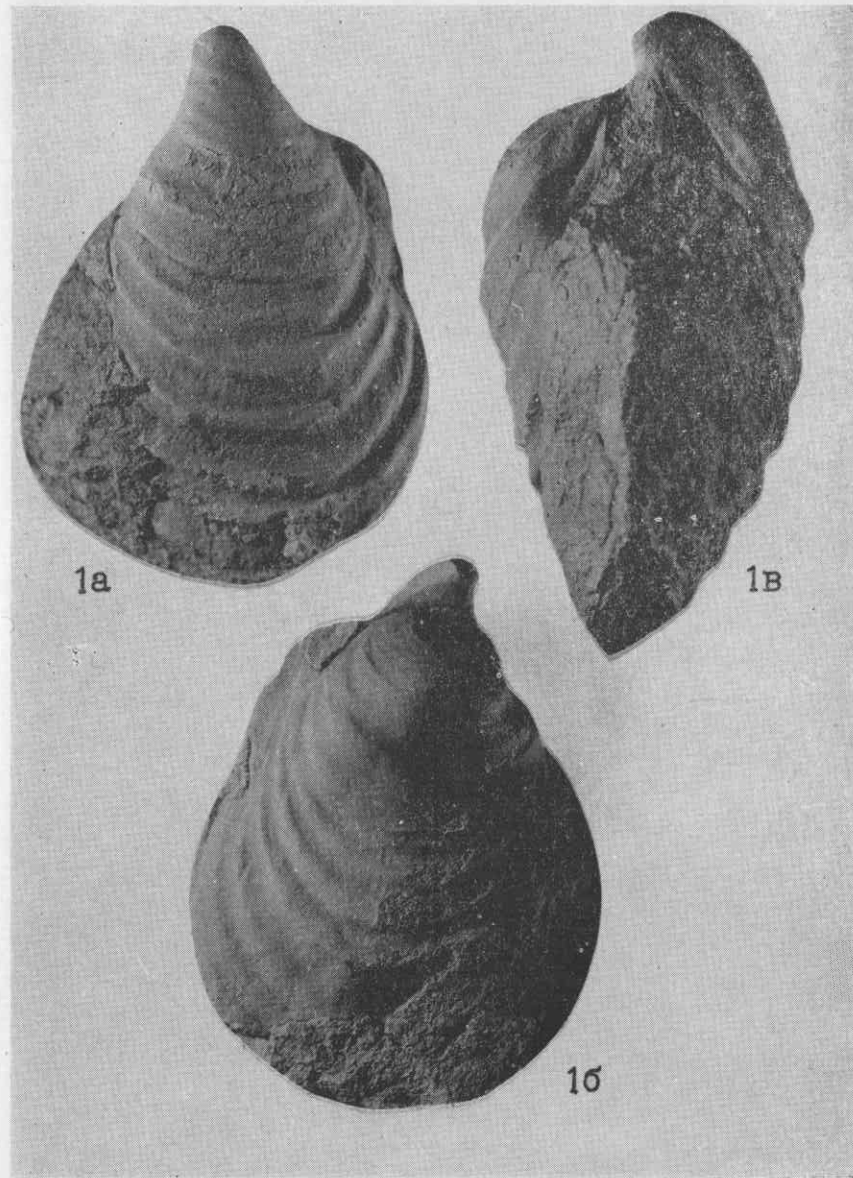


ТАБЛИЦА 39

Фиг. 1а—в. *Inoceramus uwajimensis* Yeh. Стр. 45
 а — левая створка; б — правая створка; в — вид спереди.
 Бухта Угольная; основание барыковской свиты (Г. П. Терехова, 1961).

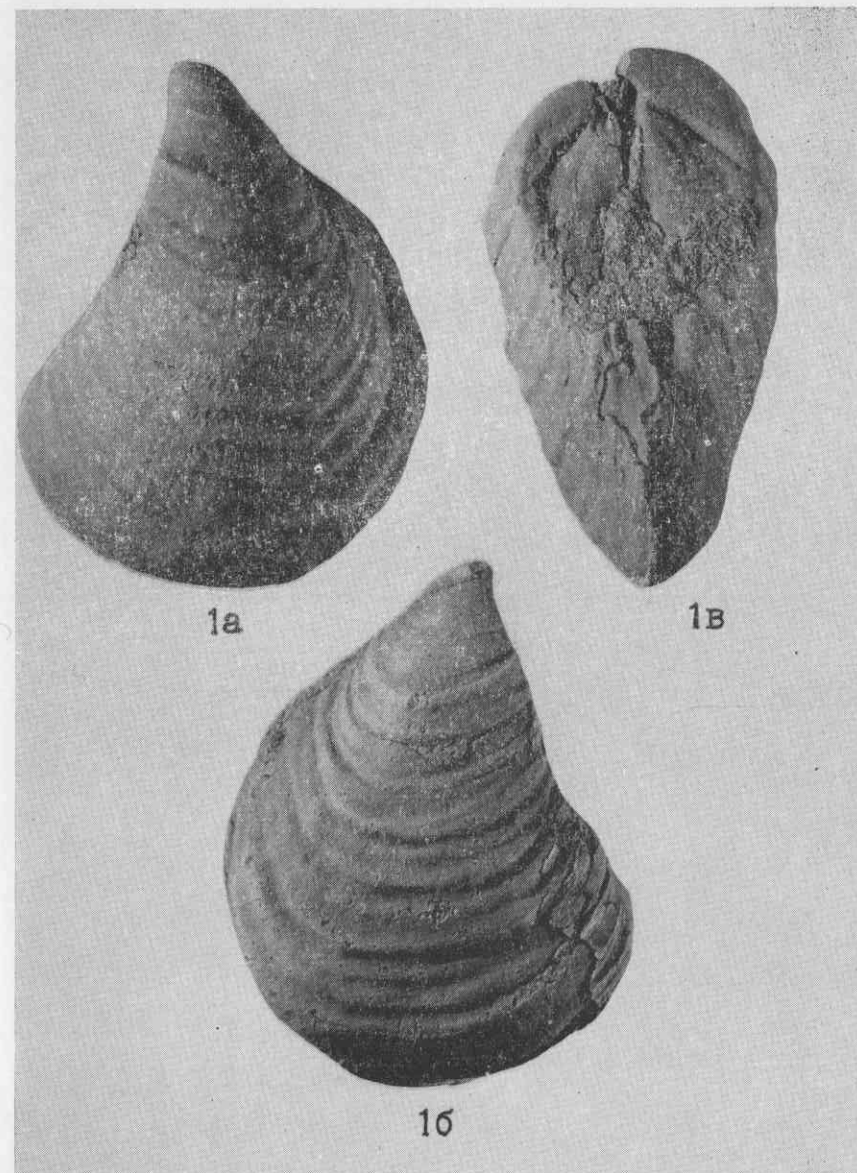


ТАБЛИЦА 40

Фиг. 1. *Inoceramus uwajimensis* Yeh. Стр. 45
Правая створка. Северо-восточная часть Корякского хребта;
основание барыковской свиты (Г. П. Терехова, 1962).

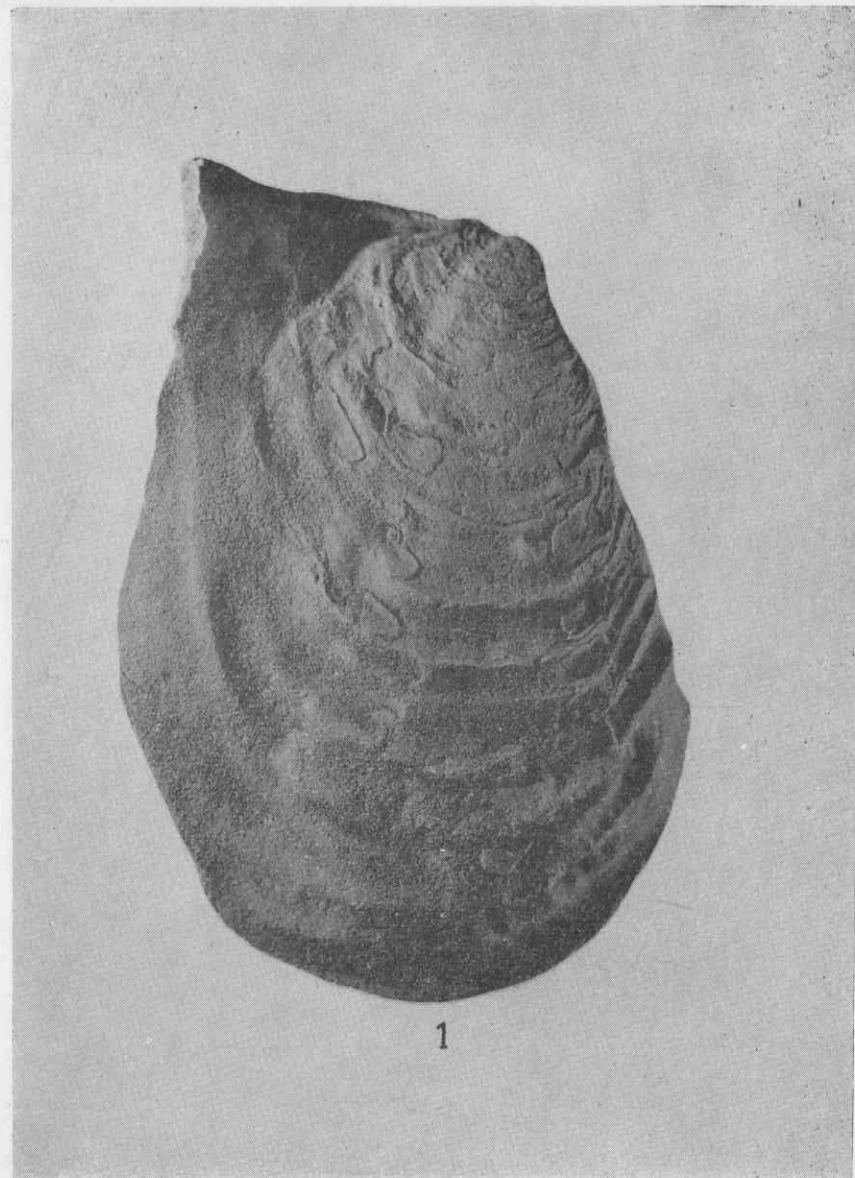


ТАБЛИЦА 41

- Фиг. 1. *Inoceramus uwajimensis* Yeh. Стр. 45
 Правая створка. Северо-восточная часть Корякского хребта;
 основание барыковской свиты (Г. П. Терехова, 1962).
- Фиг. 2а—б. То же Стр. 45
 а — левая створка; б — вид спереди. Северо-восточная часть
 Корякского хребта; основание барыковской свиты (Г. П. Те-
 рехова, 1962).

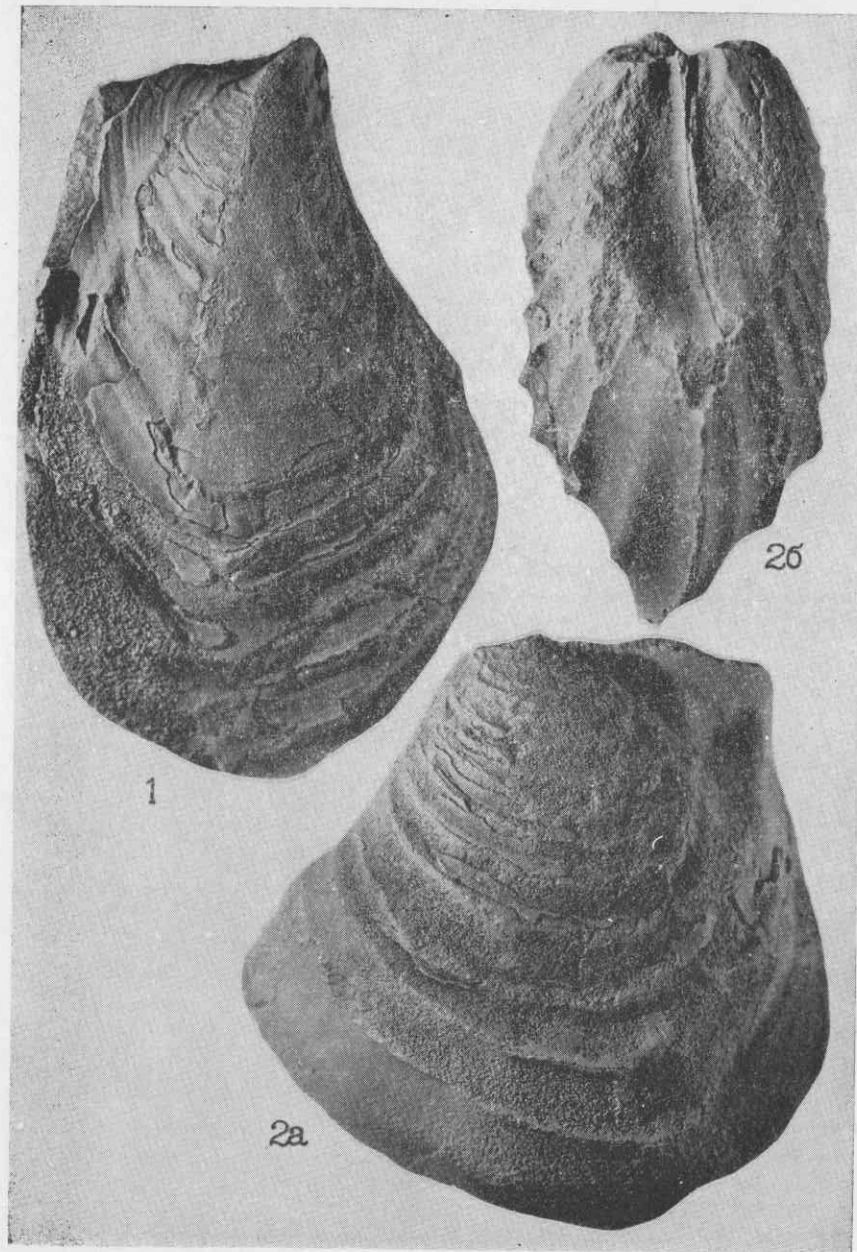


ТАБЛИЦА 42

Фиг. 1а—в. *Inoceramus iwajimensis* Yeh. Стр. 45
а — левая створка; б — правая створка; в — вид спереди.
Северо-восточная часть Корякского хребта; основание бары-
ковской свиты (Г. П. Терехова, 1962).

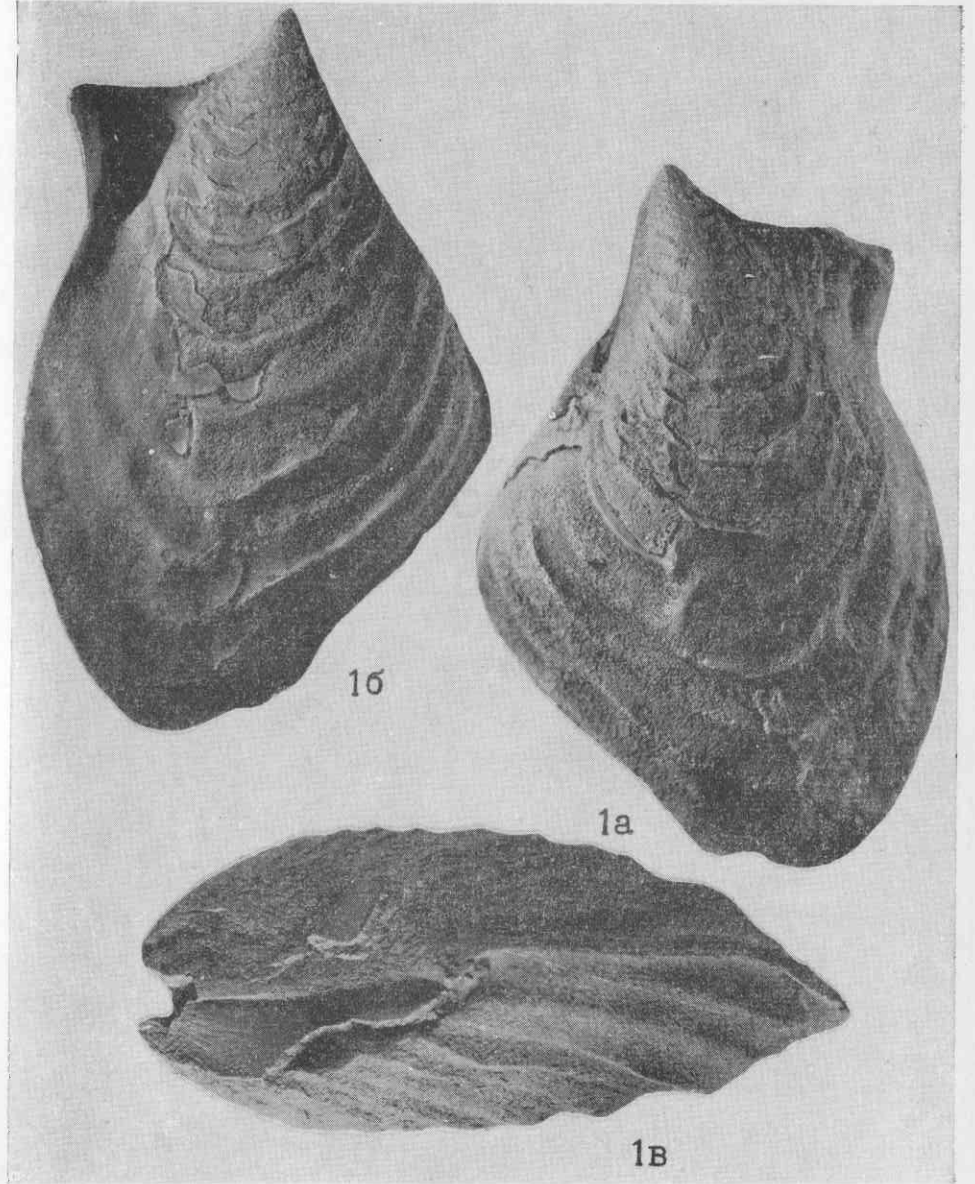


ТАБЛИЦА 43

Фиг. 1. *Ipsogamms uwajimensis* Yeh. Стр. 45
Правая створка. Северо-восточная часть Корякского хребта;
основание барыковской свиты (Г. П. Терехова, 1962).

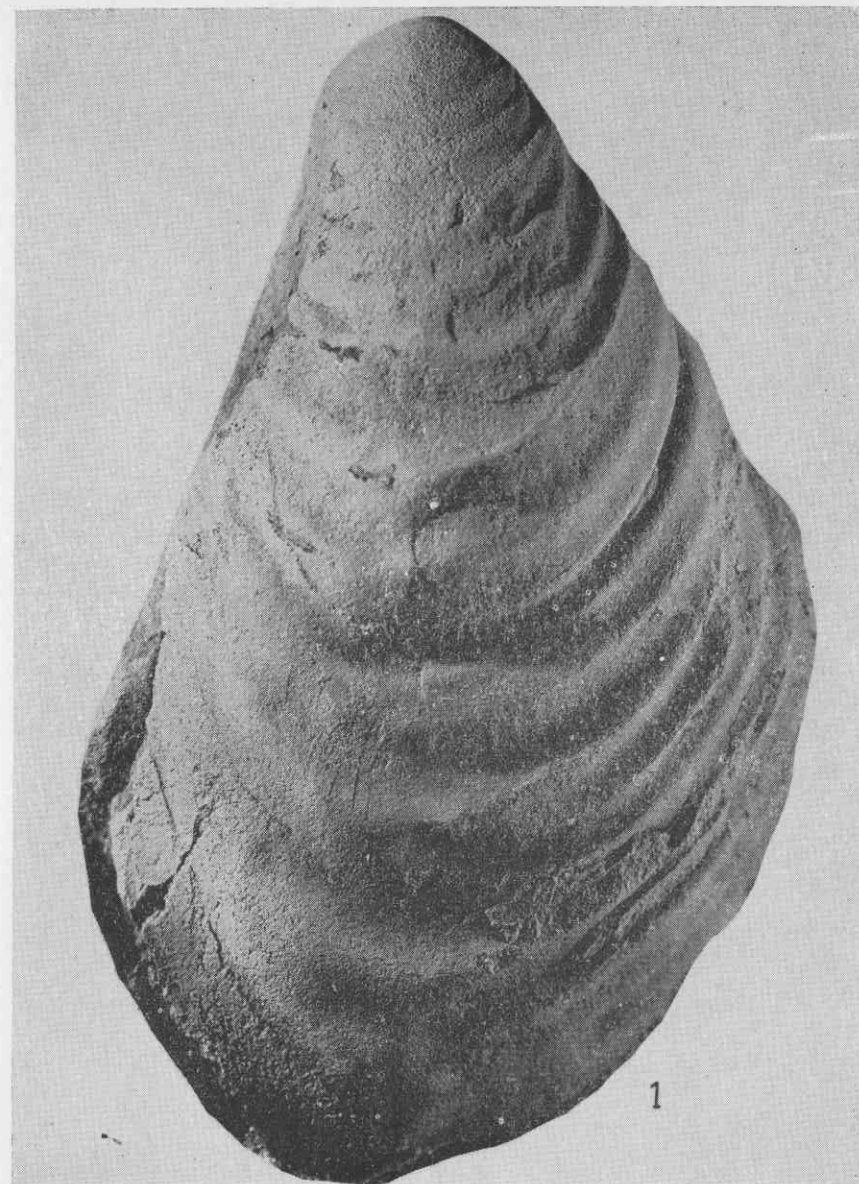


ТАБЛИЦА 44

- Фиг. 1. *Inoceramus iwajimensis* Yeh. Стр. 45
 Вид спереди экземпляра, изображенного на табл. 43.
- Фиг. 2а—б, 3 и 4. *Glycymeris veatchii* Gabb Стр. 45
 2а — правая створка; 2б — вид со стороны макушек; 3 — отпечаток внутренней поверхности створки (другого экземпляра); 4 — левая створка. Бухта Угольная; основание барыковской свиты (Г. П. Терехова, 1961).

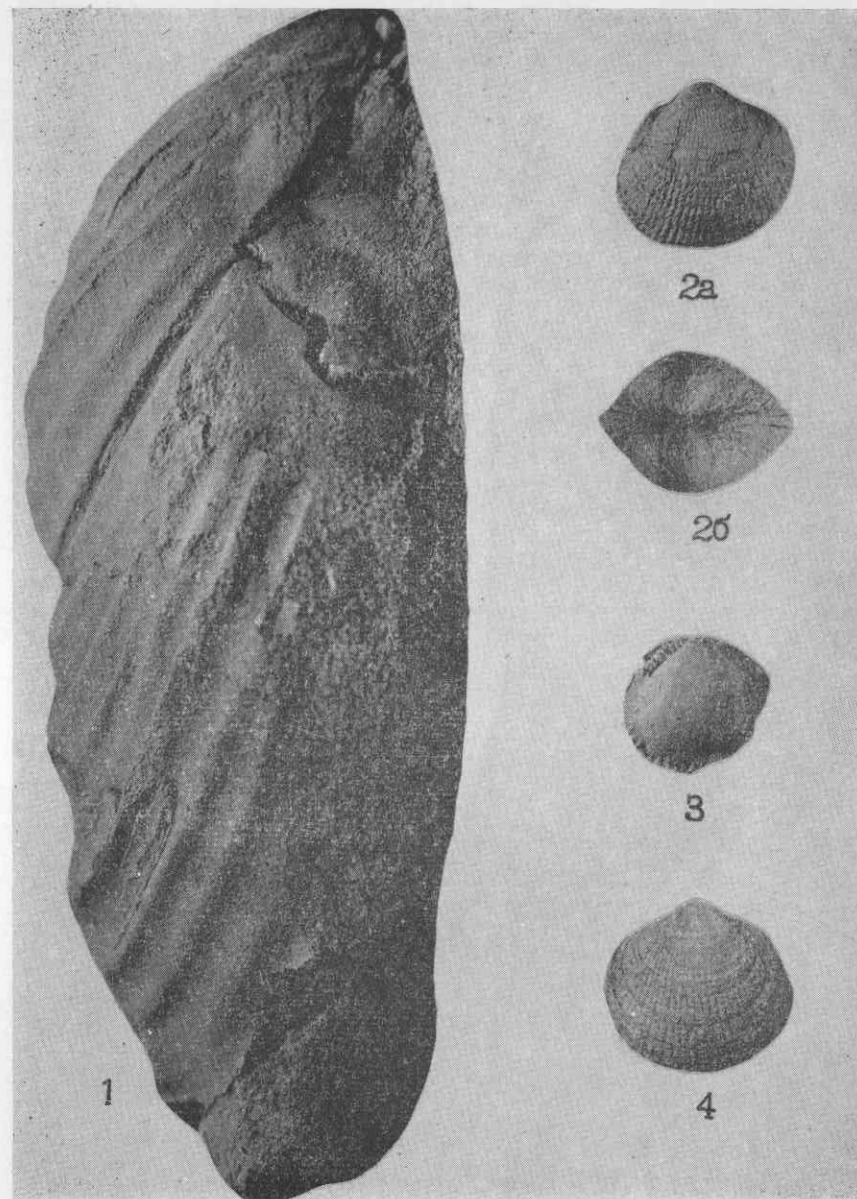


ТАБЛИЦА 45

- Фиг. 1а—б. *Hyporhyoloceras gamosum* Meek Стр. 46
 а — вид сбоку; б — перегородочная линия при $T = 18$ мм.
 о. Сахалин, р. Найба; быковская свита (В. Н. Верещагин, 1958).
- Фиг. 2а—в. То же Стр. 46
 а — вид сбоку; б — вид с устья; в — брюшная сторона. О. Са-
 халин, р. Найба; быковская свита (В. Н. Верещагин, 1958).
- Фиг. 3. То же Стр. 46
 Вид сбоку. О. Сахалин, р. Найба; быковская свита (В. Н. Ве-
 рещагин, 1958).
- Фиг. 4. То же Стр. 46
 Вид сбоку. Бухта Угольная; основание барыковской свиты
 (Г. П. Терехова, 1961).

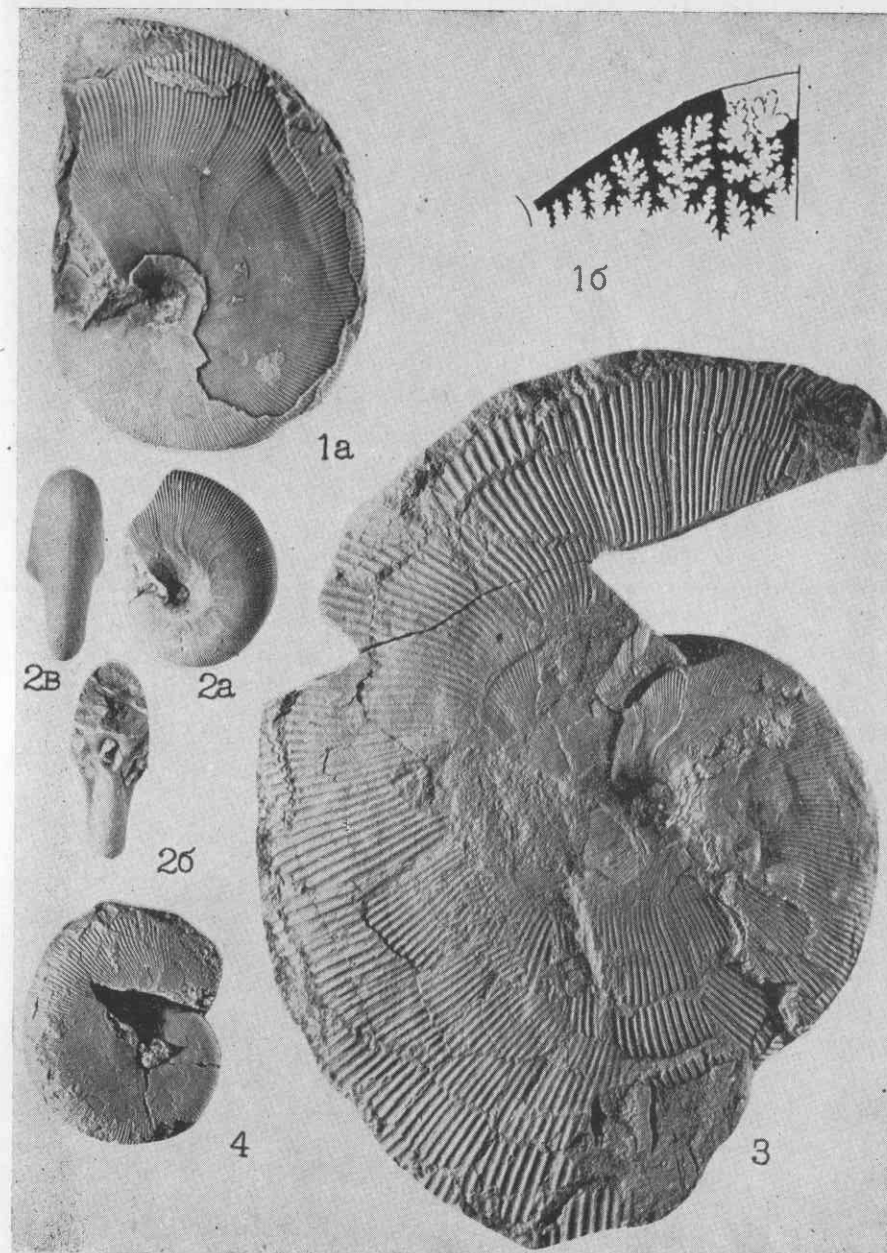


ТАБЛИЦА 46

- Фиг. 1а—б. *Inoceramus mihoensis* Mat., $\times 0,7$ Стр. 46
 а — левая створка; б — вид сзади. О. Сахалин, р. Найба; бы-
 ковская свита (В. Н. Верещагин, 1958).
- Фиг. 2. *Inoceramus paumotu* Yok. Стр. 47
 Правая створка. Бухта Угольная; барыковская свита
 (Г. П. Терехова, 1961).
- Фиг. 3. То же Стр. 47
 Левая створка. Северо-восточное побережье Пенжинской гу-
 бы; быстринская свита (В. П. Похналайнен, 1961).

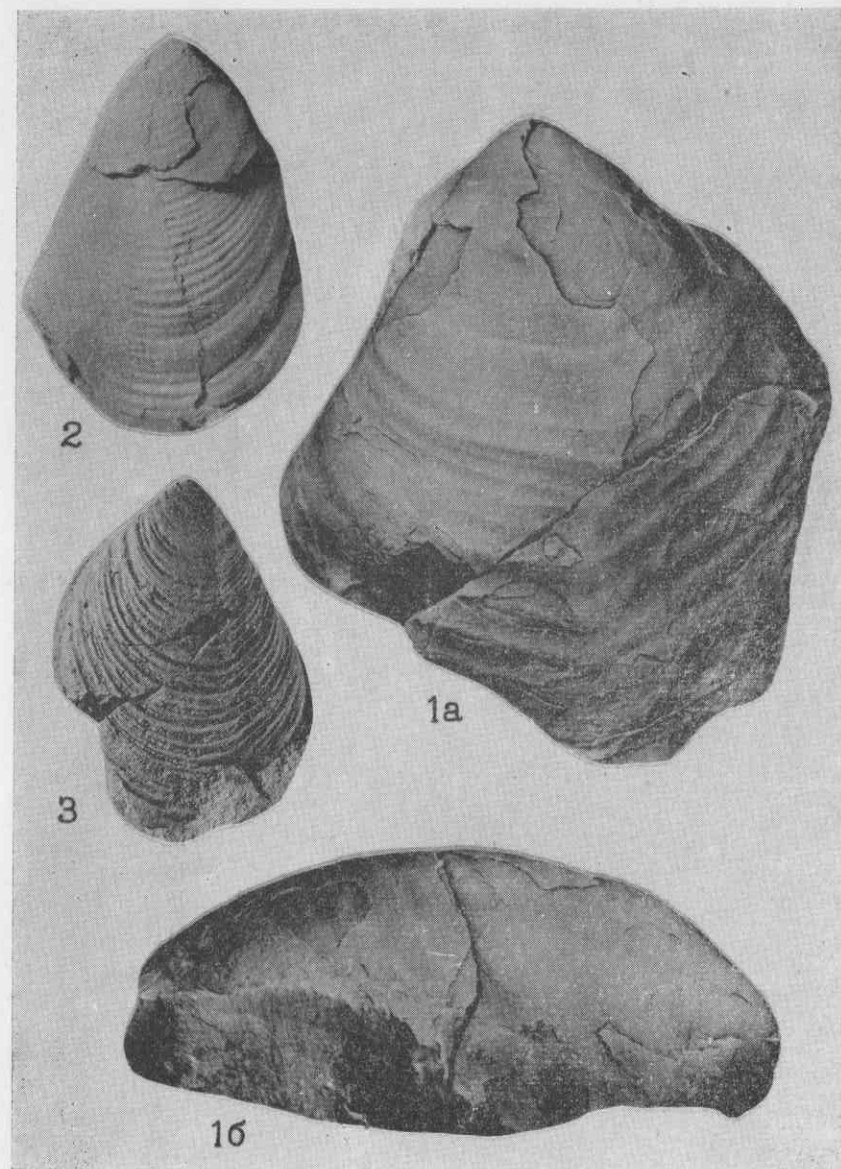


ТАБЛИЦА 47

Фиг. 1а—в. *Inoceramus pagaoi* Zonova Стр. 47
а — левая створка; б — правая створка; в — вид спереди.
Бухта Угольная; барыковская свита (Г. П. Терехова, 1961).

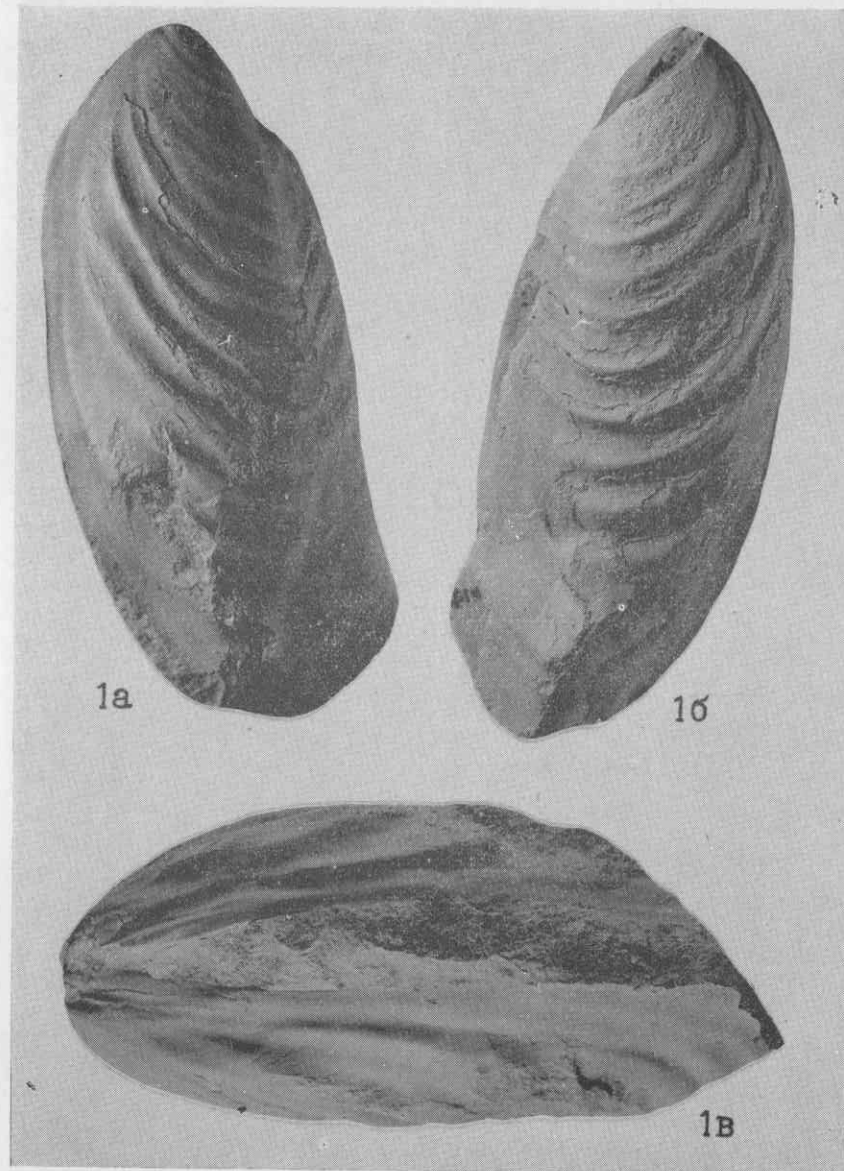


ТАБЛИЦА 48

- Фиг. 1а—б. *Inoceramus ukooyamai* Nagao et Mat Стр. 47
 а — левая створка; б — вид спереди. Северо-восточное побережье Пенжинской губы; быстринская свита (В. П. Похилайнен, 1961).
- Фиг. 2а—в. *Erigonoceras glabrum* Jimbo Стр. 48
 а — вид сбоку; б — вид с устья; в — брюшная сторона. О. Сахалин, р. Лесная; верхняя часть быковской свиты (В. Н. Верещагин, 1958).
- Фиг. 3. То же Стр. 48
 Вид сбоку. О. Сахалин, р. Найба; быковская свита (В. Н. Верещагин, 1958).

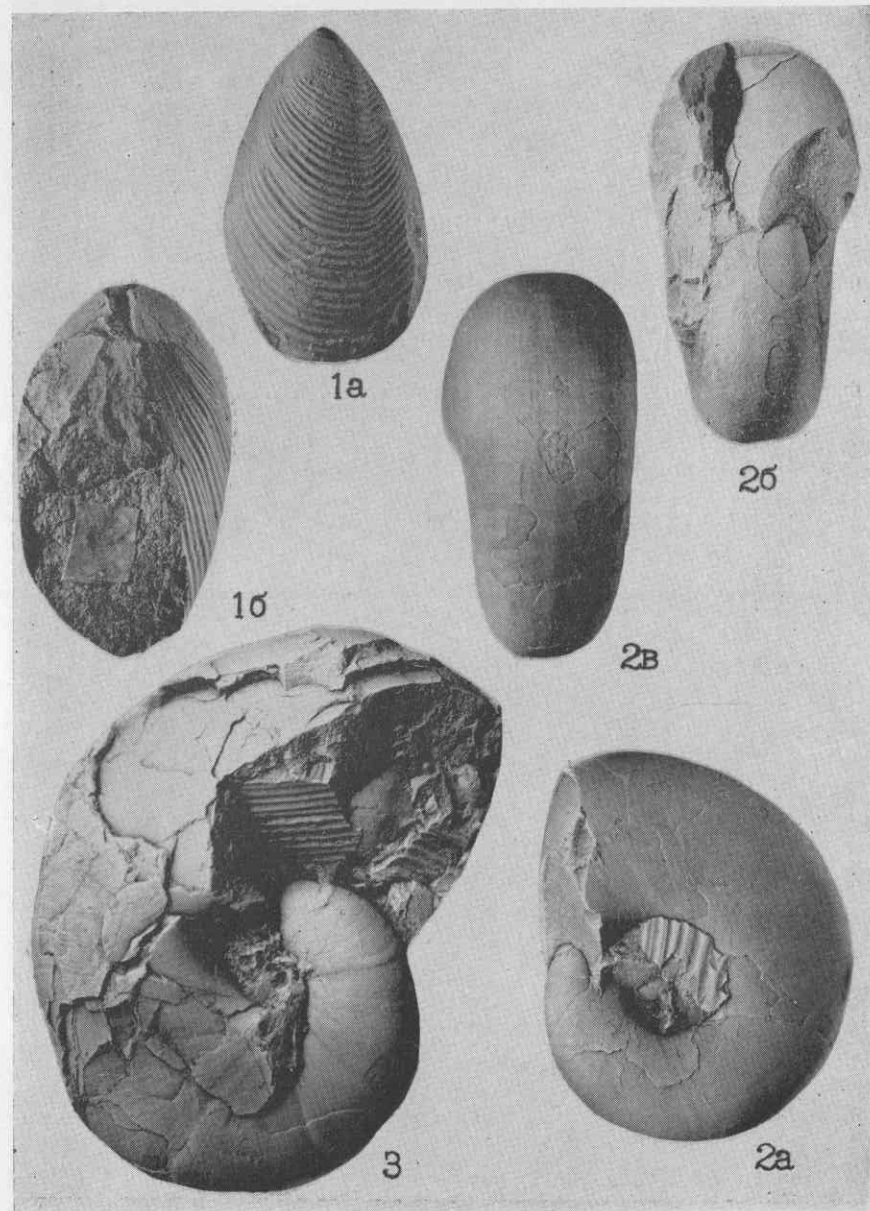


ТАБЛИЦА 49

- Фиг. 1а—б. *Gaudryceras* aff. *varagurense* Kossmat Стр. 48
 а — вид сбоку; б — поперечное сечение. Северо-восточное побережье Пенжинской губы; быстринская свита (М. А. Пергамент, 1956).
- Фиг. 2а—б. *Gaudryceras* *kamtschatkensis* Ver. sp. nov. Стр. 48
 а — вид сбоку; б — брюшная сторона. Северо-восточное побережье Пенжинской губы; быстринская свита (М. А. Пергамент, 1956).

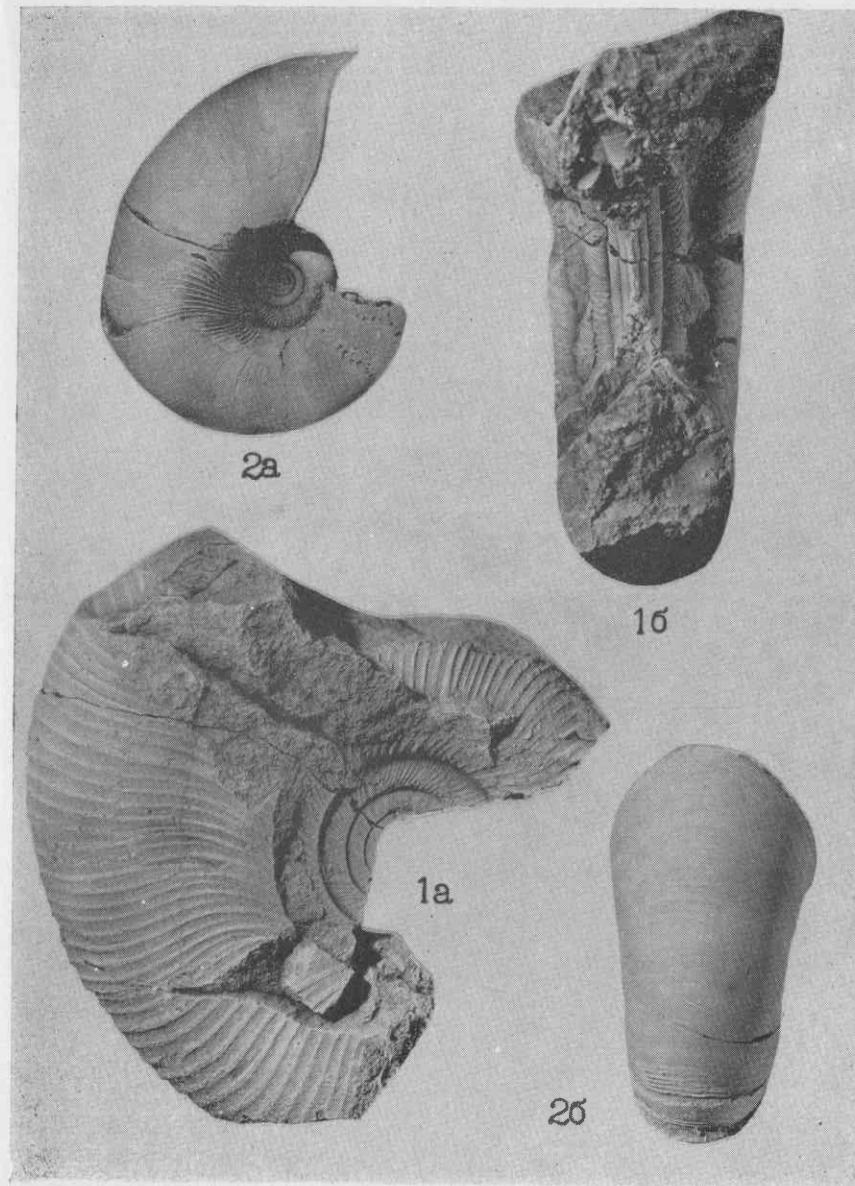


ТАБЛИЦА 50

Фиг. 1а—в. *Gaudryceras tenuiliratum* Yabe var. *ornata* Yabe Стр. 49
 а — вид сбоку; б — вид с устья; в — брюшная сторона. О. Са-
 халин, р. Красноярка; быковская свита (В. Н. Вереща-
 гин, 1958).

Фиг. 2а—б. То же Стр. 49
 а — вид сбоку; б — брюшная сторона. О. Сахалин, р. Крас-
 ноярка; быковская свита (В. Н. Верещагин, 1958).

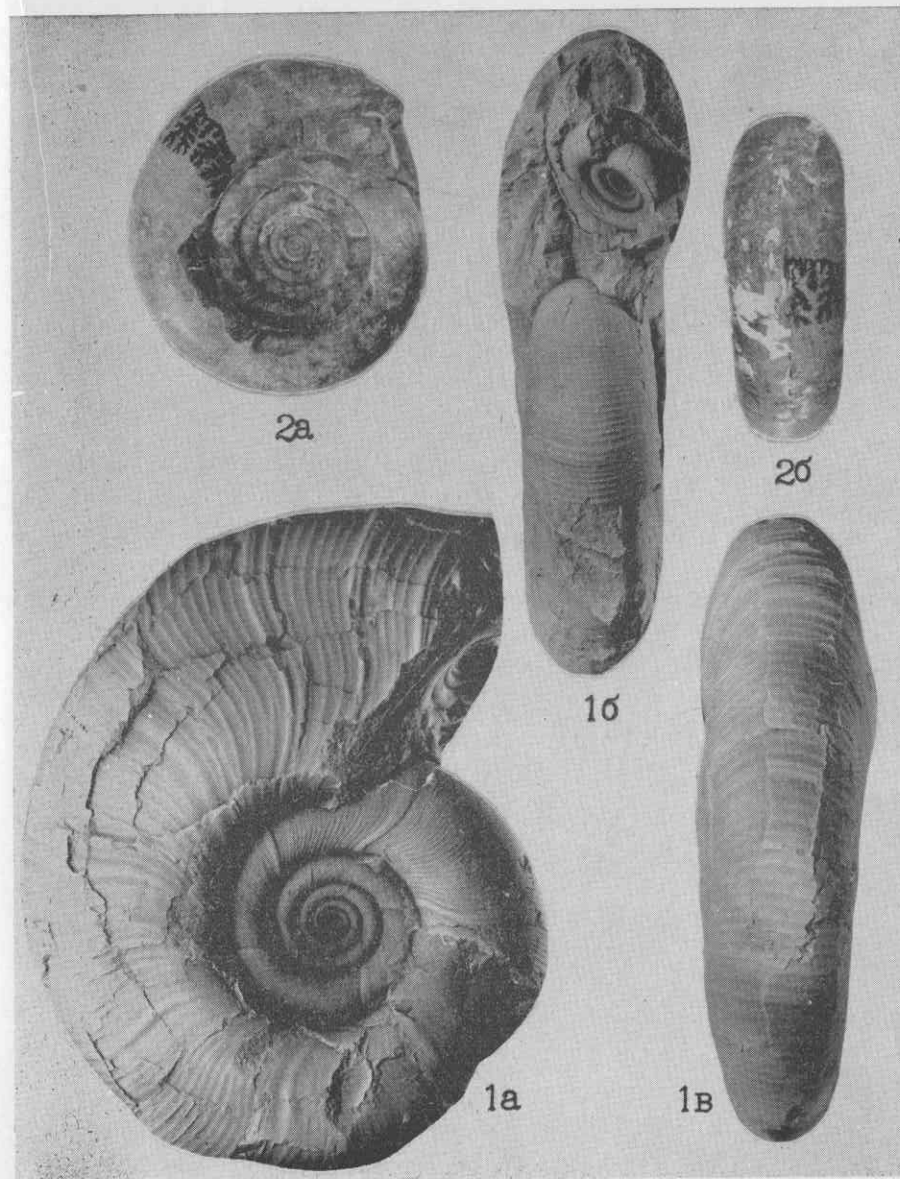


ТАБЛИЦА 51

- Фиг. 1. Перегородочная линия *Gaudryceras tenuiliratum* Yabe
var. *ornata* Yabe при $T = 16$ мм Стр. 49
О. Сахалин (В. Н. Верещагин, 1958).
- Фиг. 2а—б. *Gaudryceras tenuiliratum* Yabe var. *infraquens* Yabe Стр. 49
а — вид сбоку; б — брюшная сторона. О. Сахалин, р. Найба;
нижняя часть быковской свиты (В. Н. Верещагин, 1958).
- Фиг. 3. То же Стр. 49
Вид сбоку. Северо-восточное побережье Пенжинской губы;
нижняя часть быстринской свиты (М. А. Пергамент, 1954).
- Фиг. 4а—б. То же Стр. 49
а — вид сбоку; б — вид с устья. О. Сахалин, р. Найба; ниж-
няя часть быковской свиты (В. Е. Бевз, 1959).

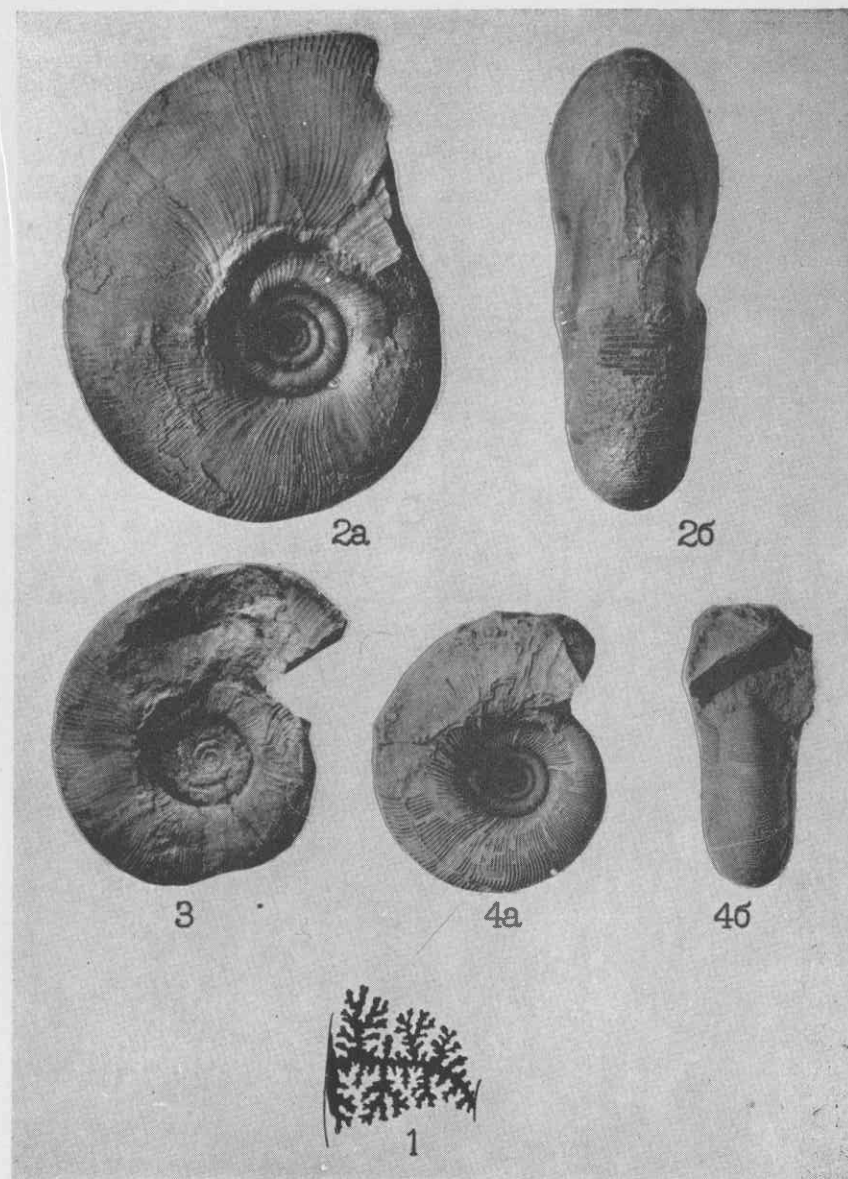


ТАБЛИЦА 52

- Фиг. 1а—б. *Gaudryceras denseplicatum* Jimbo Стр. 49
 а — вид сбоку; б — вид с устья. Бухта Угольная; барыков-
 ская свита (Г. П. Терехова, 1961).
- Фиг. 2. Перегородочная линия *Gaudryceras denseplicatum* Jimbo
 при $T = 20$ мм Стр. 49
 О. Сахалин (В. Н. Верещагин, 1958).

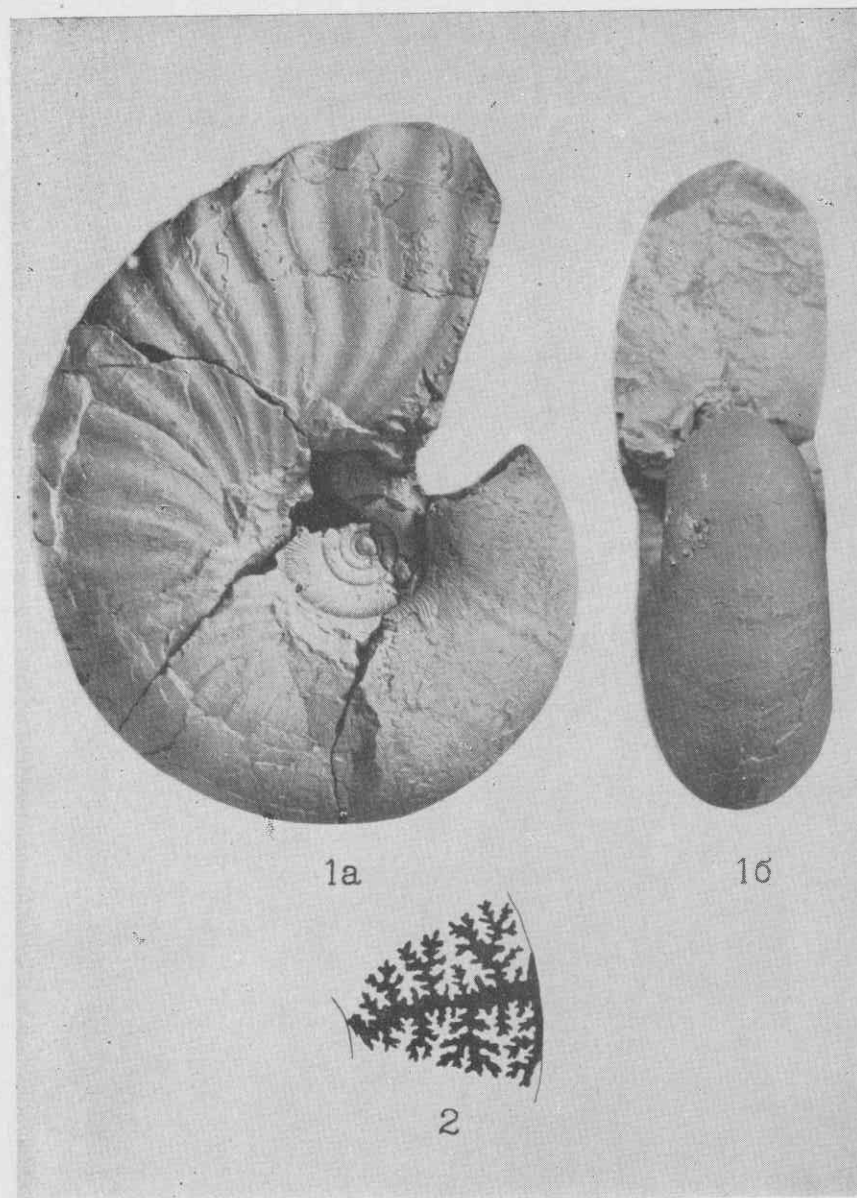


ТАБЛИЦА 53

- Фиг. 1а—б. *Neopuzosia ishikawai* (Jimbo) Стр. 50
 а — вид сбоку; б — вид с устья. Бухта Угольная; барыковская свита (Г. П. Терехова, 1961).
- Фиг. 2. *Mezopuzosia indopacifica* (Kossmat) Стр. 50
 Вид сбоку. Северо-восточное побережье Пенжинской губы; быстринская свита (М. А. Пергамент, 1954).

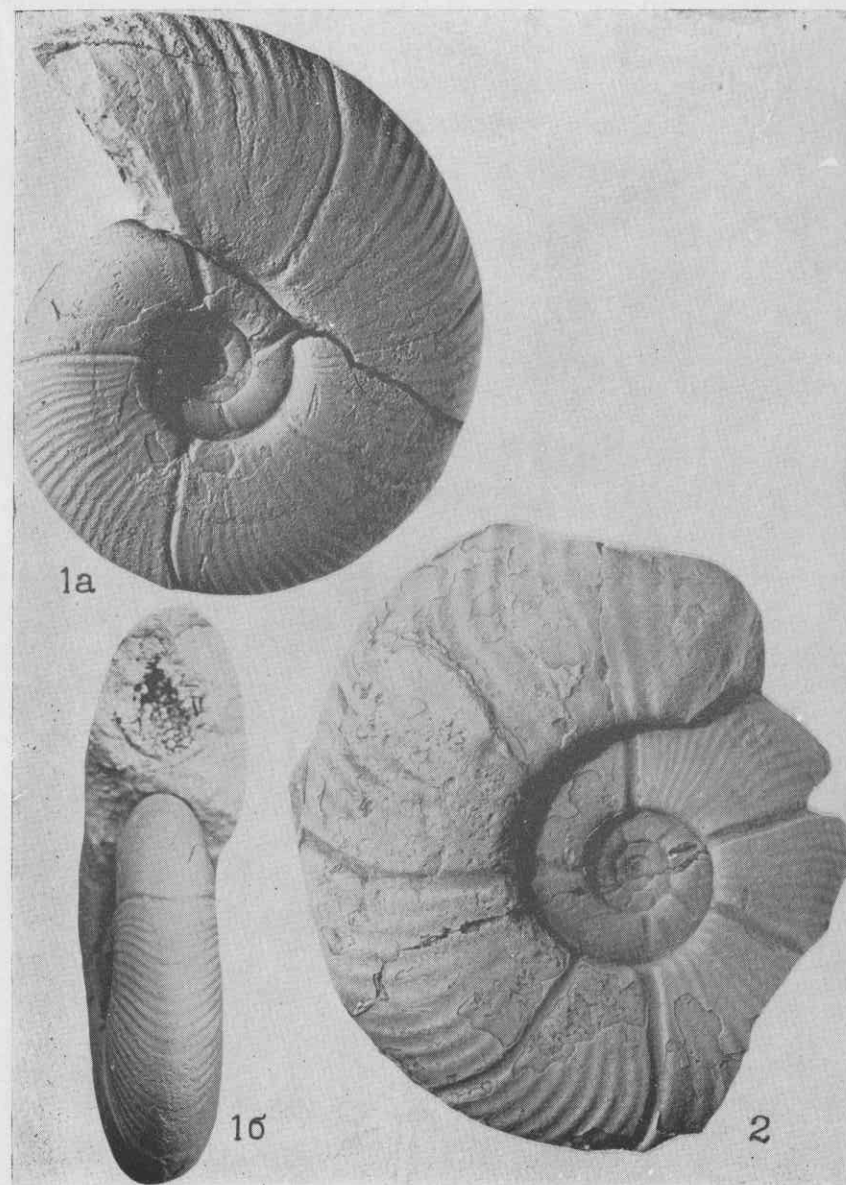


ТАБЛИЦА 54

- Фиг. 1. *Neopuzosia ishikawai* (Jimbo) Стр. 50
 Вид сбоку. Бухта Угольная; барыковская свита (Г. П. Терехова, 1961).
- Фиг. 2. Перегородочная линия *Neopuzosia ishikawai* (Jimbo)
 при $T = 19$ мм Стр. 50
 Бухта Угольная (Т. В. Преображенская, 1964).

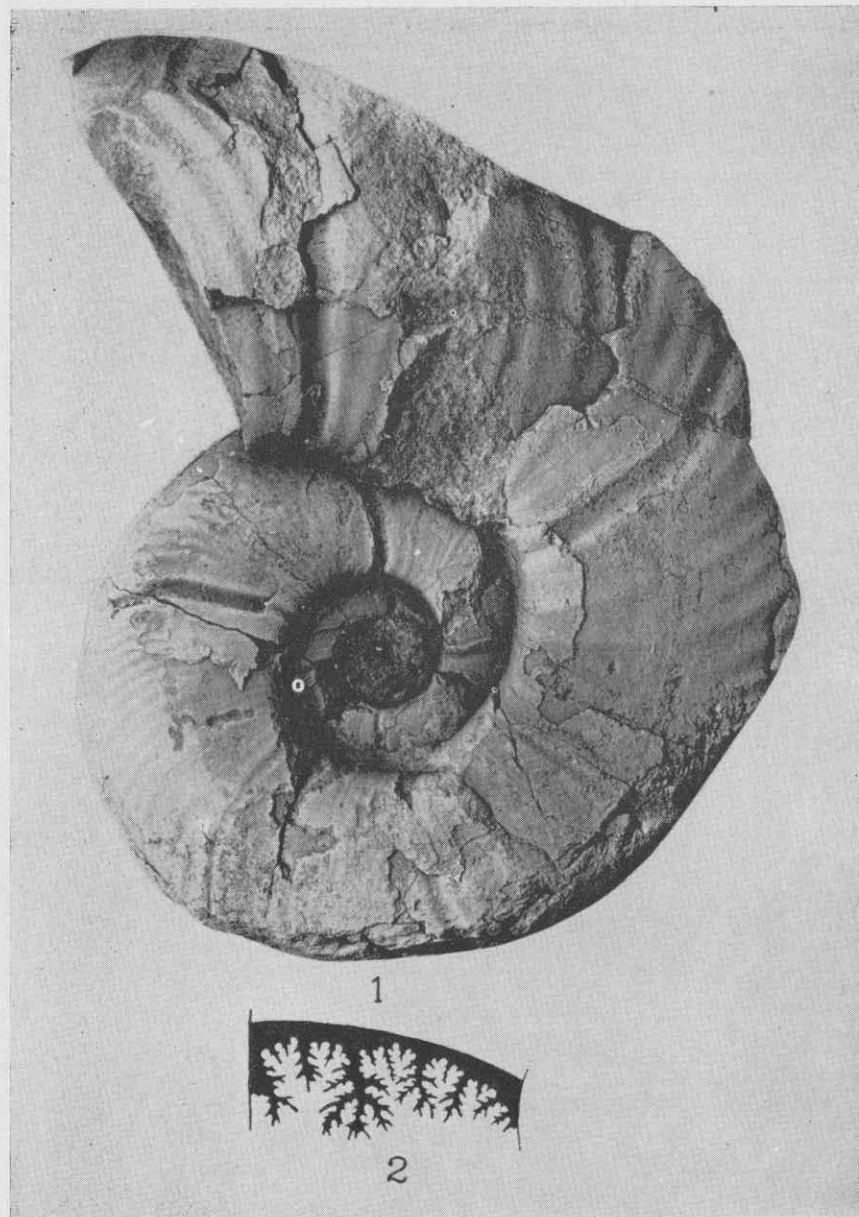


ТАБЛИЦА 55

Фиг. 1. *Eurachydiscus haradai* Jimbo Стр. 50
Вид сбоку. Северо-восточное побережье Пенжинской губы;
верхняя часть быстринской свиты (В. П. Похялайнен, 1961).



ТАБЛИЦА 56

Фиг. 1. *Aparachydiscus paumanni* Yok. Стр. 51
Вид сбоку. Северо-восточное побережье Пенжинской губы;
верхняя часть быстринской свиты (В. П. Похиалайнен, 1961).



ТАБЛИЦА 57

- Фиг. 1. *Eurachydiscus haradai* Jimbo Стр. 50
Вид с устья экземпляра, изображенного на табл. 55.
- Фиг. 2. *Aparachydiscus paumanni* Yok. Стр. 51
Вид с устья экземпляра, изображенного на табл. 56.

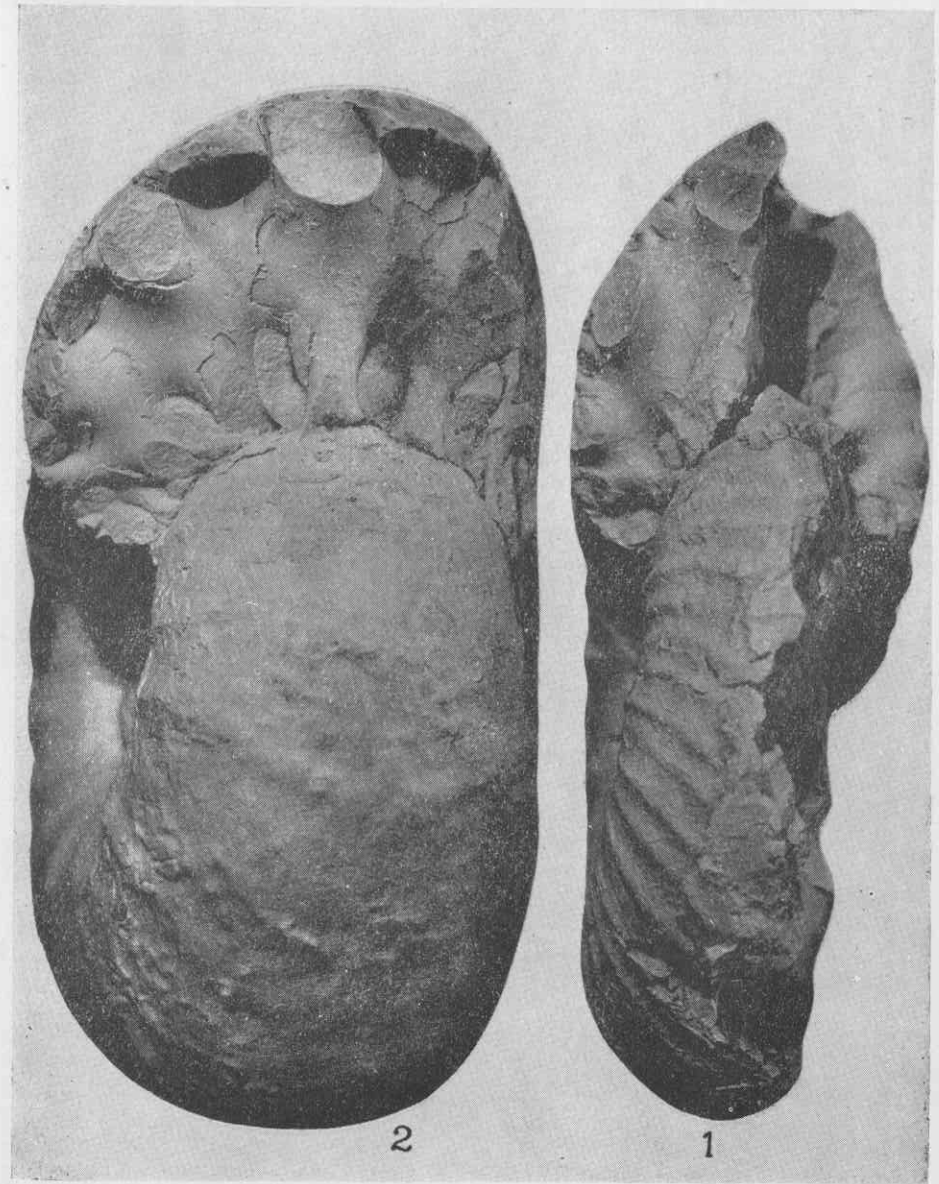


ТАБЛИЦА 53

- Фиг. 1. Перегородочная линия *Aparachydiscus paupanni* Yok.
при $T = 70$ мм Стр. 51
О. Сахалин (В. Н. Верещагин, 1958).
- Фиг. 2а—б. *Polyptychoceras pseudogaultinum* (Yok.) Стр. 51
а — брюшная сторона; б — вид сбоку. О. Сахалин, р. Красно-
ярка; верхняя часть быковской свиты (В. Н. Верещагин,
1958).
- Фиг. 3. Перегородочная линия *Polyptychoceras pseudogaulti-*
nium (Yok.) Стр. 51
- Фиг. 4. *Subptychoceras* sp. Стр. 52
Вид сбоку. О. Сахалин, р. Красноярка; верхняя часть быков-
ской свиты (В. Н. Верещагин, 1958).

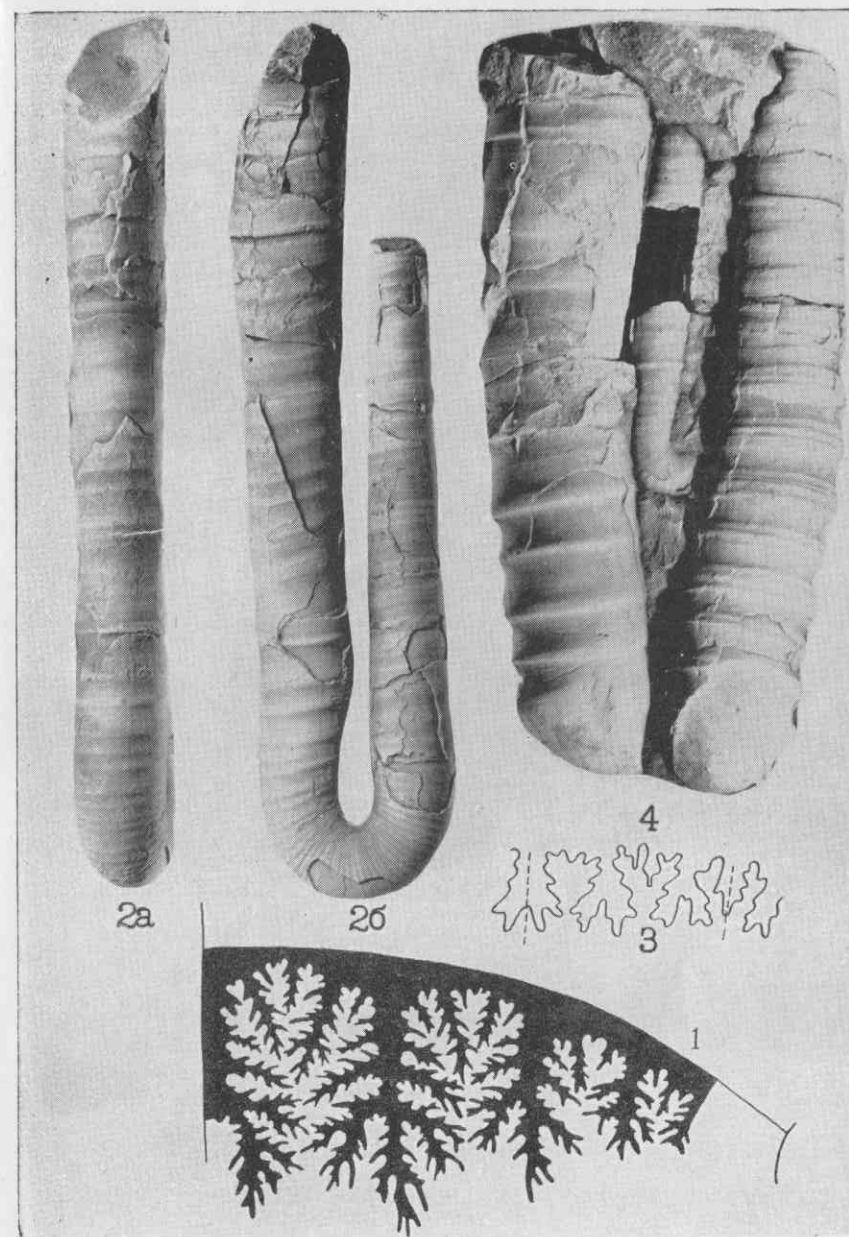


ТАБЛИЦА 59

Фиг. 1. *Inoceramus schmidti* Mich. Стр. 52
По Д. В. Соколову, 1914, табл. 1, фиг. 1.

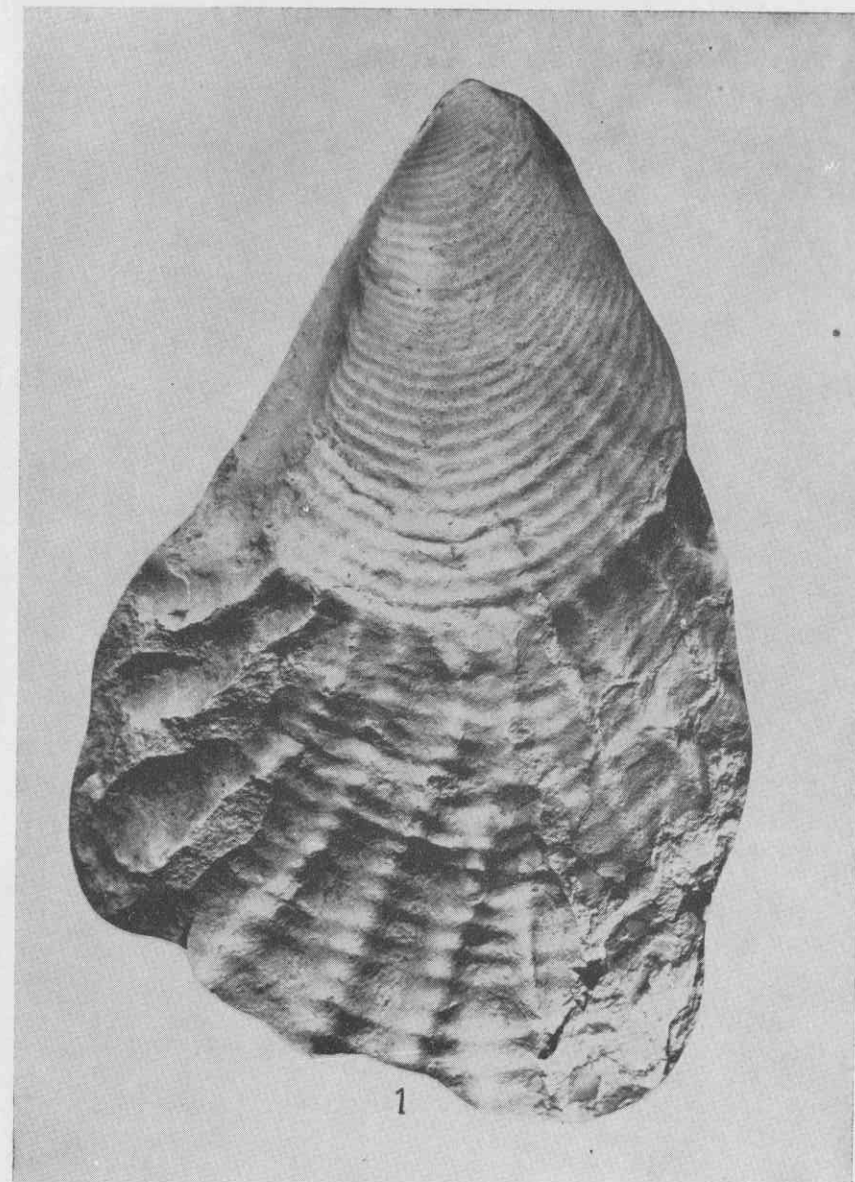


ТАБЛИЦА 60

Фиг. 1. *Inoceramus* ex gr. *schmidti* Mich. Стр. 52
Левая створка. Бухта Угольная; основание корякской свиты
(Г. П. Терехова, 1961).

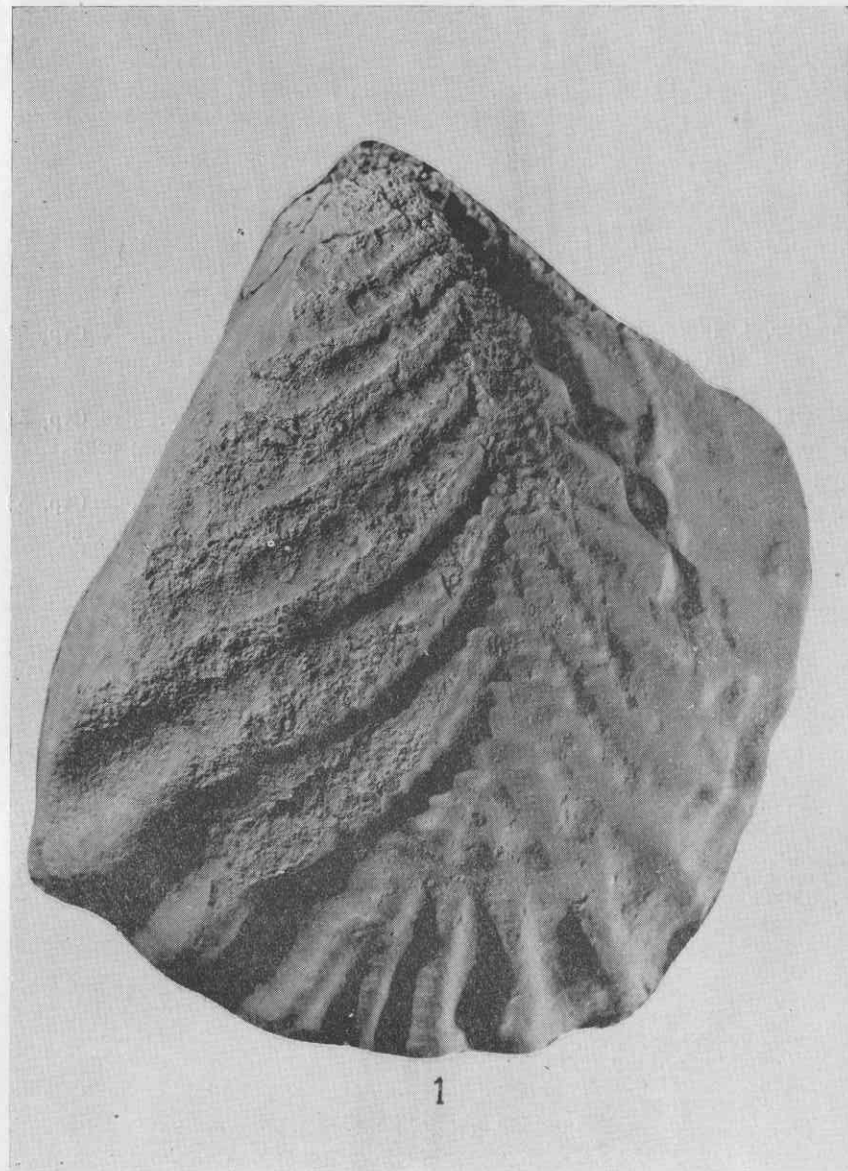


ТАБЛИЦА 61

- Фиг. 1. *Inoceramus* ex gr. *schmidti* Mich. Стр. 52
Вид со стороны левой створки. Бухта Угольная; основание
корякской свиты (Г. П. Терехова, 1961).
- Фиг. 2а—б. *Inoceramus sachalinensis* Sok. Стр. 52
а — правая створка; б — вид спереди. Бухта Угольная; осно-
вание корякской свиты (Г. П. Терехова, 1961).
- Фиг. 3. *Inoceramus orientalis* Sok. Стр. 53
Правая створка. Северо-восточная часть Корякского хребта;
корякская свита (Г. П. Терехова, 1962).

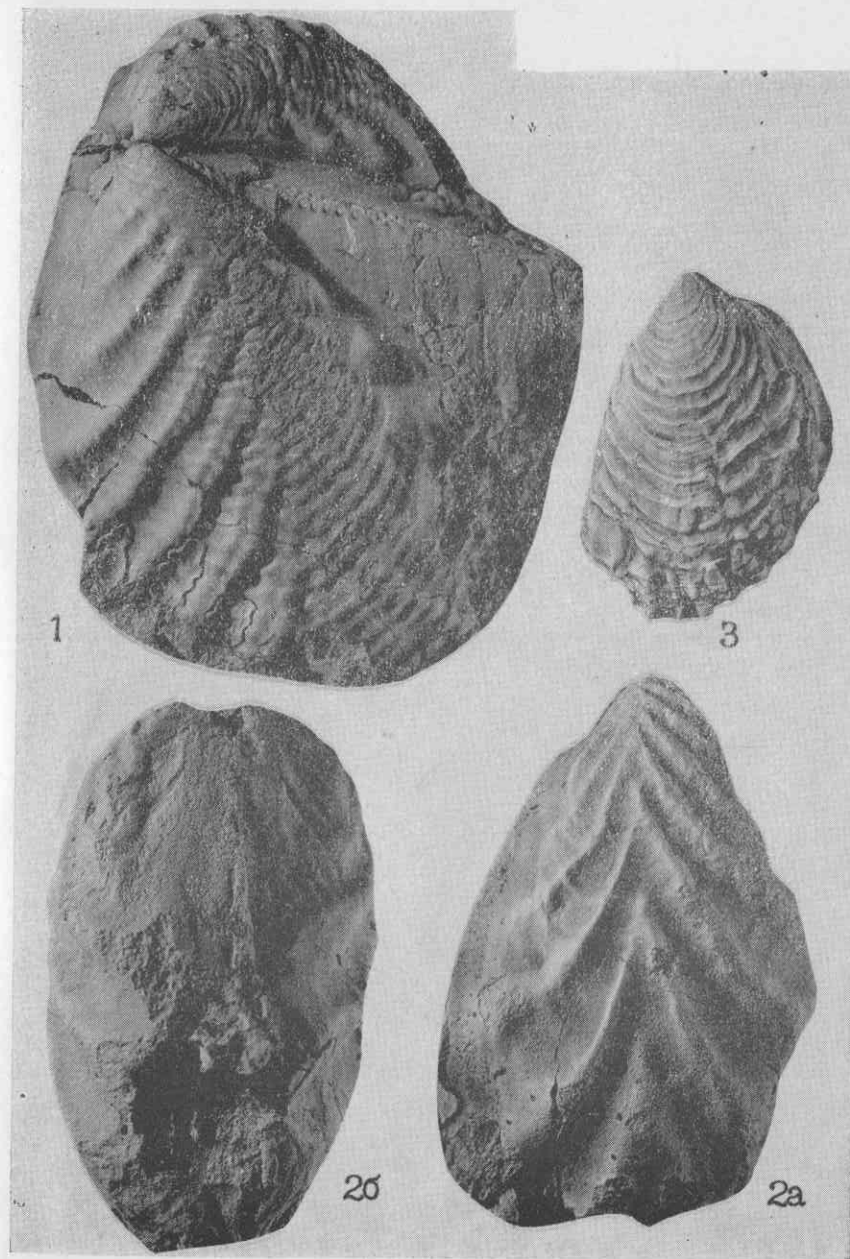


ТАБЛИЦА 62

Фиг. 1а—б. *Inoceramus orientalis* Sok. Стр. 53
 а — левая створка; б — правая створка. Северо-восточная
 часть Корякского хребта; корякская свита (В. А. Захаров,
 1959).

Фиг. 2а—в. *Inoceramus elegans* Sok. Стр. 53
 а — левая створка; б — правая створка; в — вид спереди.
 Бухта Угольная; основание корякской свиты (Г. П. Тер-
 хова, 1964).

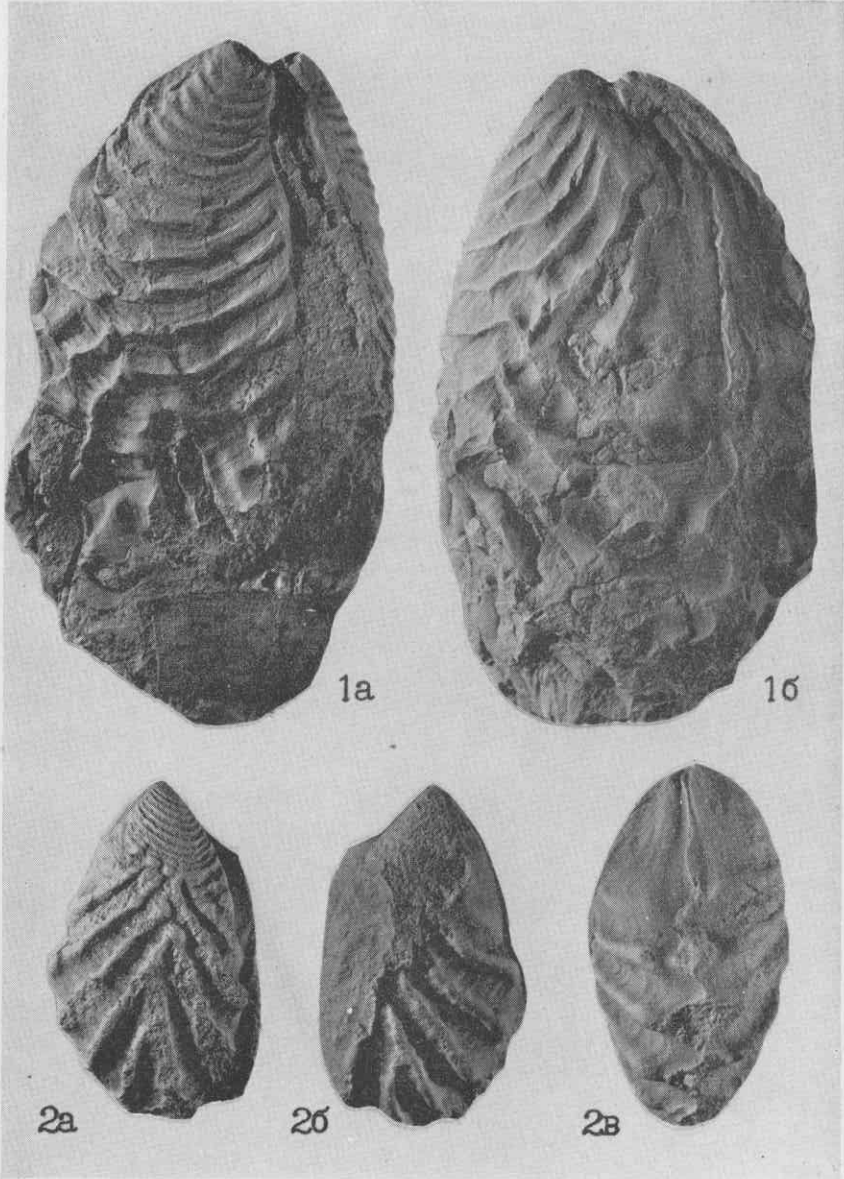


ТАБЛИЦА 63.

- Фиг. 1. *Inoceramus* aff. *balticus* Boehm Стр. 54
Правая створка. Бухта Угольная; корякская свита (Г. П. Терехова, 1961).
- Фиг. 2. *Inoceramus* *kusiroensis* Nagaо et Mat. Стр. 54
Отпечаток левой и части правой створок. Корякский хребет; маастрихт ? (Н. Н. Пагольский, 1961).

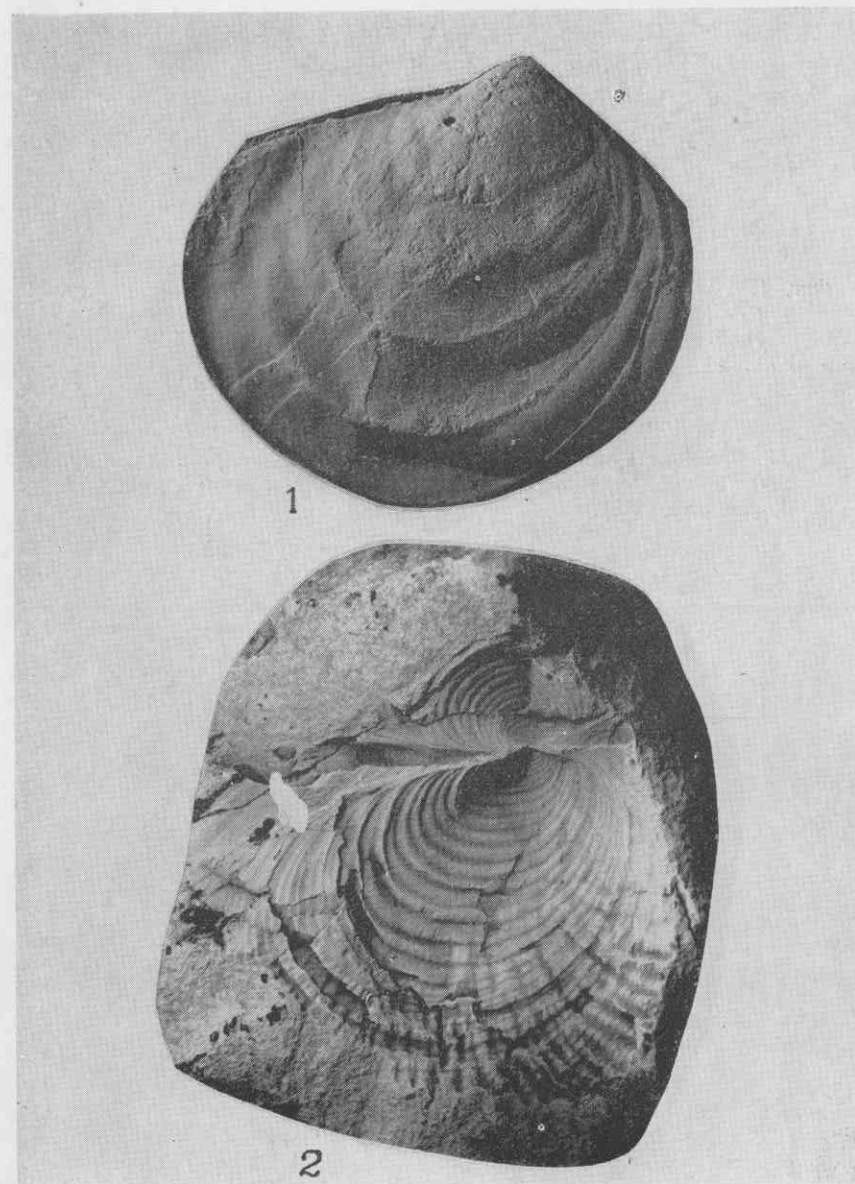


ТАБЛИЦА 64

- Фиг. 1. *Phylloporachyceras ezoense* Yok. Стр. 54
 Вид сбоку. О. Сахалин, р. Красноярка; верхняя часть быков-
 ской свиты (В. Н. Верещагин, 1958).
- Фиг. 2а—б. То же Стр. 54
 а — вид сбоку; б — вид с устья. О. Сахалин, р. Красноярка,
 красноярковская свита (В. Н. Верещагин, 1958).
- Фиг. 3. *Pseudoxybeloceras* sp. Стр. 55
 О. Сахалин, р. Красноярка; красноярковская свита (В. Н. Ве-
 рещагин, 1958).

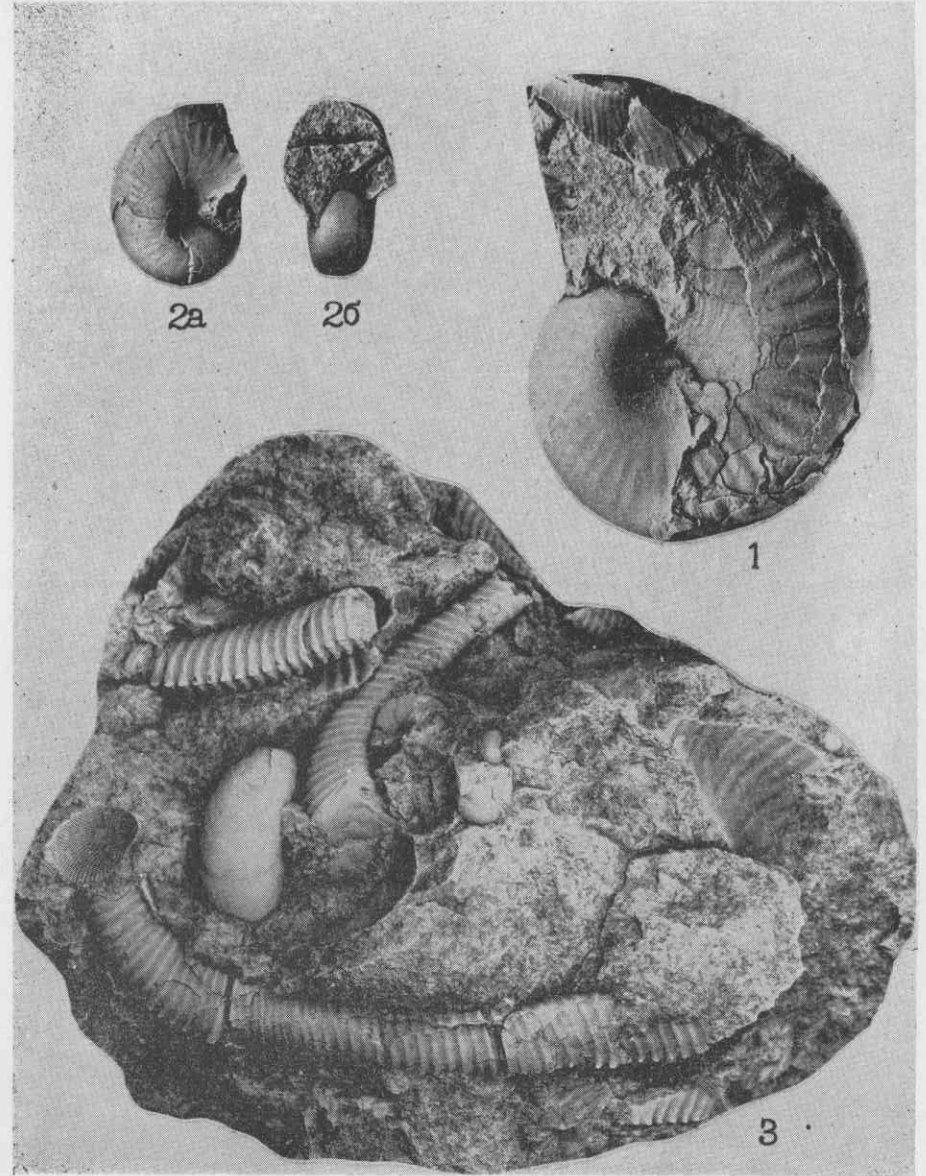


ТАБЛИЦА 65

Фиг. 1а--б. *Neancyloceras* aff. *pseudoarmatum* Schlüter . . . Стр. 55
а — вид сбоку; б — брюшная сторона. Северо-восточное побережье Пенжинской губы; сенон (М. А. Пергамент, 1953).

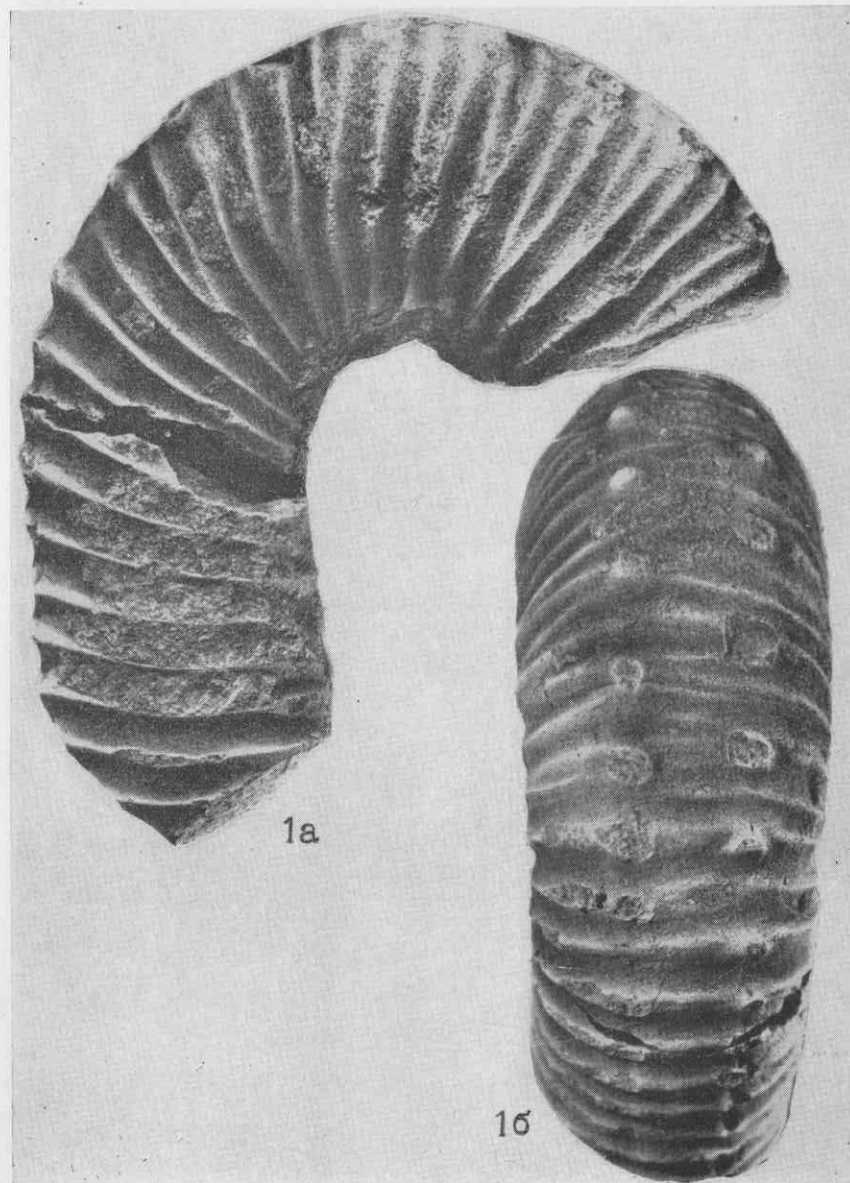


ТАБЛИЦА 66

- Фиг. 1а—б. *Canadoceras compressum* Mat. Стр. 55
 а — вид сбоку; б — брюшная сторона. О. Сахалин; краснояр-
 ковская свита (В. Н. Верещагин, 1958).
- Фиг. 2. *Rachydiscus neubergicus* Haug Стр. 56
 Вид сбоку. Северо-восточное побережье Пенжинской губы;
 пиллалваямская свита (М. А. Пергамент, 1953).

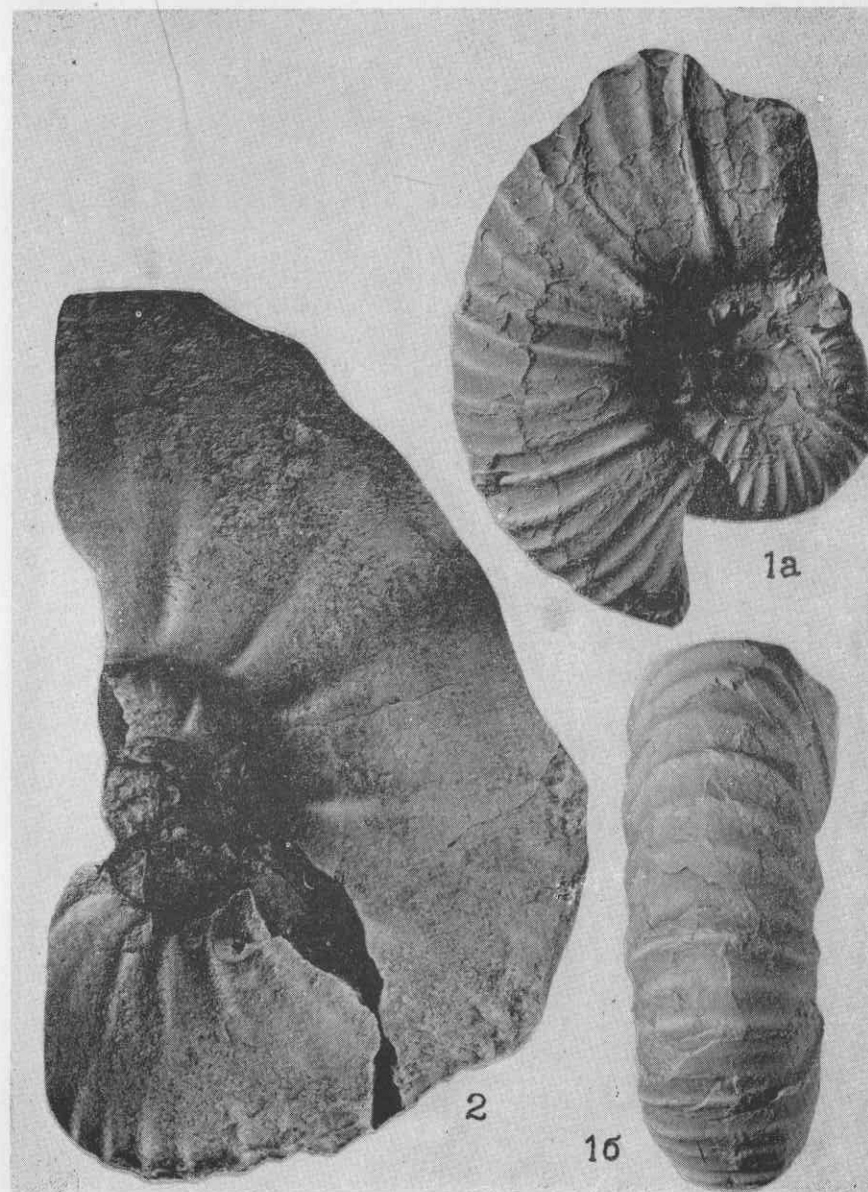


ТАБЛИЦА 67

Фиг. 1а—в. *Rachydiscus* aff. *gollevillensis* Orb. Стр. 56
 а — вид сбоку; б — вид с устья; в — перегородочная линия
 при $T=38$ мм. Бассейн р. Пенжины; верхний сенон
 (Т. В. Тарасенко, И. М. Мигович, 1957).

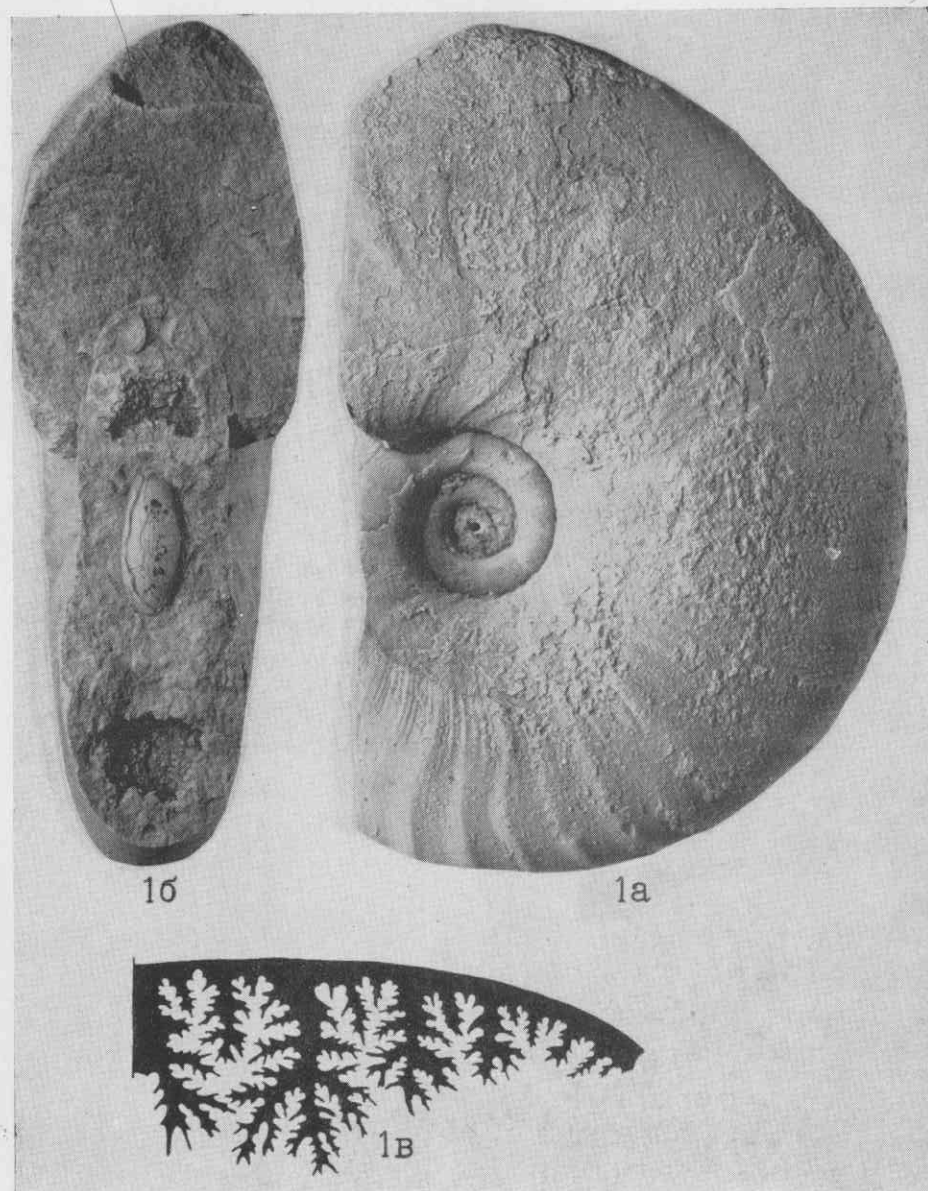


ТАБЛИЦА 68

Фиг. 1. *Rachydiscus* (*Neodesmoceras*) *japonicus* Mat. Стр. 57
Вид сбоку. Центральная часть Корякского хребта; верхний
сенон (Н. Н. Пагольский, 1961).

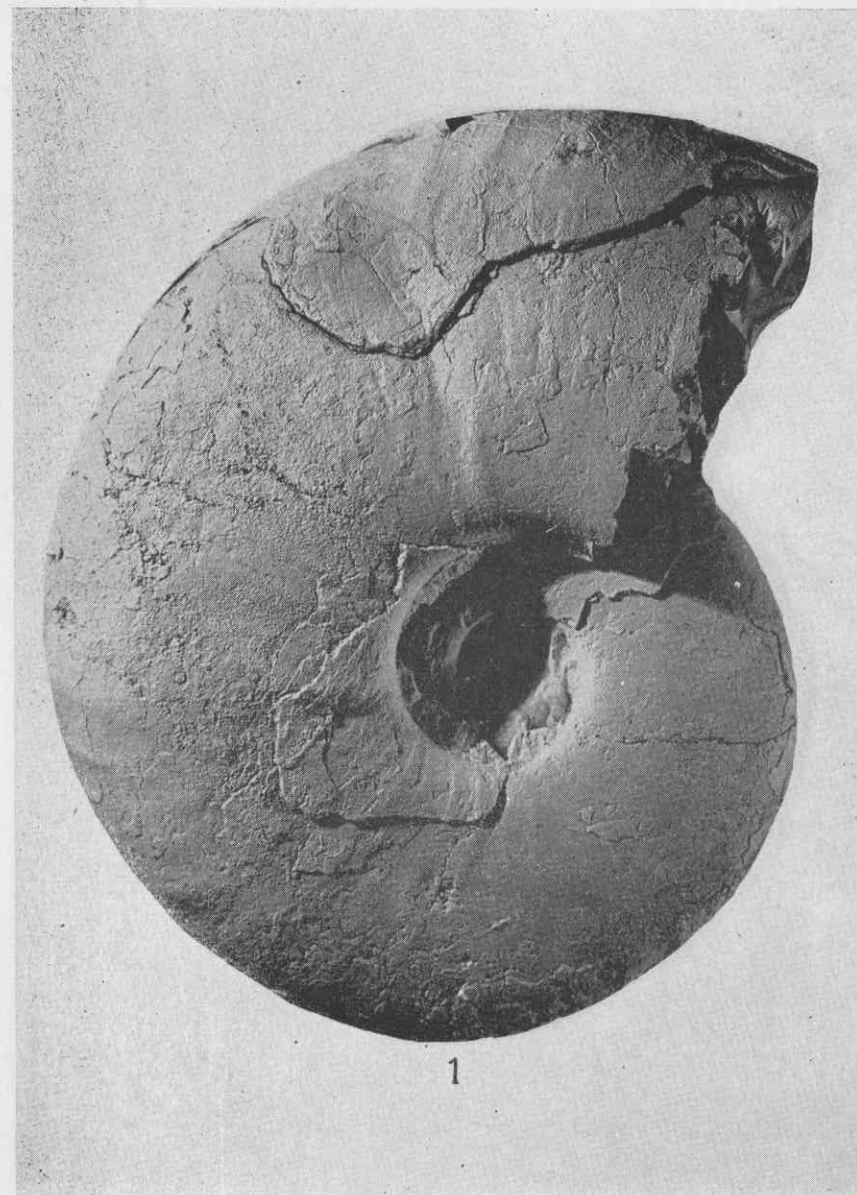


ТАБЛИЦА 69

- Фиг. 1. *Pachydiscus* (*Neodesmoceras*) *japonicus* Mat. Стр. 57
Вид с устья экземпляра, изображенного на табл. 68.
- Фиг. 2. Перегородочная линия *Pachydiscus* (*Neodesmoceras*)
japonicus Mat. Стр. 57
По Мацумото, 1947, $\times 0.5$.

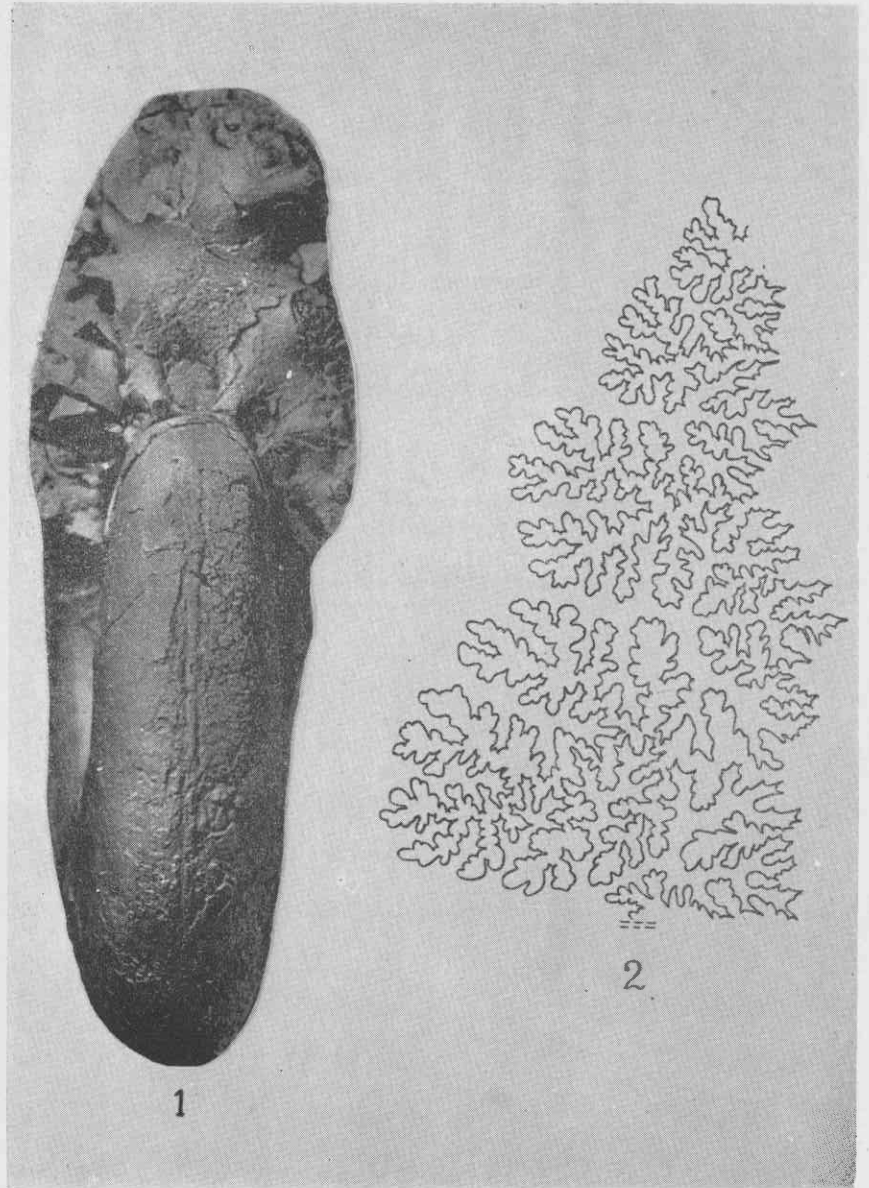


ТАБЛИЦА 70

- Фиг. 1а—б. *Pachydiscus subcompressum* Mat. Стр. 56
 а — вид сбоку; б — брюшная сторона. О. Сахалин, р. Сусуя;
 верхняя часть краснойрговской свиты (В. Н. Верещагин,
 1960).
- Фиг. 2а—в. *Ariotrigonia subjimboi* Mir. Стр. 58
 а — левая створка; б — вид сверху; в — вид спереди. Северная
 Камчатка, р. Амытгин; верхний мел (А. Ф. Михайлов,
 1955).
- Фиг. 3. *Ariotrigonia minor* (Yabe et Nagaо) Стр. 58
 Правая створка. Р. Чашевитая (бассейн р. Анадырь); верхний
 мел (Г. П. Терехова, 1958).
- Фиг. 4. *Parallelodon* cf. *sachalinensis* Schmidt Стр. 57
 Вид со стороны правой створки. Северо-восточное побережье
 Пензянской губы; верхний мел (М. А. Пергамент, 1953).

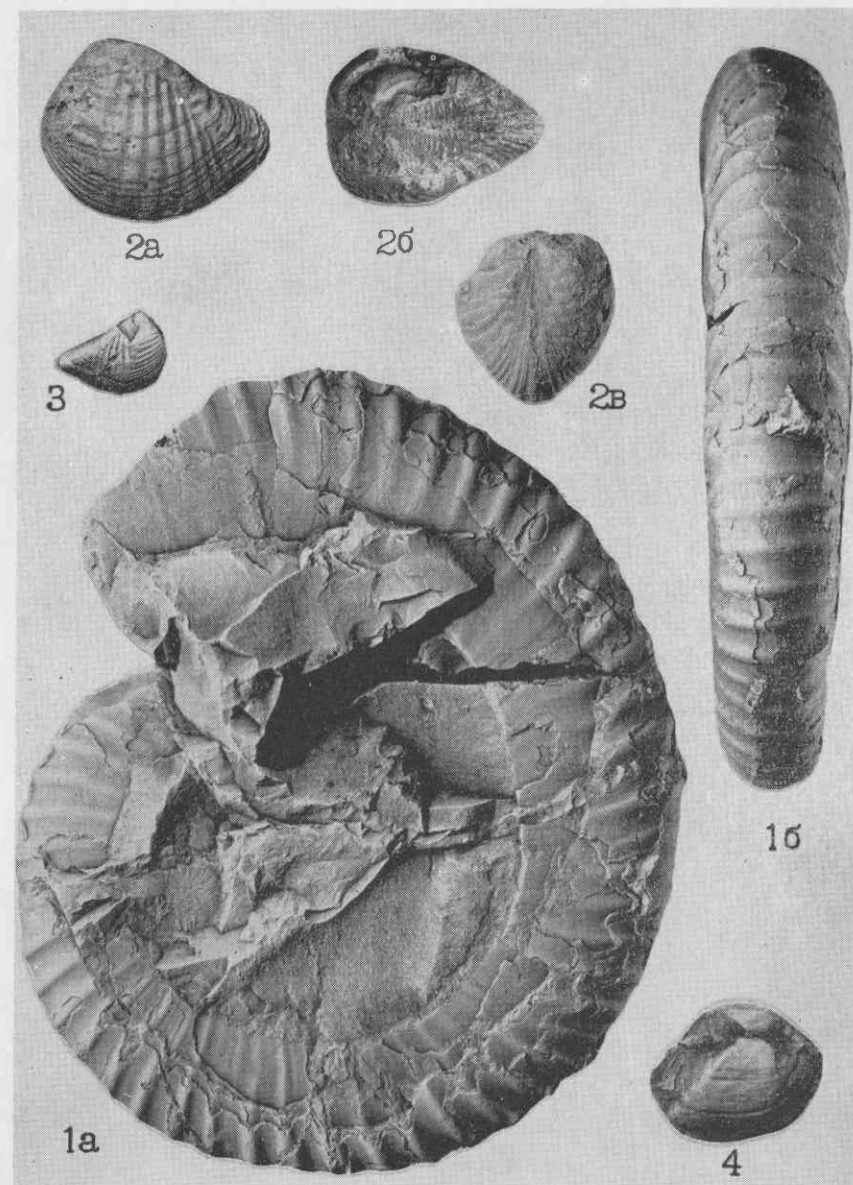


ТАБЛИЦА 71

- Фиг. 1а—в. *Lopatinia kamtschatica* Liw. Стр. 57
 а — правая створка; б — вид спереди; в — вид со стороны замка (внутренняя поверхность створки). Бассейн р. Пенжины; верхний мел (Т. В. Тарасенко, И. М. Мигович, 1957).
- Фиг. 2. *Ariotrigonia amitgiensis* Ver. Стр. 59
 Левая створка. Северная Камчатка, р. Таловка; верхний мел (Б. А. Голионко, 1958).
- Фиг. 3а—в. *Mytilus lanceolatus* Schmidt Стр. 59
 а — правая створка; б — брюшная сторона; в — задне-спинная сторона. Северная Камчатка, р. Амытгин; верхний мел (А. Ф. Михайлов, 1955).

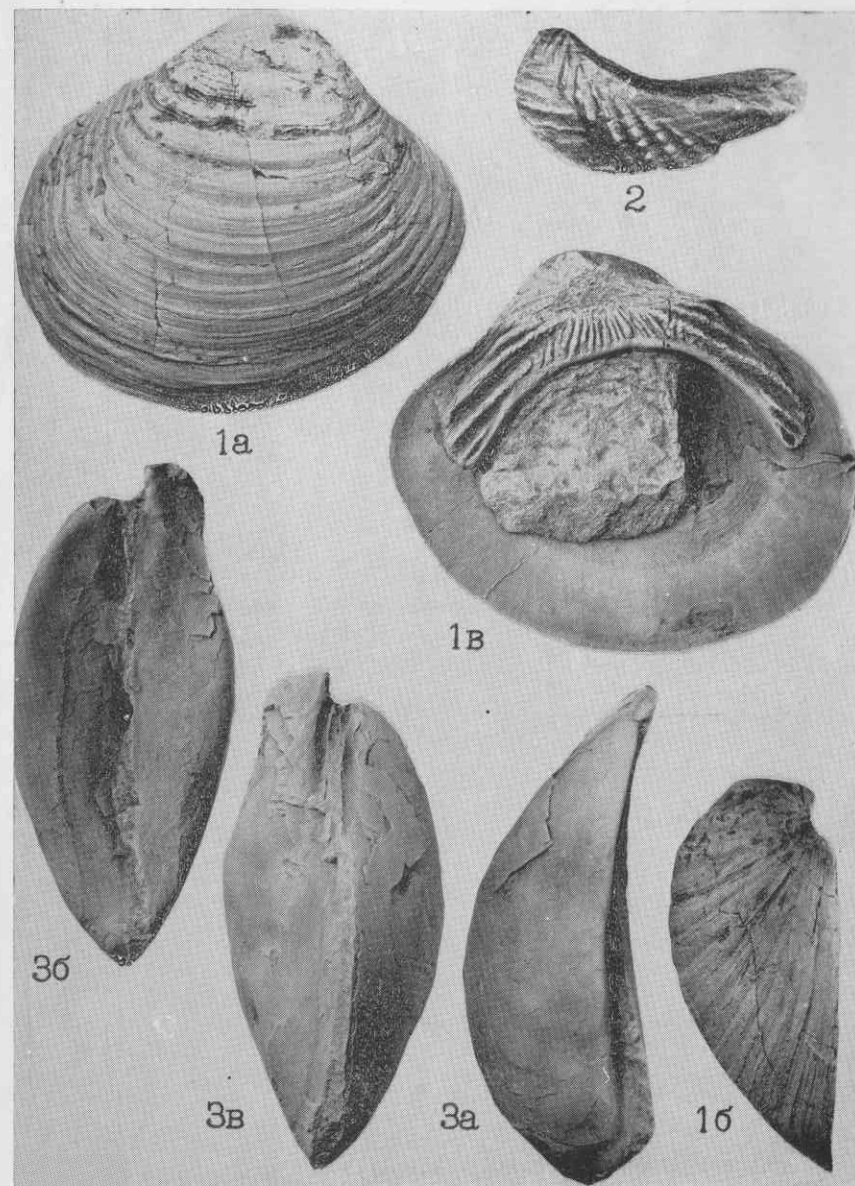


ТАБЛИЦА 72

Фиг. 1а—в. *Inoceramus tychljawajamensis* Ver. Стр. 60
 а — левая створка; б — правая створка; в — вид сзади. Северная Камчатка, р. Прав. Тихляваям; верхний мел (А. Ф. Михайлов, 1955).

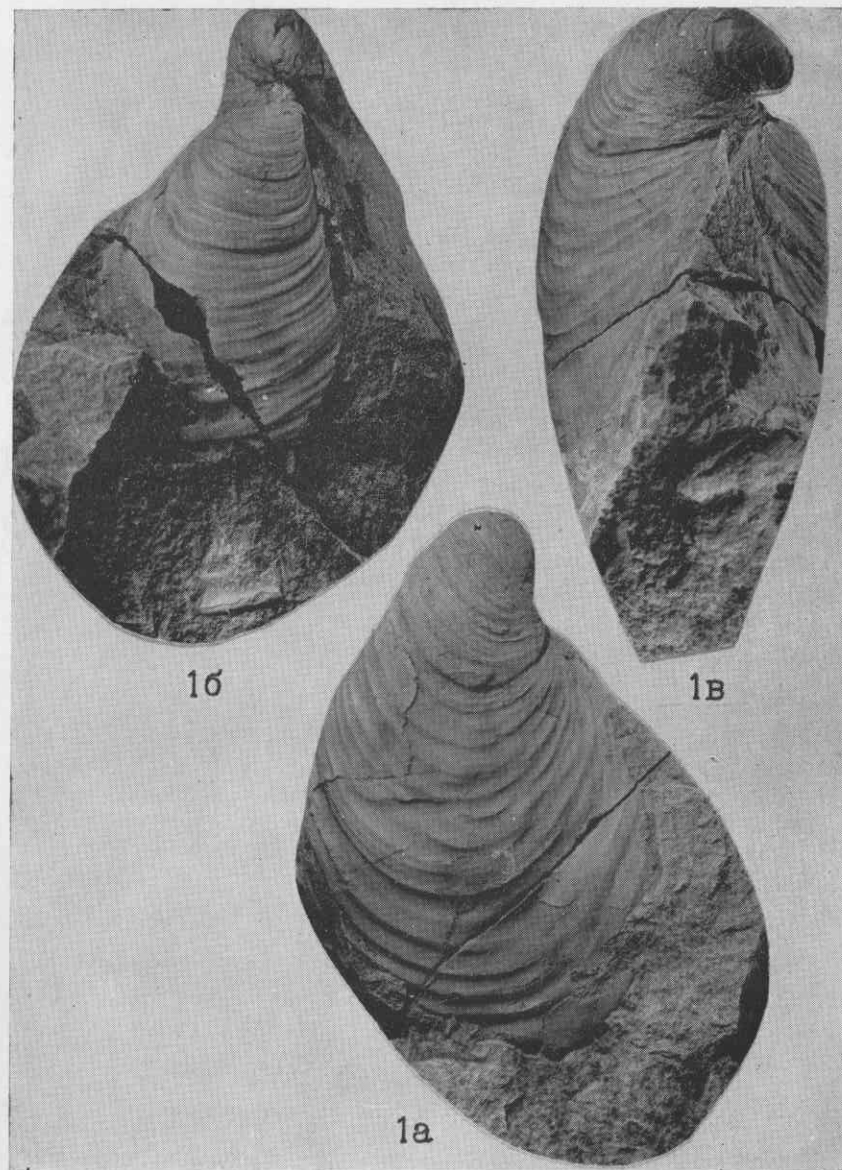


ТАБЛИЦА 73

- Фиг. 1а—в. *Quadratotrignia* (*Yeharella*) aff. *kimurai* (Tokun. et Shim.) Стр. 59
 а — левая створка; б — вид сверху; в — вид спереди. Бассейн р. Пенжины; верхний мел (Т. В. Тарасенко, И. М. Мигович, 1957).
- Фиг. 2а—б. *Ariotrignia amitgiensis* Ver. Стр. 59
 а — левая створка (ядро), вид сбоку, б — вид сверху. Северная Камчатка; верхний мел (А. Ф. Михайлов, 1955).
- Фиг. 3а—в. *Brahmaites brahma* Forbes Стр. 61
 а — вид сбоку; б — вид с устья; в — брюшная сторона. Понтонейские горы; верхний мел (А. Ф. Михайлов, 1955).
- Фиг. 4. *Natalites penjiensis* Ver. sp. nov. Стр. 60
 Вид сбоку. Бассейн р. Пенжины; верхний мел (Т. В. Тарасенко, И. М. Мигович, 1957).

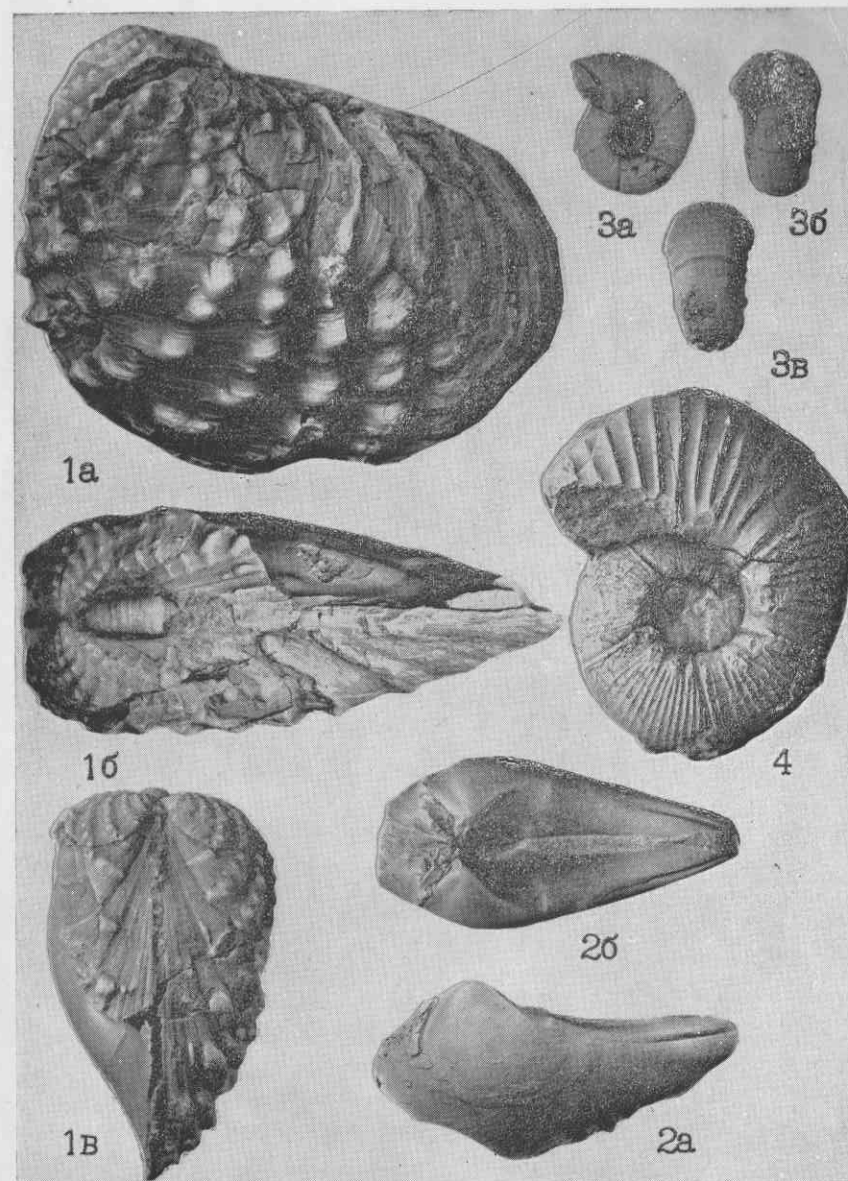
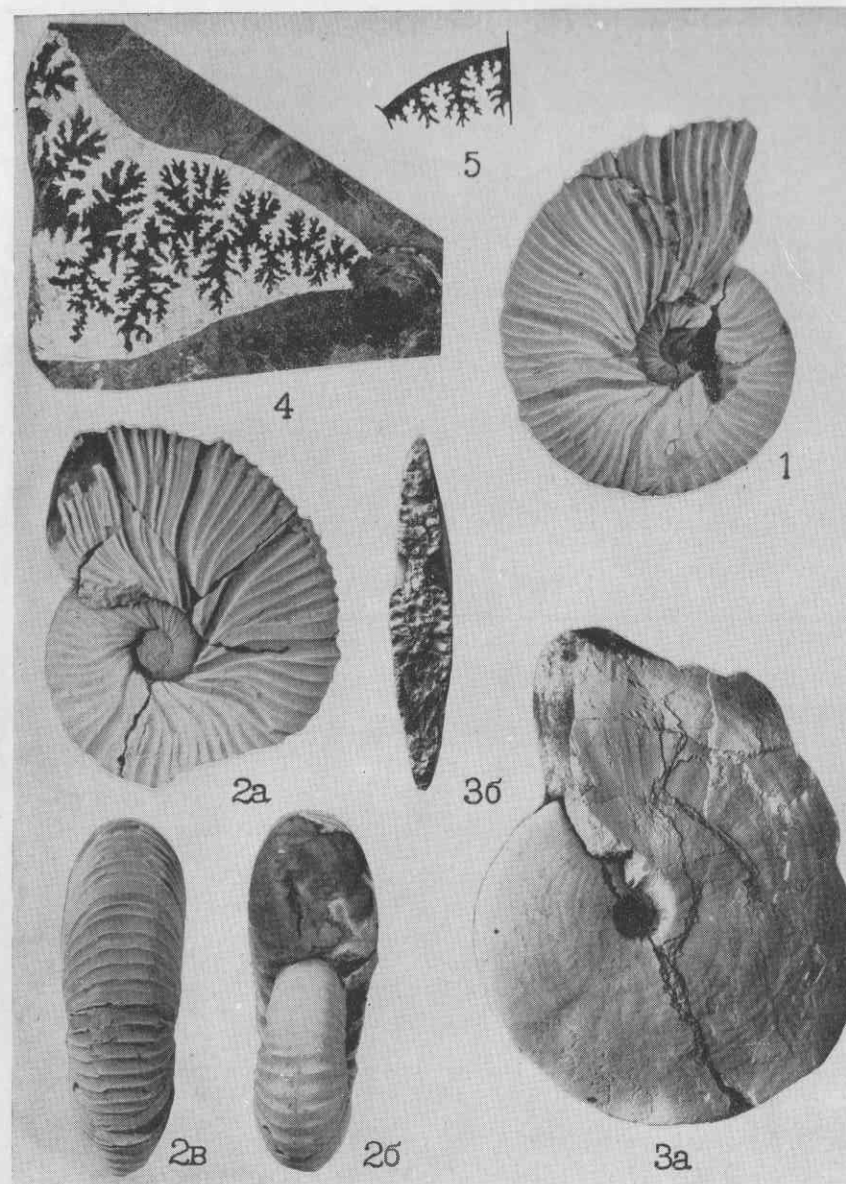


ТАБЛИЦА 74

- Фиг. 1. *Kossmaticeras kamtschaticus* Ver. sp. nov. Стр. 60
Вид сбоку. Понтонейские горы; верхний мел (А. Ф. Михайлов, 1955).
- Фиг. 2а—в. То же Стр. 60
а—вид сбоку; б—вид с устья; в—брюшная сторона. Понтонейские горы; верхний мел (А. Ф. Михайлов, 1955).
- Фиг. 3а—б. *Proplacenticeras* ? sp. Стр. 61
а—вид сбоку; б—поперечное сечение. Бассейн р. Пенжины; верхний мел (А. Ф. Михайлов, 1955).
- Фиг. 4. Перегородочная линия *Proplacenticeras* ? sp. при
Т = 17 мм Стр. 61
Бассейн р. Пенжины (А. Ф. Михайлов, 1955).
- Фиг. 5. Перегородочная линия *Kossmaticeras kamtschaticus*
Ver. sp. nov. при Т = 12 мм Стр. 60
Понтонейские горы; верхний мел (А. Ф. Михайлов, 1955).



ОГЛАВЛЕНИЕ

Предисловие	3
Схема биостратиграфии меловых отложений Северо-Востока СССР	5

ОПИСАНИЕ ФАУНЫ

Краткая характеристика морфологии раковин	12
Объяснение некоторых латинских терминов	15
Описание видов	15
Список печатной литературы по меловой фауне Северо-Востока СССР	62
Указатель изображенных в атласе форм	63
Таблицы изображений меловой фауны и объяснения к ним	67

ПОПРАВКИ

Стр.	Строка	Напечатано	Следует читать
25	7 снизу	...сжатое в спинно-брюшном направлении	сжатое с боков
26	19 снизу	...сжатое в спинно-брюшном направлении	сжатое с боков

7324.

Верещагин Владимир Николаевич,
Кинасов Валентин Петрович,
Паракецов Константин Владимирович,
Терехова Галина Павловна.

ПОЛЕВОЙ АТЛАС
МЕЛОВОЙ ФАУНЫ СЕВЕРО-ВОСТОКА СССР

Редактор Г. П. Терехова. Технический редактор В. В. Плоская.
Корректор М. Л. Лисичкина.

Сдано в набор 19/XII 1964 г. Подписано к печати 10/III 1965 г.
Формат 60×90/16. Печ. л. 13,5. Уч.-изд. л. 9,3. Тираж 2000. АХ—01311.
Заказ 7324. Цена 1 р. 08 коп.

Магаданское книжное издательство, г. Магадан, ул. Пролетарская, 15.
Магаданская областная типография Управления по печати.

Гр. 08 к.